

20 կողմ

Է. Գ. ԳԱԶԱՐՅԱՆ

ԵՐԿՐԱԶԱՓԱԿԱՆ ՕՊՏԻԿԱՅԻ ԵՎ  
ԴԻՖՐԱԿՑԻԱՅԻ ԵՐԿՐԱԶԱՓԱԿԱՆ  
ՏԵՍՈՒԹՅԱՆ ՀԻՄՈՒՆՔՆԵՐԸ

ԵՐԵՎԱՆ 1989

ԵՐԵՎԱՆԻ ՊԵՏԱԿԱՆ ՀԱՄԱԼՍԱՐԱՆ

ԱԼԻԲԱՅԻՆ ՎՐՈՑԵՆՆԵՐԻ ՄԵՍՈՒԹՅԱՆ Ե ՖԻԶԻԿԱՅԻ ԱՄՔԻՈՆ

Է. Ռ. ԳԱԶԱՋՅԱՆ

ԵՐԿՐԱՉԱԾԱԿԱՆ ՕՊՏԻԿԱՑԻ ԵՎ ԴԻՓՐԱԿՏԻԱՑԻ  
ԵՐԿՐԱՉԱԾԱԿԱՆ ՏԵՍՈՒԹՅԱՆ ՀԻՄՈՒՆԵՆԵՐԸ

/Ուսումնասանդակ ծեփարկ/

ԵՐԵՎԱՆԻ ՀԱՄԱԼՍԱՐԱՆԻ ՀՐԱՏԱՐԱԿՉՈՒԹՅՈՒՆ

ԵՐԵՎԱՆ 1989

Ձեռնարկում շարադրված են երկրաչափական օպտիկայի դիֆրակցիայի երկրաչափական տեսության դրույթներ՝ հիմնվելով Մաքսվելի և Հելմհոլցի հավասարումների վրա: Քննարկված են կիրառական մի շարք հարցեր, այդ թվում հեղինակի ստացած արդյունքները կիրառությունների նոր եղանակների մասին: Հանգուցային հարցերը լուսաբանվում են կցված խնդիրների օգնությամբ:

Նախատեսվում է ռադիոֆիզիկայի Փակուլտետի ընթացիկ կուրսերի ուսանողների համար:

Эдмонд Давидович ГАЗАЗЯН

ОСНОВЫ ГЕОМЕТРИЧЕСКОЙ ОПТИКИ И ГЕОМЕТРИЧЕСКОЙ ТЕОРИИ ДИФРАКЦИИ

(Учебно-вспомогательное пособие)

(На армянском языке)

Издательство Ереванского университета  
Ереван - 1989

© Երևանի համալսարանի հրատարակչություն, 1989

Ներածական ակնարկ

Նախորդ դարի վերջերին ձեյմա Բլարբ Մաքսվելը, ելնելով էլեկտրամագնիսական ալիքների տարածման արագության չափումների արդյունքներից, հանգեց այն եզրակացությանը, որ լույսը էլեկտրամագնիսական ալիք է: 1888 թվականին այս եզրակացությունը փորձով հաստատեց Հայնրիխ Հերցը: Այսպիսով միանգամայն պարզ դարձավ, որ օպտիկական երևույթները պետք է նկարագրվեն Մաքսվելի հավասարումների շրջանակներում, իսկ երկրաչափական օպտիկայի Բոլոր հայտնի օրենքները ստացվում են այս հավասարումների կարճալիքային մոտարկումից: Ավելի ուշ՝ 20-րդ դարի սկզբներին, քվանտային ֆիզիկայի ստեղծմամբ վերջ տրվեց արդեն իսկ ստացածին հակասականությանը՝ լույսի Բնույթի վերաբերյալ կորպուսկուլային /քվանտային/ և ալիքային պատկերացումների միջև:

Պարենոր է, որ մինչ այս ձևավորված օպտիկական և, ընդհանրապես, ֆիզիկական պատկերացումներում քվանտային ֆիզիկայի ստեղծմամբ պայմանավորված հեղաշրջումը եղած տեսությունները միանգամայն ավելորդ չընդարձրեց: Ավելին, ընդգծելով սրանց միակողմանիությունը, քվանտային ֆիզիկան հնարավորություն ընձեռեց ընդհանուր տեսանկյունից ընկալել հայտնի փաստերն ու ձևակերպումները՝ լրացնելով սրանց ֆիզիկական և փիլիսոփայական ավելի խոր Բովանդակությամբ:

Այս առումով ուսանելի է օպտիկայի զարգացման պատմությունը հնագույն ժամանակներից մինչև մեր օրերը: Այն ցայտուն կերպով արտացոլում է ֆիզիկական հիմնական հասկացությունների ծագումը և մետամորֆոզները՝ մինչև սրանց վերջնական, ժամանակակից ձևակերպումները:

Մարդկային պրպտուն միտքը դեռևս հնագույն ժամանակներում /Էմպեդոկլես-5-րդ դար մ.թ.ա., Էվկլիդես-6-րդ դար մ.թ.ա./ հետաքրքրվել է պարզագույն օպտիկական երևույթների պատճառներով, փորձել Բացատրել սրանք Բնության մասին եղած պատկերացումների օգնությամբ: Նրանց հայտնի էին լույսի ուղղաձիգ տարածման հատկությունը, Բեկման ու անդրադարձման երևույթները, կիզապակիները /ոսպնյակները/: 17-րդ դարում օպտիկական սխեմատիկ հետազոտությունների արդյունքները /Ռենն Դեկարտ, Վեյլերո, Սնելիուս/ Ֆերմային հանգեցրին իր նշանավոր սկզբունքի ձևակերպմանը:

Այդ սկզբունքը, որն այժմ հայտնի է որպես փոքրագույն գործողության սկզբունք անանց նշանակություն ունեցավ Բնության վերաբերյալ ֆիզիկական ու փիլիսոփայական պատկերացումների ձևավորման գոր-

ծում: Ընդհանրապես ասած՝ 17-րդ դարը վճռորոշ ժամանակաշրջան էր լուսաի Բնույթին վերաբերող հետազոտությունների ու պատկերացումների զարգացման մեջ: Այսպես, Ֆրանսիսկ Գրիմալդին և ավելի ուշ՝ Ռոբերթ Հուլը դիտեցին դիֆրակցիայի երևույթը: Վերջինս Ռոբերթ Բոյլի հետ համատեղ հայտնաբերեց նաև ինտերֆերենցիայի երևույթը՝ ելնելով Բարակ թաղանթների զուևավորման փորձերից: Քրիստիան Հյուլզենսը, նույն 17-րդ դարում առաջադրեց իր նշանավոր սկզբունքը, ըստ որի ալիքային մակտի յուրաքանչյուր կետ համարվում է երկրորդային գնդային ալիքի սկզբնաղբյուր, իսկ ալիքի տարածման ուղղությունը համընկնում է այս երկրորդային ալիքային մակտների պարուրիչի տարածման ուղղությանը: Կիրառելով այս սկզբունքը՝ Հյուլզենսը կարողացավ ապացուցել Բեկման ու անդրադարձման օրենքները, ինչպես նաև Բացահայտել լուսաի Բեկոացման երևույթը:

Հեռա է համոզվել, որ լուսաի Բնույթի վերաբերյալ ստեղծված պատկերացումները համա իրարամերժ էին: Օրինակ, դեռևս հնուց հայտնի, լուսաի ուղղագիծ տարածման, ինչպես նաև Բեկոացման հատկությունները հակասական էին թվում նրա ալիքային Բնույթին: Լուսաի Բնույթի վերաբերյալ պատկերացումների զարգացման նկարագրվող փուլում վճռորոշ էր հասակ նյուտոնի դերը: Վերը նշված հակասությունը նրան դրոզեց զարգացնելու լուսաի կորպուսկուլային տեսությունը, ըստ որի լուսյւր մառագայթող մարմնից տարածվող մանրագույն մասնիկների հոսք է: Լուսաի ալիքային Բնույթի ժխտումը նյուտոնի պես մի հեղինակություն կողմից, իրոք, կողմնորոշող էր այն իմաստով, որ ալիքային պատկերացումները երկար ժամանակով /ընդհուպ 19-րդ դարի առաջին քառորդը, երբ Օգյուստ Ֆրենելը, սինթեզելով Յունգի ինտերֆերենցիայի ըսկզբունքը, Բացառեց դիֆրակցիայի երևույթը՝ որպես լուսաի ալիքային Բնույթի աներկբա ապացույց/ մոռացության մասնվեցին:

Նյուտոնի պատկերացումները լուսաի կորպուսկուլային Բնույթի վերաբերյալ պարունակում էին ֆիզիկական ավելի խոր Բովանդակություն, քան կարող էր թվալ 17-րդ դարի գիտնականին: Իրոք, պետք էր ունենալ հանմարեղ ինտուիցիա ու խորաթափանցություն, որպեսզի տեսական ու փորձարարական Բազմաբեռն փաստերից հանգել այնպիսի միտքեք եզրակացության, ինչպիսին կորպուսկուլի /այժմ այն անվանում ենք լուսաի քվանտ՝ ֆոտոն/ հասկացությունն էր: Ավելին՝ նյուտոնը փորձեց Բացառել լուսաի Բեկոացման երևույթը, վերագրելով կորպուսկուլային մառագայթներին, ,կողմեր,, և հեռաբար՝ նաև ,,լայնական,, Բնույթ: Բայց այն ժամանակ ալիքային երևույթներից հայտնի էր միայն ժայնը, որը երկայնական ալիքային տատանում է և թվում էր, որ նյուտոնի կորպուսկուլային պատկե-

րացումները լուսաի ,,լայնական,, Բնույթի վերաբերյալ միայն ժխտում էին ալիքային պատկերացումները: Երբ 1905 թվականին Ալբերտ էյնշտեյնը, զարգացնելով Նախ Պլանկի գաղափարները, մացրեց էներգիայի քվանտի /որը հենց ինքն էլ անվանեց ,,ֆոտոն,,/ հասկացությունը /Բացառելու համար ֆոտոէֆեկտի երևույթը/, ևս փաստորեն նորովի վերստեղծեց նյուտոնի կորպուսկուլային տեսությունը: Ավելին՝ ֆոտոէֆեկտի ու Բեկոացման երևույթների համադրումը լուսաի Բնույթի վերաբերյալ մեկ ընդհամար պատկերացման մեջ անհրաժեշտաբար հանգեցրեց դեպերմիսիզմից հրաժարվելուն: Երբ 20-րդ դարի առաջին քառորդում Բորը ձևակերպեց քվանտային մեխանիկայի հիմունքները, այն է՝ լրացումների, անորոշությունների և վերադրման սկզբունքները, վեժը լուսաի ալիքային ու կորպուսկուլային Բնույթների վերաբերյալ դարձավ մտացածին, իսկ հարցադրումը՝ ոչ ֆիզիկական:

Այստեղ Գեկարտի ժամանակներից մինչև Ֆրենելը, և նույնիսկ ավելի ուշ, ենթադրվում էր, որ օպտիկական Բուրը երևույթների կրողը ,,թթերն,, է:

,,Եթերով,, էին Բացառվում Ֆրենելի կանխատեսած և ֆիզոյի փորձնական դիտումներով հաստատված լուսային մառագայթի շեղումը շարժվող մարմինների կողմից: ,,Եթերի տատանումների,, մողելը Ֆրենելին հանգեցրեց անդրադարձած ու Բեկված մառագայթների ինտենսիվությունների ու Բեկվեացումները վերաբերյալ օրենքներին: Քրիստիան Գոֆելը նույն ,,Եթերի,, հասկացության օգնությամբ ձևակերպեց իր անվամբ կոչվող սկզբունքը՝ շարժվող աղբյուրի մառագայթած ալիքի երկարության փոփոխման օրենքը: Մենք այժմ էլ անփոփոխ օգտվում ենք Ֆրենելի և Գոֆելի ստացած Բանձեներից, միայն թե սրանք Բացառում ենք ոչ թե ,,Եթերով,, այլ որպես Մաքսվելի հավասարումներից և հարաբերականության հատուկ տեսությունից Բխող հեռուություններ: Մաքսվելի տեսության շրջանակներում Բուրը օպտիկական երևույթները նկարագրվում են սպառիչ ձևով, առանց ,,Եթերի,, հասկացության:

Օպտիկայի և, ընդհանրապես, ալիքների /ինչպես էլ եկտրամագնիսական, այնպես էլ սկալյար/ տարածման տեսության մի ուրույն մաս է կազմում դիֆրակցիայի տեսությունը: Ինչպես նշվել էր վերը, դիֆրակցիայի երևույթը առաջինը նկարագրել և փորձել են Բացառել Գրիմալդին ու Հուլը դեռևս 17-րդ դարում, իսկ իր առավել զարգացումն այն ստացավ Ֆրենելի աշխատություններում: Հետագայում /1882թ./ Կիրխհոֆը Ֆրենելի տեսությունը ավեց մաթեմատիկական հիմնավորում, որտեղից էլ սկսեց դիֆրակցիայի երևույթի մանրակրկիտ հետազոտումը: Կիրխհոֆի տեսությունը մոտարկային է: Արա հիմքում ընկած են Կիրխհոֆի եզրային պայմանները, ո-

որոնք առավել ստույգ կարող են կատարվել դիֆրակցիայի փոքր անկյունների  
համար և կարծիքների դեպքում: Չնայած նման սահմանափակումներին՝  
Կիրխոֆի տեսությունը հսկայական դեր խաղաց դիֆրակցիայի երևույթների  
հետազոտման մեջ: Անտենաների ֆիզիկայում այն մինչև օրս էլ զանազան է  
լայն կիրառություն և, այս իմաստով, մինչև օրս ստեղծված մոտարկային  
տեսություններից, թերևս, ամենամասնաշարժանն է: Այս տեսության հիմնական  
թերությունն այն հակասականությունն է, որ բովանդակում են Կիրխոֆի  
եզրային պայմանները: Բանն այն է, որ ըստ Կիրխոֆի պատկերացումների՝  
էկրանի նյութը պետք է ունենա սև մարմինն Բնորոշ հատկություններ,  
մինչդեռ սև մարմինը չի կարող նկարագրվել Մաքսվելի հավասարումների  
և նրանցից Բևոլդ եզրային պայմանների շրջանակներում:

Դիֆրակցիայի ժամանակակից մաթեմատիկական տեսության սկիզբը դրվեց  
1896թ., երբ Ջոմերթելդեն ստույգորեն լուծեց կիսահարթության եզրային  
հարթ ալիքի դիֆրակցիայի խնդիրը: Այս լուծումը Ջոմերթելդից պահանջեց  
մաթեմատիկական Բարձր արվեստ ու հնարամտություն: Այնուհանդերձ լուծ-  
ման վերջնական տեսքը անսպասելիորեն Բավականին պարզ էր և թույլ էր  
տալիս հեշտությամբ վերլուծության ենթարկել այն, հանգել որակական  
նոր եզրակացությունների: Արանցից ամենակարևորն այն էր, որ ստացված  
լուծումը նկարագրվում էր ընկնող ու անդրադարձած հարթ ալիքների և  
Ֆրենելի Ֆունկցիաների կոմբինացիաների տեսքով, ըստ որում՝ որպես Ֆրե-  
նելի Ֆունկցիաների արգումենտներ հանդես են գալիս ընկնող, անդրադար-  
ձած և դիֆրակցած ճառագայթների էյքոնալները: Այլ խոսքով՝ Ջոմերթելդը  
ցույց տվեց, որ դիֆրակցիոն խնդիր լուծումը կարելի է ներկայացնել որ-  
պես համապատասխան երկրաչափաօպտիկական դաշտերի ավելի կամ պակաս Բար-  
դուլության կոմբինացիաներ, ըստ որում համախումբային մեծացմանը զուգընթաց  
/կարծ ալիքներ/՝ այսպիսի լուծումները ավելի մոտենում են երկրաչափական  
օպտիկայի մոտավորությամբ ստացված լուծումներին: Այս հանգամանքը հու-  
շում էր, որ հնարավոր է ստեղծել կարծալիքային մոտարկային եղանակներ,  
որոնց օգնությամբ հնարավոր լիներ, օգտվելով այժախնային հատուկ  
երկրաչափաօպտիկական պատկերացումներից, գտնել մոտավոր, սակայն ֆիզի-  
կական առումով ավելի ակնառու և մաթեմատիկորեն ավելի դյուրընկալ լու-  
ծում:

1957թ. Հ.Բ.Քեյլերը հրատարակեց իր առաջին հետազոտությունները  
երկրաչափաօպտիկական տեսության /ԴԵՏ/ վերաբերյալ: Այս աշխատանքնե-  
րում նա, փաստորեն, ընդհանրացրեց լավ հայտնի քվադրատական /ՎԲԲ՝  
վեկտոր-Քրամերս-Բրիլլուենի/ մեթոդը՝ առաջադրելով ֆերմայի ընդհան-  
րացված սկզբունքը և առաջարկելով անդրադարձած և դիֆրակցած ալիքնե-  
րի /ճառագայթների/ տարածման կանխարդույթները /զոստուկատները/:  
ԴԵՏ-ի մեթոդը, այսպիսով, օգտվում է երկրաչափաօպտիկական զա-

կերացումներից, որոնք համեմատաբար ավելի պարզ են, քան թե ալիքային  
պատկերացումները: Այն արդել լայն կիրառություն է գտել ալիքների տա-  
րածման և, մասնավորապես, անտենաների ֆիզիկայի հետ առնչվող խնդիրնե-  
րում: Շատ Բեղմնավոր է երկու վերոհիշյալ մեթոդների՝ Կիրխոֆի ու  
ԴԵՏ-ի զուգակցումը, որով նրանք մեծ հաջողությամբ լրացնում են միմ-  
յանց:

Քեյլերի պատկերացումների լույսի մակ սկսեցին աստիճանաբար վերա-  
նայ այնպիսի հասկացությունների տարբերության սահմանները, ինչպիսիք  
են տարածվող դաշտը, ալիքն ու ճառագայթը: ԴԵՏ-ի շրջանակներում սրանք  
Բոլորը նույնացվում են մեկ ընդհանուր՝ ճառագայթի հասկացության մեջ:

Քանի որ ԴԵՏ-ի հիմքում ընկած են ԵՕ-ի պատկերացումները, սրան  
ևս հատուկ են այն սահմանափակումները, որոնք կան ԵՕ-ում: ԴԵՏ-ը և  
ԵՕ-ն կիրառելի չեն, օրինակ, կառուստիկական տիրույթներում /կիզակետե-  
րում, կիզակետային գծերի ու մակերևույթների վրա/, որտեղ ԵՕ-ի ու  
ԴԵՏ-ի մոտավորությամբ դաշտի ամպլիտուդները տարամիտում են: Բանն այն  
է, որ ԵՕ-ի մոտավորությունը ենթադրում է, որ ալիքի երկարությունը  
հավասար է զրոյի և, հետևաբար, ճառագայթային խողովակի լայնական կը-  
տրվածքը կարող է անվերջ նեղանալ՝ կառուստիկական մակերևույթին մո-  
տենալիս: Ներդրվող պահանջն օրենքի շնորհիվ այս դեպքում է ներդրի-  
այի հոսքի խտությունը կձգտի անվերջության: Իրավիճակ նման է քվան-  
տային էլեկտրոդինամիկայում հանդիպող տարամիտումներին, որոնք պայմա-  
նավորված են այն Բանով, որ երկրորդային քվանտացման պայմաններում է-  
լեկտրոնը դիտվում է որպես կետային: Նման տարամիտումներից կարելի է  
խուսափել՝ վերանորմավորելով տեսությունը: ԵՕ-ում ու ԴԵՏ-ում կարելի  
է ձևափոխել ստացված արտահայտություններն այնպես, որ կառուստիկական  
մակերևույթների վրա դաշտերի արժեքներն աճելով՝ մնան վերջավոր, իսկ  
կառուստիկներից հեռու տիրույթներում վերածվեն երկրաչափաօպտիկականի:

Այսպես ձևափոխված տեսությունները կոչվում են հավասարաչափ ԵՕ  
և հավասարաչափ ԴԵՏ:

Հավասարաչափ ԵՕ-ի և ԴԵՏ-ի մեթոդներում կարևորագույն նշանա-  
կություն է ստանում կառուստիկական մակերևույթի տիպը: Եթե այն հարթ  
կոր /մակերևույթ/ է տեսության հավասարաչափ տարբերակը համեմատաբար  
հեշտ է կառուցել և, հակառակը, Բարդ տիպի կառուստիկների համար այս  
Բանն անելը Բարդանում է: Վերջին տարիներին սկսեց զարգանալ մաթեմատի-  
կայի մի նոր մյուս՝ հարթ /անհրաժեշտ թվով դիֆերենցիալ/ արտաստիկե-  
րումների առանձնահատկությունների տեսությունը: Այս տեսության հեղի-  
նակներն են ամերիկացի մաթեմատիկոս Հ.Ուիթնի, Ֆրանսացի Ռ.Թոմը և սո-  
վետական մաթեմատիկոս Վ.Առնոլդը: Ստեղծված տեսությունը թոմսն անվանեց  
,աղեաների/, /կատաստրոֆների/ տեսություն, ձգտելով ընդգծել, թե

ինչպես պարամետրերի դանդաղ փոփոխումը կարող է Քերել սիստեմի վիճակի /կամ շարժման/ կտրուկ, թռիչքային փոփոխման: Օստիկայում, օրինակ, անցումը կաուստիկական տիրույթով Քերում է տրված կետով անցնող մառա-  
զայթների թվի թռիչքածև փոփոխման:

Ալիքային զատկերացումների տեսանկյունից խոսքը ընդհանուր դեպ-  
քում Քազմաչափ օսցիլացնող հնտեզրալների /որոնք կարող են գերաբազ  
վայրընթացի եղանակով հաշվվել/ մոտարկումների առանձնահատկություննե-  
րի մասին է, երբ տեղի ունի ստացիոնար փուլի կետերի /կամ , ,թամբային,,  
կետերի/ կուտակում: Ալիքային մակասների և մոտարկային հնտեզրալների  
պարզագույն առանձնահատկությունները անսպասելի և երջանիկ պատահա-  
կություններ են նկարագրվում են Լիի պարզ խմբերի օգնությամբ.  $A_k \rightarrow SU_{k+1}$ ,  
 $D_k = O_{2k}, E_6, E_7, E_8$ .

Կանոնավոր Քազմանիստների տեսության մեջ  $A_k$  -ին համապատասխա-  
նում են կանոնավոր Քազմանկյունների պտույտների,  $D_k$  -ին՝ երկանիստ-  
ների /դիեդրոնների/,  $E_6$  -ին՝ տեռաէդրի,  $E_7$  -ին՝ օկտաէդրի և  $E_8$  -ին  
իկոսաէդրի խմբերը:

Այլ խոսքով՝ յուրաքանչյուր կանոնավոր Քազմանիստի կհամապատասխա-  
նի կաուստիկի և ալիքային մակասի իր առանձնահատկությունը /իր օսցի-  
լացնող հնտեզրալը/:

Դիֆերենցիալ արտադատկերումների առանձնահատկությունների տեսու-  
թյունը, փաստորեն, Ֆուկսիցիանների էքստրեմումների հետազոտության հե-  
ռազմա ընդհանրացումն է, երբ այս Ֆուկսիցիանները փոխարինվում են արտա-  
դատկերումներով, այսինքն՝ կամայական թվով փոփոխականներից կախած կա-  
մայական թվով Ֆուկսիցիանների հավաքածուով: Այս տեսությունն հիմնական եզ-  
րակացություններից մեկն այն է, որ պետք է գոյություն ունենան միայն  
վերջավոր թվով սաստիկա, ունիվերսալ զատկերներ, որոնք կարող են մեկ-  
ընդմիջա, մանրակրկիտորեն ուսումնասիրվել և որոնք կարող են մասշավել  
արտահայտման տարբեր ձևերում: Այսպես՝ նույնիսկ տարածության մեջ, ինչ-  
պես ապացուցել է Քոմը 1955թ., կարող են իրացվել միայն յոթ սաստիկա  
առանձնահատկություններ: Այժմ սրանք անվանվում են Քոմի յոթ , ,աղետ-  
ներ,, /կասասորո՞ններ/:

Տեսության մյուս կարևոր եզրակացությունն այն է, որ հնարավոր է  
հետազոտել ալիքային մակասների և կաուստիկների մեծամորթոզները ժամանա-  
կի ընթացքում՝ սրանց դասակարգման շրջանակներում:

Սովետական ֆիզիկոսներ Յ.Ա.Կրավցովի և Յ.Ի.Օռլովի աշխատանքները  
ցույց պեցին, թե ինչպես կարելի է կիրառել , ,աղետների,, տեսությունը  
ցանկացած Քազմ աիդի կաուստիկական մակերևույթի տիրույթում՝ ընդհանուր  
ձևով ԾՕ-ի և ԴԾՏ-ի հավասարաչափ տարբերակի կատարման համար:

Քանի որ ինչպես ԾՕ-ն, այնպես էլ ԴԾՏ-ը Մաքսվելի հավասարումնե-

րի կարճալիքային մոտարկման հետևություններն են, ապա ներկա ձեռնարկը,  
ըստ էության, Մաքսվելի համասեռ հավասարումների կարճալիքային մո-  
տարկման առանձնահատկությունների հետազոտությունն է:

ԵՐԿՐԱԶԱՓԱԿԱՆ ԿԱՄ ԸՆԴՈՒՆԱՅԹԱՅԻՆ ՕԳՏԻԿԱԼ /ԵՕ/

1.1 ԵՕ-ն որպես Հեմիհոլցի կամ Մաքսվելի հավասարում-

ների կարծախիբային մոտարկում

Երկրաչափական կամ մառախայթային օպտիկա /ԵՕ/ ասելով հասկանում են ալիքների տարածման աեսուկթյան կարծախիբային սահմանային դեպքը, երբ ալիքի ամպլիտուդն ու փուլը տարածուկյան և ժամանակի ոչ մեծ հասվածներում համարվում են հաստատուն, իսկ տարածման օրենքները համընկնում են հարթ ալիքի տարածման օրենքներին:

Սահմանափակվելով ստույգ մոնոքրոմատիկ ալիքների դեպքով՝ ցույց տանք, որ ալիքի երկարության կարգի տարածուկյան հասվածներում այս հատկություններով օժտված ալիքները, իրոք, համապատասխանում են Հեմիհոլցի /սկալյար դեպք/ կամ Մաքսվելի /էլեկտրամագնիսական դեպք/ հավասարումների կարծախիբային մոտարկային լուծումներին:

Գրենք Հեմիհոլցի հավասարումը կամայական սահմանափակ, իզոտրոպ, դիէլեկտրական միջավայրի համար՝

$$\Delta f + K^2 \epsilon(r) f = 0, \quad K = \omega/c \quad /1.1.1/$$

/1.1.1/-ի լուծումը փնտրենք Դեբայի վերլուծության ձևով՝

$$f = e^{ik\psi} \sum \frac{A_m}{(ik)^m} \quad /1.1.2/$$

որտեղ  $A_m$  -ը կոորդինատներից կախված դանդաղ փոփոխվող Ֆուրյեյիցիա է,  $A_{-1} = 0$ ,  $K = \frac{\omega}{c}$  -ն մեծ թիվ է: Ժամանակային կախումը՝  $e^{-i\omega t}$  -ն, մոնոքրոմատիկ ալիքի համար կայանականությունը ամեն անգամ շեշել:

Տեղադրենք /1.1.2/ վերլուծությունը /1.1.1/ հավասարման մեջ: Պարզ ձևափոխությունից հետո /1.1.1/ հավասարումը գալիս է հետևյալ տեսքին՝

$$\sum_m \left[ \frac{\Delta A_m}{(ik)^m} + \frac{2\partial A_m \partial \psi + A_m \Delta \psi}{(ik)^{m-1}} + \frac{A_m (\nabla^2 \psi - \epsilon(r) A_m)}{(ik)^{m-2}} \right] e^{ik\psi} = 0 \quad /1.1.3/$$

Զանի որ  $K = \frac{\omega}{c}$  -ն մեծ թիվ է, իսկ  $A_m$  -ը կոորդինատներից կախված, դանդաղ փոփոխվող Ֆուրյեյիցիա, /1.1.3/-ում զրգված գումարելիների

մեջ գլխավոր անդամը երրորդն է, որն ըստ կարգի ունի  $\frac{1}{(ik)^{m-2}}$  մեծություն: Երկրորդ գումարելին  $\frac{1}{(ik)^{m-1}}$  կարգի անվերջ փոքր է, իսկ առաջինը՝  $\frac{1}{(ik)^m}$  կարգի: Հավասարեցնելով զրոյի  $m$  -ի նույն աստիճանն ունեցող գումարելիներն առանձին-առանձին և կրճատելով  $e^{ik\psi}$  ընդհանուր բազմապատկիչը, կստանանք անդադարձ /ռեկուրենս/ հավասարումների հետևյալ համակարգը՝

$$A_0 (\nabla^2 \psi)^2 - \epsilon(r) A_0 = 0,$$

$$2\partial A_0 \partial \psi + A_0 \Delta \psi = -\Delta A_{-1} = 0$$

$$2\partial A_1 \partial \psi + A_1 \Delta \psi = -\Delta A_0, \quad /1.1.4/$$

.....

$$2\partial A_m \partial \psi + A_m \Delta \psi = -\Delta A_{m-1},$$

.....

Սահմանափակվենք /1.1.4/-ի առաջին երկու հավասարումներով և զգրենք՝

$$(\nabla^2 \psi)^2 = \epsilon(r) \quad /1.1.5/$$

$$2\partial A_0 \partial \psi + A_0 \Delta \psi = 0 \quad /1.1.6/$$

եթե /1.1.2/-ում թողնենք միայն գլխավոր անդամը / $m = 0$  /՝

$$f = A_0 e^{ik\psi} \quad /1.1.7/$$

և անվանենք այն զրոյական մոտավորության լուծում, ապա այս լուծման փուլային Ֆուրյեյիցիան կորոշվի /1.1.5/ հավասարումից, իսկ ամպլիտուդը՝

$A_0$  -ն /1.1.6/-ից: /1.1.5/ հավասարումն անվանում են էյրոնալի հավասարում, իսկ  $\psi$  -ն՝ էյրոնալ: Այս տերմինն ունի Գուեական ծագում / $\epsilon(r) \psi$  - դասեր/: Մաթեմատիկական լեզվով /1.1.5/-ը /1.1.1/ հավասարման Բուլթազարիէն է: Ընդունված է, ընդհանրապես, հավասարումների Բուլթազարիէ Ֆուրյեյիցիաներն անվանել էյրոնալներ, եթե անգամ հավասարում-ը լուծմանը չեն վերաբերում ալիքների տարածման հետ կապված ինտիդենցիան:

/1.1.6/ հավասարումը, որտեղից որոշվում է  $A_0$  ամպլիտուդը, անվանում են փոխադրման հավասարում: Պարզաբանելու համար սրա ֆիզիկական բովանդակությունը՝ բազմապատկենք այն  $A_0$  -ով և ինտեգրենք մի  $\sigma$  ծավալով, որտեղ  $A_0 \neq 0$ : Ասանանք՝

$$\int_V \text{div} (A_0^2 \nabla \psi) dV = \oint_\sigma A_0^2 \nabla \psi d\vec{S} \quad /1.1.6-a/$$

որտեղ  $S$  -ը  $\psi$  ծավալը պարփակող մակերևույթն է:

Այս ձևով գրված հավասարությունն արտահայտում է էներգիայի պահպանման օրենքը՝ ըստ ակիբի տարածման  $\vec{\nabla} \Psi$  ուղղություն:

/1.1.1/ հավասարումը հավասարապես կիրառելի է, օրինակ, ճայնային ալիքների դեպքում, եթե  $K\sqrt{E} = \frac{\omega}{v_{\text{գաղափար}}}$ : Իսկ, եթե  $K = \frac{\sqrt{2mE}}{\hbar}$ ,

$$E(\tau) = 1 - \frac{U(\tau)}{E} \quad \text{այնպես, որ} \quad K^2 E(\tau) = \frac{2m(E - U)}{\hbar^2}$$

որտեղ  $E$  -ն մասնիկի էներգիան է,  $m$  -ը՝ մասսան,  $U(x)$  -ը՝ արտաքին դաշտի պոտենցիալ էներգիան, իսկ  $\hbar$  -ը՝ Պլանկի հաստատունը, ապա /1.1.1/-ը Շրեդինգերի ստացիոնար ալիքային հավասարումն է՝ գրված մասնիկի ալիքային ֆունկցիայի համար, իսկ /1.1.5/-ը և /1.1.6/-ը՝ քվազիդասական /ԿՔԲ/ գրոյական մոտավորության հավասարումները:

Էլեկտրոդինամիկայում /1.1.1/-ը նկարագրում է էլեկտրամագնիսական ալիքների Բոլոր էական հատկությունները, Բացառությամբ Բեռնացման հատկություն: Այն Բոլոր ինդիքներում, որոնցում դաշտի Բեռնացումը և տարբեր Բաղադրիչների փուլերի միջև եղած առնչություններն էական չեն, գործնականում կարելի է սահմանափակվել /1.1.1/ հավասարմամբ ու նրա լուծումներով: Սակայն առավել ճշգրիտ ու հետևողական լինելու նպատակով քննարկենք այս նույն մոտավորությունը՝ ելնելով Մաքսվելի հավասարումներից:

Գրենք Մաքսվելի հավասարումների առաջին զույգը կամայական, իզոտրոպ և անհամասեռ դիէլեկտրական և մագնիսական միջավայրում տարածվող մոնոքրոմատիկ ալիքի համար՝

$$\text{rot } \vec{E} = iK\nu(\tau) \vec{H}, \quad \text{rot } \vec{H} = -iK\varepsilon(\nu) \vec{E} \quad /1.1.8/:$$

Փարենթ /1.1.8/ հավասարումների լուծումները,

$$\vec{E} = \frac{e^{iK\nu}}{\sqrt{\varepsilon(\nu)}} \sum_m \frac{\vec{A}_m}{(iK)^m}, \quad \vec{H} = \frac{e^{iK\nu}}{\sqrt{\mu(\nu)}} \sum_m \frac{\vec{B}_m}{(iK)^m} \quad /1.1.9/$$

սեպրով, որտեղ  $\varepsilon(\nu)$  -ը և  $\mu(\nu)$ -ն, համապատասխանորեն, միջավայրի դիէլեկտրական ու մագնիսական թափանցելիություններն են: Տեղադրենք /1.1.9/ վերլուծությունները /1.1.8/ հավասարումներում: Չստանանք՝

$$\sum_m \frac{[\vec{\nabla} \Psi \vec{A}_m] - \sqrt{\varepsilon} \vec{B}_m}{(iK)^{m-1}} = - \sum_m \frac{\text{rot } \vec{A}_m + \sqrt{\varepsilon} [\vec{\nabla} \frac{1}{\sqrt{\varepsilon}} \vec{A}_m]}{(iK)^m},$$

$$\sum_m \frac{[\vec{\nabla} \Psi \vec{B}_m] + \sqrt{\mu} \vec{A}_m}{(iK)^{m-1}} = - \sum_m \frac{\text{rot } \vec{B}_m + \sqrt{\mu} [\vec{\nabla} \frac{1}{\sqrt{\mu}} \vec{B}_m]}{(iK)^m} \quad /1.1.10/:$$

Հիշենք, որ  $K$  -ն մեծ թիվ է, իսկ  $\vec{A}_m$ -ը և  $\vec{B}_m$ -ը կոորդինատներից կախված, դանդաղ փոփոխվող ֆունկցիաներն են: Պահանջելով նաև, որ  $\vec{A}_m = \vec{B}_m = 0$ , /1.1.10/-ից կարող ենք ստանալ՝

$$m=0\text{-ի համար} \quad [\vec{\nabla} \Psi \vec{A}_0] - \sqrt{\varepsilon} \vec{B}_0 = 0,$$

$$[\vec{\nabla} \Psi \vec{B}_0] + \sqrt{\mu} \vec{A}_0 = 0; \quad /1.1.11/$$

$$m=1\text{-ի համար} \quad [\vec{\nabla} \Psi \vec{A}_1] - \sqrt{\varepsilon} \vec{B}_1 = -\text{rot } \vec{A}_0 + \sqrt{\varepsilon} [\vec{\nabla} \frac{1}{\sqrt{\varepsilon}} \vec{A}_0],$$

$$[\vec{\nabla} \Psi \vec{B}_1] + \sqrt{\mu} \vec{A}_1 = -\text{rot } \vec{B}_0 + \sqrt{\mu} [\vec{\nabla} \frac{1}{\sqrt{\mu}} \vec{B}_0] \quad /1.1.12/$$

Նախ /1.1.11/ գծային համասեռ հավասարումների սխեման ունի գրոյից տարբեր ոչ օրիվիալ լուծումներ, եթե

$$(\vec{\nabla} \Psi)^2 = \varepsilon \mu, \quad /1.1.13/$$

որը ոչ այլ ինչ է, եթե ոչ էյքոնալի /1.1.5/ հավասարումը՝ գրված  $n = \sqrt{\varepsilon \mu}$  Բեկման ցուցիչով միջավայրի համար: /1.1.11/-ից հետևում է, որ  $\vec{A}_0 \perp \vec{B}_0$ ,  $\vec{\nabla} \Psi \perp \vec{A}_0$  և  $\vec{\nabla} \Psi \perp \vec{B}_0$ : Նշանակենք՝

$$\vec{\nabla} \Psi = \vec{c} \sqrt{\varepsilon \mu}, \quad /1.1.14/$$

որից հետո /1.1.11/ ու /1.1.12/ սխեմաները կգրվեն հետևյալ տեսքով՝

$$[\vec{c} \vec{A}_0] - \vec{B}_0 = 0,$$

$$[\vec{c} \vec{B}_0] + \vec{A}_0 = 0, \quad /1.1.11, \text{ա}/$$

$$[\vec{c} \vec{A}_1] - \vec{B}_1 = \vec{X}_0,$$

$$[\vec{c} \vec{B}_1] + \vec{A}_1 = \vec{Y}_0, \quad /1.1.12, \text{ա}/$$

որտեղ մենք մտցրեցինք նշանակումներ՝

$$-\frac{1}{\sqrt{\varepsilon \mu}} \{ \text{rot } \vec{A}_0 + \sqrt{\varepsilon} [\vec{\nabla} \frac{1}{\sqrt{\varepsilon}} \vec{A}_0] \} \equiv \vec{X}_0 \quad /1.1.15/$$

$$-\frac{1}{\sqrt{\varepsilon \mu}} \{ \text{rot } \vec{B}_0 + \sqrt{\mu} [\vec{\nabla} \frac{1}{\sqrt{\mu}} \vec{B}_0] \} \equiv \vec{Y}_0$$

Մտնենք նաև  $\vec{a}$  և  $\vec{b}$  վեկտորները, որոնք  $\vec{c}$  վեկտորի հետ կապում են աջ օրթոգոնալ եռյակ՝

$$\vec{c} = [\vec{a} \vec{b}]. \quad /1.1.16/$$

/1.1.11, ա/ սխեման կբավարարվի Բեռնացման միայն երկու դեպքում,



այն է՝

$$\vec{A}_0 = \vec{n} \quad \text{և} \quad \vec{B}_0 = \vec{b}, \quad \text{կամ} \quad \vec{A}_0 = \vec{b} \quad \text{և} \quad \vec{B}_0 = -\vec{n} \quad /1.1.17/$$

Ընդհանուր դեպքում  $\vec{A}_0$  և  $\vec{B}_0$  վեկտորական Ֆունկցիաները կներկայացվեն /1.1.17/-ի զծային կոմբինացիաների տեսքով՝

$$\vec{A}_0 = \vec{n} \phi_1 + \vec{b} \phi_2, \quad \vec{B}_0 = \vec{b} \phi_1 - \vec{n} \phi_2, \quad /1.1.18/$$

որտեղ  $\phi_1$  -ը և  $\phi_2$  -ը կորդինատներից կախած կամայական սկալյար ֆունկցիաներ են, ըստ որում  $\vec{r}$  -ն  $\vec{\nabla} \Psi$  ուղղութիւն միավոր վեկտորն է,  $\vec{n}$  -ը նրա նորմալը,  $\vec{b}$  -ն՝ Բինորմալը:

Մյուս կողմից՝ /1.1.12, ա/-ից հետևում է, որ

$$(\vec{X}_0 \vec{b}) - (\vec{Y}_0 \vec{n}) = 0, \quad (\vec{X}_0 \vec{n}) + (\vec{Y}_0 \vec{b}) = 0 \quad /1.1.19/$$

Տեղադրենք /1.1.19/-ում ամպլիտուդային ֆունկցիաների՝ համար ըստացված /1.1.18/ արտահայտությունները: Հաշվի առնելով նաև /1.1.15/-ը, և /1.1.16/-ը՝ պարզ ձևափոխություններից հետո կստանանք հավասարումների հետևյալ սխեման՝

$$\begin{aligned} \phi_1 (\vec{n} \text{rot} \vec{n} + \vec{b} \text{rot} \vec{b}) - \phi_2 \vec{r} \vec{r} - 2 \vec{r} \vec{\nabla} \phi_2 - \\ - \phi_2 \vec{r} (\vec{r} \vec{\nabla} \frac{1}{r} + \vec{n} \vec{\nabla} \frac{1}{r}) = 0, \\ \phi_2 (\vec{n} \text{rot} \vec{n} + \vec{b} \text{rot} \vec{b}) + \phi_1 \vec{r} \vec{r} + 2 \vec{r} \vec{\nabla} \phi_1 + \\ + \phi_1 \vec{r} (\vec{r} \vec{\nabla} \frac{1}{r} + \vec{n} \vec{\nabla} \frac{1}{r}) = 0. \end{aligned} \quad /1.1.20/$$

Բազմապատկենք /1.1.20/ հավասարումներից առաջինը  $\phi_2$  -ով, երկրորդը՝  $\phi_1$  -ով և հանենք միմյանցից: Կստանանք՝

$$\frac{\phi_1^2 + \phi_2^2}{\sqrt{\epsilon \mu}} \vec{\nabla} \vec{r} + \vec{r} \vec{\nabla} \frac{\phi_1^2 + \phi_2^2}{\sqrt{\epsilon \mu}} = 0$$

հավասարումը, որը կարելի է գրել նաև

$$\text{div} \left( \frac{\phi_1^2 + \phi_2^2}{\sqrt{\epsilon \mu}} \vec{r} \right) = 0 \quad /1.1.21/$$

տեսքով: Եթե ինտեգրենք /1.1.21/ հավասարումը մի  $\nu$  ծավալով, որտեղ  $\phi_1 \neq 0$ ,  $\phi_2 \neq 0$  և օգտվենք Գաուս-Օստրոգրադսկու թեորեմից, կստանանք՝

$$\int_V \text{div} \left( \frac{\phi_1^2 + \phi_2^2}{\sqrt{\epsilon \mu}} \vec{r} \right) dV = \oint_S \frac{\phi_1^2 + \phi_2^2}{\sqrt{\epsilon \mu}} \vec{r} dS, \quad /1.1.21, ա/$$

որը /1.1.6, ա/ փոխադրման հավասարման համաձայնությունն է՝ գրված էլեկտրամագնիսական ալիքների համար:

Բազմապատկենք այժմ /1.1.20/ հավասարումներից առաջինը  $\phi_1$  -ով, երկրորդը՝  $\phi_2$  -ով և գումարենք միմյանց: Պարզ ձևափոխություններից հետո կստանանք՝

$$\vec{r} \vec{\nabla} \arctg \frac{\phi_2}{\phi_1} = \frac{\vec{n} \text{rot} \vec{n} + \vec{b} \text{rot} \vec{b}}{2} \quad /1.1.22/$$

հավասարությունը: Սրա աջ մասի հակադարձ մեծությունը նշանակենք  $T$  -ով՝

$$T = \frac{2}{\vec{n} \text{rot} \vec{n} + \vec{b} \text{rot} \vec{b}} \quad /1.1.23/$$

/1.1.23/-ով որոշված մեծությունն անվանում են մոտագայթի պլանարման շառավիղ: Ձևափոխենք /1.1.22/ հավասարության ձախ մասը, մտցնելով  $\vec{r}$  ուղղութիւն մոտագայթի երկարության  $l$  տարրի և պտտման  $\theta = \arctg \frac{\phi_2}{\phi_1}$  անկյան հասկացությունները՝

$$\vec{r} \vec{\nabla} \arctg \frac{\phi_2}{\phi_1} = (\vec{r} \vec{\nabla}) \theta = \left( \frac{\partial x}{\partial l} \frac{\partial}{\partial x} + \frac{\partial y}{\partial l} \frac{\partial}{\partial y} + \frac{\partial z}{\partial l} \frac{\partial}{\partial z} \right) \theta = \frac{d\theta}{dl}$$

ի վերջո /1.1.22/ հավասարումը կգրվի

$$\frac{d\theta}{dl} = \frac{1}{T} \quad /1.1.24/$$

տեսքով: Ինտեգրելով /1.1.24/-ը ըստ մոտագայթի երկարության՝ կստանանք Բեռնոցման վեկտորի պտույտի անկյան մեծությունը՝ որպես մոտագայթի երկարության ֆունկցիա՝

$$\theta = \int_{(L)} \frac{dl}{T} \quad /1.1.25/$$

Ստացված հավասարումները լուծում են առաջադրված խնդիրը, այն է՝  $\vec{E}$ -ի հիմնավորումը՝ որպես մաքուր էլի հավասարումների կարճալիքային մոտարկում: Իրոք, /1.1.13/ հավասարումից որոշվում է  $\Psi$  էյքսոնալը, /1.1.20/ հավասարումներից՝  $\phi_1$  և  $\phi_2$  ամպլիտուդային ֆունկցիաները, որոնք /1.1.18/ Բանաձևերով արտահայտում են  $\vec{E}$  և  $\vec{H}$  ամպլիտուդները՝ գրոյական մոտավորությամբ: Եվ եթե սահմանափակվենք /1.1.9/ վերլուծության զլխավոր /գրոյական մոտավորության/ անդամներով, ապա ստացվող

$$E = \frac{\vec{A}_0}{\sqrt{\epsilon}} e^{ik\Psi}, \quad H = \frac{\vec{B}_0}{\sqrt{\mu}} e^{ik\Psi} \quad /1.1.26/$$

էլեկտրամագնիսական դաշտը  $\vec{r} = \frac{\vec{\nabla} \Psi}{\sqrt{\epsilon \mu}}$  ուղղությամբ տարածվող հարթ ալիք է, իսկ  $\vec{A}_0$  և  $\vec{B}_0$  վեկտորական ֆունկցիաները տարածության  $\frac{1}{k}$  կարգի /ալիքի երկարության կարգի/ հատվածներում դանդաղ փոփոխվող ֆունկցիաներ են:

Համասեռ միջավայրի դեպքում  $\epsilon = const, \mu = const, \vec{c} = const,$   
 $\vec{n} = const$  և  $\vec{b} = const$   
 ա/ /1.1.21/ հավասարումը տարաբաժանվում է երկու անկախ հավասարումնե-  
 րի՝

$$\operatorname{div}(\phi_1^2 \vec{c}) = 0, \quad /1.1.27, \text{ա}/$$

$$\operatorname{div}(\phi_2^2 \vec{c}) = 0. \quad /1.1.27, \text{բ}/$$

բ/  $\vec{n} \operatorname{rot} \vec{n} + \vec{b} \operatorname{rot} \vec{b} = 0$  և  $T \rightarrow \infty$ , այսինքն՝ Օտոպայթի պտտման շա-  
 դավիղը ձգտում է անվերջության և  $\frac{d\phi}{dt} = 0$ , էյքոնալը ուղիղ գիծ է, իսկ  
 $\vec{E}, \vec{H}$  և  $\vec{c}$  վեկտորները կազմում են Ֆրենեի անշարժ եռանիստ:

Այս դեպքում, իհարկե,  $\vec{n}$ ՝ նորմալի և  $\vec{b}$ ՝ Բինորմալի հակա-  
 ցուծյունները կորցնում են իրենց իմաստը, և  $\vec{E}$  ու  $\vec{H}$  վեկտորների  
 ուղղությունները տարածության մեջ այլասերված են. ցանկացած փոխուղ-  
 դահայաց վեկտորներ, որոնք ուղղահայաց են տարածման  $\vec{c}$  ուղղությանը,  
 կՔավարան դրված հավասարումներին և, ի վերջո, Մաքսվելի հավասարում-  
 ների գրոյական մոտարկմանը ըստ  $iK$ -ի հակադարձ աստիճանների:

Այսպիսով՝ համասեռ, իզոտրոպ միջավայրում գոյություն չունի Բե-  
 վեռացման առանձնաշնորհ ուղղություն /  $\vec{E}$  և  $\vec{H}$  վեկտորների դիրքը հար-  
 թույթյան մեջ այլասերված է/, և, ինչպես նշվել է վերը, կարելի է Քավա-  
 րարվել սկալյար դեպքին համարժեք /1.1.27, ա և բ/ լուծումներով:

Շարադրված հեռագոտությունները առաջինը կառարել է սովետական Գի-  
 զիկոս Ս.Ս. Ռիտովը 1938թ.:

Բնարկեք վերջում ՅՕ-ի և նյութական կետի մեխանիկայի համաբա-  
 նույթյունը /անալոգիան/: Գրենք Համիլթոն-Յակոբիի Բանաձևերը նյութա-  
 կան կետի համար՝

$$\vec{p} = \frac{\partial \Psi(\vec{r}, t)}{\partial \vec{r}}; \quad \mathcal{H} = -\frac{\partial \Psi(\vec{r}, t)}{\partial t}, \quad /1.1.28/$$

որտեղ  $\vec{p}$ -ն մասնիկի իմպուլսն է,  $\Psi$ -ն՝ գործողությունը,  $\mathcal{H}$ -ը՝ Հա-  
 միլթոնի ֆունկցիան:

$$f = A_0 e^{i\Psi(\vec{r}, t)} \quad /1.1.29/$$

Փունկցիայի փուլը ներկայացնենք ժամանակի ու տարածության փոքր  
 միջավայրերում

$$\Psi = \Psi_0 + \vec{r} \frac{\partial \Psi(\vec{r}, t)}{\partial \vec{r}} + t \frac{\partial \Psi(\vec{r}, t)}{\partial t}$$

վերլուծության տեսքով, այսինքն՝

$$f = A_0 e^{i\Psi_0 + i\vec{r} \frac{\partial \Psi(\vec{r}, t)}{\partial \vec{r}} + it \frac{\partial \Psi(\vec{r}, t)}{\partial t}} \quad /1.1.30/$$

Տարածության ու ժամանակի փոքր միջավայրերում /1.1.30/-ը կարե-  
 լի է համարել հարթ ալիք՝

$$f = A_0 e^{i\Psi_0 + i(\vec{r} \cdot \vec{k} - \omega t)}, \quad /1.1.31/$$

եթե

$$\vec{k} = \frac{\partial \Psi}{\partial \vec{r}} \equiv \vec{\nabla} \Psi, \quad \omega = -\frac{\partial \Psi}{\partial t}. \quad /1.1.32/$$

Համեմատելով /1.1.32/-ը /1.1.28/-ի հետ՝ տեսնում ենք, որ ՅՕ  
 գոթծողությունը  $\Psi$ -ն, համընկնում է նյութական կետի մեխանիկայում  
 մտցված գործողության հետ Պլանկի  $\hbar$  հաստատունի Օշգրտությամբ / $\vec{p} = \hbar \vec{k}$  /,  
 իսկ Համիլթոնի Բնութագրական հավասարումը՝

$$(\vec{\nabla} \Psi)^2 - \frac{1}{c^2} \left(\frac{\partial \Psi}{\partial t}\right)^2 = 0$$

էյքոնալի  $k^2 - \frac{\omega^2}{c^2} = 0$  տեսքով գրված հավասարմանը: Մասնիկների համար տե-  
 դի ունեն Համիլթոնի հավասարումները՝

$$\dot{\vec{p}} = -\frac{\partial \mathcal{H}}{\partial \vec{r}}, \quad \dot{\vec{v}} = \dot{\vec{z}} = \frac{\partial \mathcal{H}}{\partial \vec{p}} \quad /1.1.33/$$

և, ըստ նշված համաբանության՝

$$\dot{\vec{k}} = -\frac{\partial \omega}{\partial \vec{r}}, \quad \dot{\vec{z}} = \frac{\partial \omega}{\partial \vec{k}}. \quad /1.1.34/$$

/1.1.34/-ից հետևում է, որ վակուումում

$$\omega = c k, \quad \dot{\vec{k}} = 0, \quad \dot{\vec{z}} = \dot{\vec{v}} = c \vec{e}. \quad /1.1.35/$$

1.2. ՅՕ-ի հիմնական հակացուծյունները

Ալիքային մակերևույթ: Գրենք էյքոնալի հավասարումն անհամասեռ դի-  
 էլեկտրական ու մագնիսական միջավայրի դեպքում՝ դեկարտյան կոորդինատա-  
 կան համակարգում՝

$$\left(\frac{\partial \Psi}{\partial x}\right)^2 + \left(\frac{\partial \Psi}{\partial y}\right)^2 + \left(\frac{\partial \Psi}{\partial z}\right)^2 = n^2(x, y, z), \quad /1.2.1/$$

$$n(x, y, z) = \sqrt{\epsilon(x, y, z) \mu(x, y, z)}$$

$\Psi(x, y, z) = const$  մակերևույթն անվանում են ալիքային մակերևույթ  
 կամ երկրաչափական ալիքային ժակատ:

Ճառագայթ: Ալիքային մակերևույթի /ժակատի/ հակացուծյան հետ սեր-

տորեն առնչվում է մտազայթի հասկացությունը:

Գրենք ալիքի էլեկտրական ու մագնիսական էներգիաների միջին արժեքների /ըստ ժամանակի/ արտահայտությունները՝ օգտվելով /1.1.26/ Բանաձևերից /անկյունային փակագծերը նշանակում են միջնացում ըստ ժամանակի/՝

$$\langle \omega_E \rangle = \frac{\epsilon}{16\pi} \vec{E} \vec{E}^* = \frac{A_0^2}{16\pi}, \quad /1.2.2/$$

$$\langle \omega_H \rangle = \frac{\mu}{16\pi} \vec{H} \vec{H}^* = \frac{B_0^2}{16\pi},$$

Փոյնիինգի վեկտորի միջին արժեքը հավասար է՝

$$\langle \vec{S} \rangle = \frac{c}{8\pi} [\vec{E} \vec{H}^*] = \frac{c}{8\pi \sqrt{\epsilon \mu}} [\vec{A}_0 \vec{B}_0]. \quad /1.2.3/$$

Օգտվելով /1.1.8/ Բանաձևերից՝ հաշվենք  $A_0^2$ ,  $B_0^2$  և  $[\vec{A}_0 \vec{B}_0]$  մեծությունները.

$$A_0^2 = B_0^2 = \phi_1^2 + \phi_2^2, \\ [\vec{A}_0 \vec{B}_0] = \vec{z} (\phi_1^2 + \phi_2^2).$$

Հետևաբար՝

$$\langle \omega \rangle = \langle \omega_E \rangle + \langle \omega_H \rangle = \frac{\phi_1^2 + \phi_2^2}{8\pi} \quad /1.2.2, \text{ա}/$$

և

$$\vec{S} = \frac{c}{8\pi \sqrt{\epsilon \mu}} \vec{z} (\phi_1^2 + \phi_2^2). \quad /1.2.3, \text{ա}/$$

Համեմատելով /1.2.2, ա/ և /1.2.3, ա/ հասկացությունները՝ կարող ենք գրել

$$\vec{S} = \langle \omega \rangle \vec{z}, \quad /1.2.4/$$

որտեղ

$$\vec{z} = \frac{c}{\sqrt{\epsilon \mu}} \vec{z}. \quad /1.2.4, \text{ա}/$$

/1.2.4/-ից հետևում է, որ Փոյնիինգի վեկտորի միջին արժեքի /ըստ ժամանակի/ ուղղությունը համընկնում է երկրաչափական ալիքային մակտի ուղղությանը, իսկ Բացարձակ արժեքը հավասար է էներգիայի խտության միջին արժեքին՝ Բազմապատկած  $v = \frac{c}{\sqrt{\epsilon \mu}}$  արագությամբ: Այս նույնը մըշմարիտ է հարթ ալիքի համար, և հետևաբար ԵՕ-ի մոտավորությունում էներգիայի միջին խտությունը նույնպես տարածվում է լույսի՝  $v = \frac{c}{\sqrt{\epsilon \mu}}$  արագությամբ:

Այսպիսով, մտազայթները ալիքային  $\Psi(x, y, z) = \text{const}$  մակերևույթի յուրաքանչյուր կետին ուղղահայաց հեռագծեր են: Քանի որ այս ուղղություն-

ները համընկնում են յուրաքանչյուր կետում Փոյնիինգի վեկտորի միջին արժեքի ուղղությանը, ապա մտազայթը ԵՕ-ի մոտավորությունում որոշում է էներգիայի տարածման ուղղությունը:

Դիտենք մտազայթի վրա որևէ կետի շտապիղ վեկտորը՝  $\vec{z}(\ell)$ -ը, որպես մտազայթի ու կրկարության Ֆունկցիա: Այս դեպքում՝

$$\vec{\nabla} \Psi(\vec{z}(\ell)) = \sqrt{\epsilon \mu} \frac{\partial \vec{z}}{\partial \ell} = \vec{z} \sqrt{\epsilon \mu}, \quad /1.2.5/$$

որտեղ՝

$$\vec{z} = \frac{d\vec{z}}{d\ell} \quad /1.2.5, \text{ա}/$$

Դիտենք նաև /1.2.5/ հավասարումը ըստ  $\ell$ -ի՝

$$\frac{d}{d\ell} \vec{\nabla} \Psi(\vec{z}(\ell)) = \frac{d\vec{z}}{d\ell} \vec{\nabla} (\vec{\nabla} \Psi) = \frac{1}{\sqrt{\epsilon \mu}} \vec{\nabla} \Psi \vec{\nabla} (\vec{\nabla} \Psi) = \\ = \frac{1}{2\sqrt{\epsilon \mu}} \vec{\nabla} (\vec{\nabla} \Psi)^2 = \vec{\nabla} \sqrt{\epsilon \mu}.$$

Այսպիսով՝

$$\frac{d}{d\ell} (\sqrt{\epsilon \mu} \frac{d\vec{z}}{d\ell}) = \vec{\nabla} \sqrt{\epsilon \mu} \quad /1.2.6/$$

Եթե միջավայրը համասեռ է, /1.2.6/-ը Բերվում է հետևյալ հավասարմանը՝

$$\frac{d^2 \vec{z}}{d\ell^2} = 0,$$

որտեղից՝

$$\vec{z} = \vec{a}_0 + \vec{a}_1 \ell. \quad /1.2.7/$$

/1.1.7/-ը ուղղի հավասարումն է, այլ խոսքով՝ համասեռ միջավայրում մտազայթները ուղիղ գծեր են:

Ճանապարհի օպտիկական երկարություն

կամ օպտիկական մանապարհ:

Դիցուք, ժամանակի երկու՝  $dt$  միջակայքով Բաժանված պահերի ալիքային մակտների ալիքային հավասարումները արված են, համապատասխանորեն,  $\Psi = \text{const}$  և  $\Psi + d\Psi = \text{const}$  ձևով: Առանձնացնենք զոյություն ունեցող Բոլոր մտազայթներից այն, որն անցնում է  $\Psi = \text{const}$  և  $\Psi + d\Psi = \text{const}$  մակերևույթների վրա ընտրված  $P_1$  և  $P_2$  կետերով:

Եթե, ինչպես արել ենք վերը, մտազայթի  $\vec{z}(\ell)$  շտապիղ վեկտորը նկարագրենք որպես նրա  $\ell$  երկարության Ֆունկցիա և օգտվենք /1.2.5/-ից, կարող ենք գրել՝

$$\frac{d\Psi}{d\ell} = \frac{d\vec{z}}{d\ell} \vec{\nabla} \Psi = \sqrt{\epsilon \mu}.$$

Այժմ ինտեգրենք ստացված հավասարումը ըստ  $P_1$  և  $P_2$  կետերը միացնող մտազայթի երկարության՝

$$\Psi(P_2) - \Psi(P_1) = \int_{P_1}^{P_2} \sqrt{\epsilon \mu} dl. \quad /1.2.8/$$

էյքոնալների  $\Psi(P_2) - \Psi(P_1)$  տարբերությունն անվանվում է ճառագայթի օպտիկական երկարություն  $P_1$  և  $P_2$  կետերի միջև: Այսպիսով՝ էյքոնալն ստանում է օպտիկական մակապարհի իմաստ:

/1.2.8/ արտահայտության աջ մասը կարելի է ձևափոխել՝ ի նկատի առնելով, որ  $\sqrt{\epsilon \mu} = \frac{c}{v}$ , որտեղ  $v$ -ն, ինչպես ասել էինք, էներգիայի միջին խտության տարածման արագությունն է միջավայրում: Քանի որ  $\frac{dl}{dt} = v$ , ապա /1.2.8/-ը կարելի է գրել՝

$$\Psi(P_2) - \Psi(P_1) = c \int_{t_1}^{t_2} dt \quad /1.2.8,ա/$$

այսինքն՝  $\Psi(P_2) - \Psi(P_1)$  օպտիկական երկարությունը հավասար է վակուումում լույսի արագության և  $P_1$  կետից  $P_2$ -ը էներգիայի տարածման ժամանակամիջոցի արտադրյալին:

ճառագայթային խողովակը և ինտենսիվության

օրենքը ճառագայթային խողովակում:

Ինչպես տեսնում ենք, եթե մոտավորությամբ էլեկտրամագնիսական ալիքները, իրոք, նկարագրվում են հարթ ալիքի օրինաչափություններով: Սակայն իդեալական հարթ ալիքը տարածության մեջ գոյություն ունի ամենուրեք, մինչդեռ ճառագայթային պտտկերացումները կապված են դաշտի, հատկապես լույս /տեղայնային/ հատկությունների հետ: Եթե  $\Psi$ -ում այս հանգամանքը արտահայտվում է մի հասկացությամբ, որն ընդունված է անվանել ճառագայթային խողովակ:

Դիտարկենք նեղ խողովակ՝ կազմված  $\Psi(\vec{r}) = a_1 = \text{const}$  ալիքային մակերևույթի  $dS_1$  տարրից ելած ճառագայթներով:  $dS_2$ -ով նշանակենք հաջորդ մի որևէ պահի  $\Psi(\vec{r}) = a_2 = \text{const}$  ալիքային մակերևույթի վրա այն տարրը, որը հատում են  $dS_1$ -ից ելած բոլոր ճառագայթները: Օգտվենք /1.1.21,ա/ բանաձևից, որտեղ որպես  $v$  ծավալ ընդունենք քննարկվող ճառագայթային խողովակի ծավալը՝

$$\int_V \text{div} \left( \frac{\phi_1^2 + \phi_2^2}{\sqrt{\epsilon \mu}} \vec{r} \right) dv = \oint_S \frac{\phi_1^2 + \phi_2^2}{\sqrt{\epsilon \mu}} \vec{r} d\vec{S} \quad /1.2.9/$$

Համաձայն վերը ասվածի /1.2.9/-ում  $\vec{r} d\vec{S} = dS_2 - dS_1$ .

և հետևաբար /1.2.9/-ը կարելի է գրել

$$\int_{S_2} \frac{\phi_1^2 + \phi_2^2}{\sqrt{\epsilon \mu}} dS = \int_{S_1} \frac{\phi_1^2 + \phi_2^2}{\sqrt{\epsilon \mu}} dS \quad /1.2.10/$$

տեսքով: /1.2.10/ հավասարումը արտադրել հետևյալ տեսքով՝

$$\int_{S_1} I_1 dS = \int_{S_2} I_2 dS \quad /1.2.11/$$

որտեղ  $I_1$ -ը և  $I_2$ -ը ճառագայթային էներգիայի ինտենսիվությունների արժեքներն են  $dS_1$  և  $dS_2$  մակերևույթներով: /1.2.11/-ից հետևում է, որ

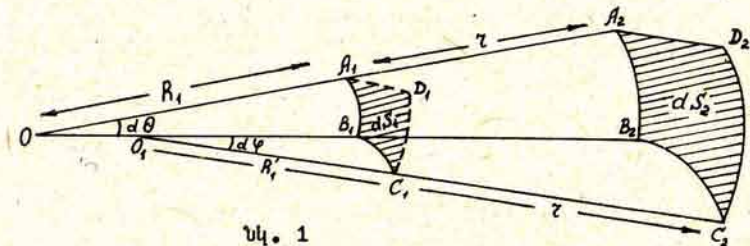
$$I_1 dS_1 = I_2 dS_2 \quad /1.2.12/$$

կամ

$$I dS = \text{const}$$

/1.2.12/ հավասարումը ինտենսիվության օրենքն է եթե  $\Psi$ -ում: Այն պնդում է, որ ճառագայթային խողովակի երկայնքով  $I dS$  մեծությունը մնում է հաստատուն:

Քննարկենք ինտենսիվության օրենքը համասեռ միջավայրի  $\sqrt{\epsilon \mu} = \text{const}$  մասնավոր դեպքում, երբ ճառագայթները ուղիղ գծեր են: Ենթադրենք՝  $dS_1$  և  $dS_2$  մակերևույթային տարրերը սահմանափակված են կորույթյան գծերի հատվածներով /տես նկ.1/, իսկ  $R_1$ -ը և  $R_1'$ -ը  $A_1 B_1$  և  $A_2 B_2$  հատվածների կորույթյունների զլխավոր շառավիղներն են:



նկ. 1

նկ.1-ից հետևում է, որ

$$A_1 B_1 = R_1 d\theta, \quad B_1 C_1 = R_1' d\varphi,$$

որտեղ  $d\theta$ -ն և  $d\varphi$ -ն այն անկյուններն են, որոնց ստակ  $O$  և  $O_1$  կետերից դիտվում են համապատասխանորեն  $A_1 B_1$  և  $B_1 C_1$  հատվածները:

Այսպիսով՝

$$dS_1 = A_1 B_1 \cdot B_1 C_1 = R_1 R_1' d\theta d\varphi$$

$$dS_2 = A_2 B_2 \cdot B_2 C_2 = (R_1 + z)(R_1' + z) d\theta d\varphi$$

Համաձայն /1.2.12/-ի

$$I_1 R_1 R_1' = I_2 (R_1 + z)(R_1' + z)$$

կամ

$$\frac{I_2}{I_1} = \frac{R_1 R_1'}{(R_1 + z)(R_1' + z)} \quad /1.2.13,ա/$$

եթե

$$z \gg R_1, \quad z \gg R_1', \quad \frac{I_2}{I_1} = \frac{R_1 R_1'}{z^2}, \quad /1.2.13,բ/$$

իսկ ընդհանուր դեպքում ինտենսիվության օրենքը կգրվի

$$I = \frac{const}{R_1 R_2} \quad / 1.2.14/$$

տեսքով, որտեղ  $R_1$  -ը և  $R_2$ -ը Օտոագայթային խողովակը սահմանափակող մակերևույթի կորույթյան զլխավոր շառավիղներն են:  $\frac{1}{R_1 R_2}$  մեծությունը, որը կորույթյան երկու զլխավոր շառավիղների հակադարձ մեծությունների արտադրյալն է, կոչվում է մակերևույթի գաուսյան կորույթյուն, իսկ /1.2.14/ բանաձևն ասում է, որ ուղղագիծ Օտոագայթի ցանկացած կետում ինտենսիվությունը համեմատական է այդ կետը պարունակող ալիքային մակերևույթի գաուսյան կորույթյանը: Մասնավորապես՝ եթե կորույթյան երկու զլխավոր շառավիղները հավասար են միմյանց /զնդային ալիք/, /1.2.14/-ը կընդունի

$$I = \frac{const}{R^2} \quad / 1.2.15/$$

տեսքը:

Օտոագայթային կոնգրուենցիա: Ձևակերպենք այժմ մեկ նոր հսկացու-թյուն՝ Օտոագայթների կոնգրուենցիայի հսկացույթյունը: Ելնենք հետևյալ ակնհայտ նույնությունից

$$\text{rot } \vec{\nabla} \psi = \text{rot } \sqrt{\epsilon r} \vec{E} = 0 \quad /1.2.16/$$

/1.2.16/ հավասարումը որոշում է Օտոագայթների այն բոլոր համակարգերը, որոնք կարող են գոյություն ունենալ իզոտրոպ միջավայրում՝ առանձնանալով կորերի ավելի ընդհանուր ընտանիքից: Երբ  $\sqrt{\epsilon r} = const$  /համասեռ իզոտրոպ միջավայր/ /1.2.16/ հավասարումը ձևափոխվում է

$$\text{rot } \vec{E} = 0 \quad /1.2.17/$$

տեսքի: Ցույց տանք, որ անհամասեռ միջավայրի դեպքում նույնպես կարելի է ստանալ հավասարում, որը Բացահայտորեն չպարունակի միջավայրի Բե-նուլթագրերը: Իրոք՝

$$\text{rot } (\sqrt{\epsilon r} \vec{E}) = \sqrt{\epsilon r} \text{rot } \vec{E} + [\text{grad } \sqrt{\epsilon r}, \vec{E}]$$

և, եթե այն սկալյար ձևով Բազմապատկենք  $\vec{E}$  վեկտորով, կստանանք՝

$$\vec{E} \text{ rot } \vec{E} = 0 \quad /1.2.18/$$

Այսպիսով, ցանկացած իզոտրոպ /սակ՝ անհամասեռ/ միջավայրում Օտոագայթների համակարգը Բավարարում է /1.2.18/ հավասարմանը:

Նորերի այնպիսի համակարգը, որով լցված է տարածության ավելի փոքր ուղիղ ալիքային, որ նրա յուրաքանչյուր կետով անցնում է կոր, կոչվում է կոնգրուենցիա: Կոնգրուենցիան կկոչվի նորմալ, եթե գոյություն ունեն մակերևույթների ընտանիքներ, որոնք հատում են կորերը ուղիղ անկյան տակ: ԵՕ-ում մենք գործ կունենանք նորմալ կոնգրուենցիաների հետ: Մասնավորապես՝ համասեռ իզոտրոպ միջավայրում Օտոագայթների համա-

կարգը կազմում է ուղղագիծ նորմալ կոնգրուենցիա:

Կիզակետ, կիզակետային մակերևույթ /կաուստիկ/,

կիզակետային հարթություն:

Դիտարկենք նորմալ կոնգրուենցիայի երկու հարևան Օտոագայթներ, որոնք հատում են  $\Psi(x, y, z) = const$  ալիքային մակերևույթը: Նկարագրենք այս մակերևույթը  $u, v$  կորագիծ կոորդինատական համակարգում՝  $\Psi(u, v) = const$ : Դիցուք՝  $u, v$  / և  $u+du, v+dv$  / կետերը այն կետերն են, որտեղ երկու հարևան Օտոագայթները հատում են  $\Psi(u, v) = const$  մակերևույթը:

Նշանակենք Օտոագայթի ընթացիկ կետի կոորդինատը  $\vec{r}(\ell)$  շառավիղ վեկտորով և պարզենք հետևյալ հարցը. դիտարկվող Օտոագայթների վրա գոյություն ունե՞ն արդյոք այնպիսի համապատասխան գույք կետեր, որոնց միջև եղած հեռավորությունը երկրորդ կամ ավելի Բարձր կարգի անվերջ փոքր է /ասում են, որ այդպիսի կետերում հարևան կորերն ունեն առաջին կարգի հատում/: Այսպիսի կետերն անվանում են կիզակետեր /մասնավորապես այդպիսի կետեր էին նկ.1-ում պատկերված 0 և 00 կետերը/: Ասվածից հետևում է, որ կիզակետային կետը կԲավարարի՝

$$\vec{r}(u, v, \ell) = \vec{r}(u+du, v+dv, \ell+d\ell)$$

հավասարմանը: Վերլուծելով այս հավասարման աջ մասը շարքի՝ կստանանք

$$\frac{\partial \vec{r}}{\partial u} du + \frac{\partial \vec{r}}{\partial v} dv + \frac{\partial \vec{r}}{\partial \ell} d\ell = 0 \quad /1.2.19/$$

վեկտորական հավասարումը:

/1.2.19/ հավասարումը տեղի ունի միայն այն դեպքում, երբ  $\frac{\partial \vec{r}}{\partial u}$ ,  $\frac{\partial \vec{r}}{\partial v}$  և  $\frac{\partial \vec{r}}{\partial \ell}$  վեկտորները կոմպլանար են, այսինքն՝ Բավարարում են

$$\frac{\partial \vec{r}}{\partial \ell} \left[ \frac{\partial \vec{r}}{\partial u} \cdot \frac{\partial \vec{r}}{\partial v} \right] = 0 \quad /1.2.20/$$

պայմանին: Դիցուք՝ Օտոագայթի  $\vec{r}(\ell)$  շառավիղ վեկտորը  $m$  կարգի Բագ-մանդամ է  $\ell$ -ի նկատմամբ.

$$\vec{r}(\ell) = \sum \vec{a}_m(u, v) \ell^m \quad /1.2.21/$$

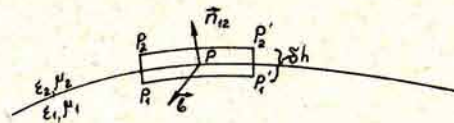
Այս դեպքում  $\vec{r} = \frac{\partial \vec{r}}{\partial \ell}$ -ը  $m-1$  կարգի Բագմանդամ է,  $\frac{\partial \vec{r}}{\partial \ell}$ -ն և  $\frac{\partial \vec{r}}{\partial u}$ -ն, յուրաքանչյուրը՝  $m$  կարգի: Տեղադրելով /1.2.21/-ը /1.2.20/-ում կստանանք, այսպիսով,  $3m-1$  կարգի հավասարում, որն, ընդհանրապես սասծ, ունի  $3m-1$  թվով լուծումներ: Մասնավորապես՝ եթե  $\ell=1$  /տես /1.2.7/-ը/, ապա  $\vec{r}(\ell)$ -ը գծային ֆունկցիա է և յուրաքանչյուր Օտոագայթի վրա կարող են գոյություն ունենալ երկու կիզակետ / $3-1=2$ /: Եթե  $u, v$ -ն ընդունում են հնարավոր բոլոր արժեքները, կիզակետերը կարող են վերածվել գծերի կամ մակերևույթի /կաուստիկ/: Տվյալ կետում

այս մակերևույթին տարած շոշափող հարթությունը կոչվում է կիզակետային հարթություն:

1.3. Ճառագայթների Բեկման և անդրադարձման օրենքները,

Ֆերմայի սկզբունքը

Մինչև այժմ մենք ենթադրում էինք, որ  $n = \sqrt{\epsilon \mu}$ -ն անընդհատ ֆունկցիա է կամ հաստատուն է: Դիտարկենք այժմ ճառագայթի վարքը, երբ այն հատում է երկու համասեռ  $\epsilon_1$  և  $\epsilon_2$  թափանցելիություններով դիէլեկտրիկների սահմանը: Նկ. 2-ում  $T$ -ն այս սահմանն է,  $\vec{n}_{12}$ -ը՝ սրա վրայի նորմալը,  $P$  կետում սահմանի հարթության նորմալը՝ ուղղված առաջին միջավայրից դեպի երկրորդը,  $\vec{S}$ -ն՝ Բինոյրմալը:



Նկ. 2

Դատողությունները նույնպիսիք են, ինչպիսիք որ կիրառվում էին Մաքսվելի հավասարումներում եզրային պայմանները նկարագրելիս: Փոխարինենք սահմանը  $\delta h$  լայնության անցումային շերտով, որտեղ  $n = \sqrt{\epsilon \mu}$ -ն փոփոխվում է շատ արագ՝ սահմանի մի կողմում ունեցած  $n_1 = \sqrt{\epsilon_1 \mu_1}$  արժեքից մինչև մյուս կողմում ստացվող  $n_2 = \sqrt{\epsilon_2 \mu_2}$  արժեքը: Դիտարկենք սահմանային մակերևույթի հարթ տարրը /Նկ. 2/, որի  $P, P'$  և  $P_2, P_2'$  կողմերը զուգահեռ են, իսկ  $P, P_2$  և  $P', P_2'$  կողմերը՝ ուղղահայաց Բաժանման սահմանին: Օգտվենք /1.2.16/ նույնությունից և Սթրոքսի թեորեմի օգնությամբ գրենք հետևյալ հավասարությունը  $P, P_2, P_2', P'$  կորով սահմանափակված մակերեսի համար՝

$$\int \text{rot}(\vec{r} \sqrt{\epsilon \mu}) \vec{S} d\vec{S} = \oint \sqrt{\epsilon \mu} \vec{r} d\vec{l} \quad /1.3.1/$$

2գոեցնենք զրոյի սահմանային շերտի  $\delta h$  լայնությունը: Նկ. 2-ից կարող ենք գրել՝

$$d\vec{l} = [\vec{n}_{12} \vec{S}] dl$$

որից հետո /1.3.1/ հավասարումից կստանանք՝

$$\oint \sqrt{\epsilon \mu} \vec{r} d\vec{l} = \int [\vec{n}_{12}, (\sqrt{\epsilon_2 \mu_2} \vec{S}_2 - \sqrt{\epsilon_1 \mu_1} \vec{S}_1)] \vec{S} dl = 0 \quad /1.3.2/$$

Քանի որ նկ. 2-ում պատկերված  $P, P', P_2, P_2'$  ուղղանկյան դիրքը կամայական էր, կամայական է և  $\vec{S}$  վեկտորի ուղղությունը: Հետևաբար /1.3.2/ հավասարությունը տեղի ունի, երբ

$$[\vec{n}_{12}, \sqrt{\epsilon_2 \mu_2} \vec{S}_2 - \sqrt{\epsilon_1 \mu_1} \vec{S}_1] = 0 \quad /1.3.3/$$

/1.3.3/ հավասարումն ասում է, որ  $\sqrt{\epsilon \mu} \vec{S}$  վեկտորը /ճառագայթային վեկտորը կամ էյքզնալի գրադիենտը/ անընդհատ է երկու միջավայրերի սահմանին, և կամ  $\vec{N} = \sqrt{\epsilon_2 \mu_2} \vec{S}_2 - \sqrt{\epsilon_1 \mu_1} \vec{S}_1$  վեկտորը ուղղահայաց է Բաժանման սահմանին: /1.3.3/ հավասարումից հետևում է նաև՝

$$\sqrt{\epsilon_2 \mu_2} [\vec{n}_{12} \vec{S}_2] = \sqrt{\epsilon_1 \mu_1} [\vec{n}_{12} \vec{S}_1], \quad /1.3.4/$$

կամ

$$\sqrt{\epsilon_2 \mu_2} \sin \theta_2 = \sqrt{\epsilon_1 \mu_1} \sin \theta_1 \quad /1.3.4, a/$$

որտեղ  $\theta_1$ -ը և  $\theta_2$ -ը այն անկյուններն են, որոնք կազմում են ընկնող և Բեկված ճառագայթները անկման կետում Բաժանման մակերևույթին տարած  $\vec{n}_{12}$  նորմալի հետ: /1.3.4/ վեկտորական հավասարումից /կամ /1.3.3/-ից/ հետևում է նաև, որ ընկնող և Բեկված ճառագայթներն անկման կետում Բաժանման մակերևույթին տարած նորմալի հետ միասին գտնվում են նույն հարթության մեջ, իսկ /1.3.4, a/ հավասարումից՝ որ ճառագայթների անկման անկյան ու Բեկման անկյան սինուսների հարաբերությունը հավասար է երկրորդ միջավայրի Բեկման ցուցչի  $n_2 = \sqrt{\epsilon_2 \mu_2}$  հարաբերությանը առաջինին  $n_1 = \sqrt{\epsilon_1 \mu_1}$  /:

Այս երկու պնդումներն արտահայտում են Բեկման օրենքը ճառագայթների համար /Մեկնելուսի օրենքը/: Այն ձևակերպում է հարթ ալիքի համար Մաքսվելի հավասարումներից ստացվող օրենքին, սակայն եթե հարթ ալիքի համար այս օրենքն իրավացի էր ալիքի ցանկացած երկարության և Բաժանման հարթ մակերևույթի դեպքում, ապա ճառագայթների համար վերն ստացված օրենքն իրավացի է ավելի ընդհանուր ձևի Բաժանման մակերևույթների համար, պայմանով միայն, որ ալիքի երկարությունը Բաժանման շաբաթ կարճ է, այնպես որ ընկնող ալիքային ճակատի և Բաժանման մակերևույթի կորությունների շոռավիղները շատ ավելի մեծ լինեն սրանից:

Ինչպես հարթ ալիքի դեպքում, այնպես էլ այստեղ կարելի է ակնկալել, որ Բացի Բեկված ճառագայթներից գոյություն ունի և անդրադարձվածը: Եթե ենթադրենք, որ ճառագայթի հետագիծը սահմանին հասնելիս չի անցնում երկրորդ միջավայրը և մնում է առաջինում, ապա /1.3.3/ և /1.3.4/ հավասարումներում  $\epsilon_1 \mu_1 = \epsilon_2 \mu_2$ , և կարելի է գրել

$$[\vec{n}_{12} \vec{S}_2] = [\vec{n}_{12} \vec{S}_1] \quad /1.3.5/$$

կամ՝  $\sin \theta_2 = \sin \theta_1$  / 1.3.5,ա/

և  $\theta_2 = \pi - \theta_1$

/1.3.5/ և /1.3.5,ա/ հավասարումներն ասում են, որ ընկնող մտա-  
զայթը անկման կետում բաժանման մակերևույթին տարած նորմալի և անդրա-  
դարձած մտազայթի հետ միասին գտնվում նույն հարթության մեջ և անկ-  
ման անկյունը հավասար է անդրադարձման անկյանը:

Եզրակացնենք. Բեկման և անդրադարձման օրենքները ԵՕ-ում լույալ  
Բնույթ են կրում և կարող են կիրառվել Բավականաչափ կարծ ալիքների հա-  
մար բաժանման Բավականաչափ կանոնավոր մակերևույթի ցանկացած կետի շեր-  
ջակայքում:

Բեկման և անդրադարձման օրենքները ֆիզիկայում գործող մի ավելի  
ընդհանուր սկզբունքի՝ Ֆերմայի սկզբունքի հետևությունն են: ԵՕ-ում  
այն կոչվում է ամենակարճ օպտիկական մանապարհի սկզբունք և պնդում է,  
որ ցանկացած  $P_1$  և  $P_2$  կետերի միջև մտազայթի օպտիկական /տես /1.2.3/-  
ը/ երկարությունն ամենակարճն է այս երկու կետերը միացնող մյուս Բո-  
լոր կորերի օպտիկական մանապարհներից, որոնք ընկած են այդ մտազայթի  
որևէ կարգավորված տիրույթում: Կարգավորված ասելով, հասկանում ենք տա-

րածություն այնպիսի տիրույթ, որի յուրաքանչյուր կետով անցնում է մի-  
այն մեկ մտազայթ /Այսպիսին է, օրինակ, տարածության այն մասը, որը  
լցված է կետային աղբյուրից առաքված մտազայթներով և որտեղ մտազայթ-  
ները Բեկման, սեփական կորություն անդրադարձման և այլ պատճառներով չեն  
հասում միմյանց/:

ԵՕ-ում Ֆերմայի սկզբունքը հետևում է Լագրանժի ինվարիանտության  
հայտանիշից, որն, իր հերթին, հետևում է /1.2.16/ նույնությունից:  
Քանի որ

$$\oint_L \sqrt{\epsilon \mu} \vec{E} d\vec{l} = 0 \quad / 1.3.6/$$

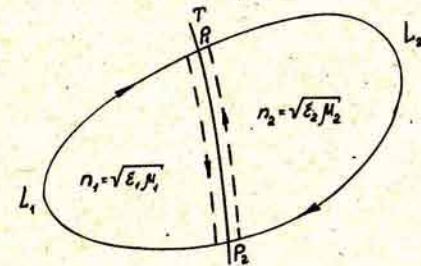
որտեղ ինտեգրումը գնում է կամայական Բաց մակերևույթը պարփակող փակ՝  
 $L$  կոնտուրով, ապա սրա վրա վերցված ցանկացած  $P_1$  և  $P_2$  կետերի համար  
կարելի է գրել՝

$$\int_{L_1(P_1 P_2)} \sqrt{\epsilon \mu} \vec{E} d\vec{l} + \int_{L_2(P_2 P_1)} \sqrt{\epsilon \mu} \vec{E} d\vec{l} = 0,$$

և հետևաբար՝

$$\int_{L(P_1 P_2)} \sqrt{\epsilon \mu} \vec{E} d\vec{l} = \text{inv} \quad /1.3.7/$$

/1.3.7/-ը կոչվում է Լագրանժի ինտեգրալ ինվարիանտ և նշանակում  
է, որ /1.3.7/ ինտեգրալի արժեքը ցանկացած  $P_1$  և  $P_2$  կետերի միջև կախ-  
ված չէ ինտեգրման մանապարհից: Լագրանժի ինվարիանտության հայտանիշը  
մտազայթի պոտենցիալ Բնույթի արտահայտությունն է: Այն միշտ է նաև  
այն դեպքում, երբ  $L$  կոնտուրով սահմանափակված տիրույթում միջավայ-  
րի Բեկման ցուցիչը անընդհատ չէ և ունի թորչը որն է կորի վրա՝  $\sqrt{\epsilon_1 \mu_1}$   
արժեքից  $\sqrt{\epsilon_2 \mu_2}$  արժեքը: Ապացուցելու համար այս պնդումը՝ դիտարկենք  
նկ. 3-ում պատկերված  $L$  կոնտուրը, որը հասում է  $\sqrt{\epsilon_1 \mu_1}$  և  $\sqrt{\epsilon_2 \mu_2}$   
Բեկման ցուցիչներով միջավայրերի բաժանման  $T$  կորը:



նկ. 3

Գրենք /1.3.6/ ինտեգրալը  $L_1 + P_1 P_2$  և  $L_2 + P_2 P_1$  փակ կոնտուր-  
ներով՝

$$\int_{L_1} \sqrt{\epsilon_1 \mu_1} \vec{E}_1 d\vec{l} + \int_{P_1}^{P_2} \sqrt{\epsilon_1 \mu_1} \vec{E}_1 d\vec{l} = 0$$

և

$$\int_{L_2} \sqrt{\epsilon_2 \mu_2} \vec{E}_2 d\vec{l} + \int_{P_2}^{P_1} \sqrt{\epsilon_2 \mu_2} \vec{E}_2 d\vec{l} = 0$$

Փոխենք երկրորդ հավասարման մեջ երկրորդ ինտեգրալի սահմանների  
տեղերը, գումարենք ստացված հավասարումն առաջինին և միավորենք  $L_1$ -ով  
և  $L_2$ -ով ինտեգրումները՝ ի նկատի ունենալով, որ  $L_1 + L_2 = L$ : Ար-  
դյունքում կստանանք

$$\int_L \sqrt{\epsilon \mu} \vec{E} d\vec{l} + \int_{P_1}^{P_2} [\sqrt{\epsilon_1 \mu_1} \vec{E}_1 - \sqrt{\epsilon_2 \mu_2} \vec{E}_2] d\vec{l} = 0 \quad /1.3.8/$$

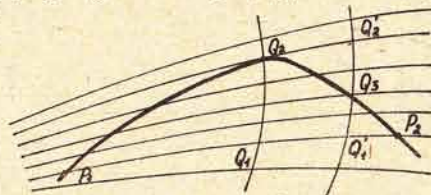
հավասարումը, որում վերջին ինտեգրալը հավասար է զրոյի՝ համաձայն Բեկման օրենքի /տես /1.3.2/-ը/: Այսպիսով, /1.3.8/ հավասարումը համընկավ /1.3.6/-ին և, հետևաբար, վերջինս իրավացի է նաև այն դեպքում, երբ  $L$  կոնտուրը հատում է երկու միջավայրերի Բաժանման սահմանը:

Կիրառենք /1.3.6/ հավասարությունը Ֆերմայի սկզբունքի ապացուցման համար: Այս սկզբունքը պնդում է, որ իրական ճառագայթի վրա գտնվող ցանկացած  $P_1$  և  $P_2$  կետերի միջև եղած օպտիկական

$$\Psi(P_2) - \Psi(P_1) = \int_P \sqrt{\epsilon \mu} dl$$

ժամապարհը /տես /1.2.3/-ը/ ամենակարճն է այս երկու կետերը միացնող կորի ընտանիքում:

Դիտարկենք նկ. 4-ում պատկերված ճառագայթային խողովակը:



Նկ. 4

Նկ. 4-ում երկու հարևան ալիքային ճակատներ հատվում են  $P_1, Q_2, Q_1', P_2$  իրական ճառագայթի հետ  $Q_1$  և  $Q_1'$  կետերում: Հեմմատենք  $P_1, Q_2, Q_1', P_2$  օպտիկական ճանապարհը կամայական  $P_1, Q_2, Q_3, P_2$  կորի հետ, որը հատվում է այս նույն ալիքային ճակատների հետ  $Q_2$  և  $Q_3$  կետերում: Կիրառենք /1.3.6/ ինտեգրալ հայտանիշը նկ. 4-ում պատկերված  $Q_2, Q_3, Q_1'$  եռանկյունու նկատմամբ՝

$$(\sqrt{\epsilon \mu} \vec{E} d\vec{l})_{Q_2, Q_1} + (\sqrt{\epsilon \mu} \vec{E} d\vec{l})_{Q_3, Q_2} + (\sqrt{\epsilon \mu} \vec{E} d\vec{l})_{Q_1', Q_3} = 0 \quad /1.3.9/$$

/1.3.9/ հավասարման մեջ երրորդ գումարելին վերցված է իրական ճառագայթի վրա և ուղղված է հակառակ, հետևաբար այն հավասար է  $-(\sqrt{\epsilon \mu} d\vec{l})_{Q_3, Q_1'}$ -ի: Սկալյար արտադրանքի ձևակերպումից հետևում է, որ

$$(\sqrt{\epsilon \mu} \vec{E} d\vec{l})_{Q_2, Q_3} \leq (\sqrt{\epsilon \mu} d\vec{l})_{Q_2, Q_3}$$

Վերջապես, քանի որ  $\vec{E}$  վեկտորն ուղղահայաց է  $d\vec{l}$ -ին ալիքային ճակատի վրա, /1.3.9/ հավասարման երկրորդ գումարելին հավասար է զրոյի: Ալիքային ճակատի հասկացության ձևակերպումից /տես /1.2.1/-ը/ հետևում է, որ

$$(\sqrt{\epsilon \mu} d\vec{l})_{Q_2, Q_1'} = (\sqrt{\epsilon \mu} d\vec{l})_{Q_1, Q_2}$$

և, ի վերջո, /1.3.9/-ից ստանում ենք;

$$(\sqrt{\epsilon \mu} d\vec{l})_{Q_1, Q_1'} \leq (\sqrt{\epsilon \mu} d\vec{l})_{Q_2, Q_3} \quad /1.3.10/$$

Ինտեգրելով /1.3.10/ հավասարության ձախ մասը  $P_1, Q_1, Q_1', P_2$ , իսկ աջը՝  $P_1, Q_2, Q_3, P_2$  կորերով՝ կստանանք.

$$\int_{P_1, Q_1, Q_1', P_2} \sqrt{\epsilon \mu} dl \leq \int_{P_1, Q_2, Q_3, P_2} \sqrt{\epsilon \mu} dl \quad /1.3.11/$$

/1.3.11/-ում հավասարության նշանը կորվի միայն այն դեպքում, երբ  $\vec{E}$  և  $d\vec{l}$  վեկտորների ուղղությունները համընկնեն  $P_1, Q_2, Q_3, P_2$  կորի Բոլոր կետերում, այսինքն, եթե այն իրական ճառագայթ է: Այս դեպքում Բացաված է, քանի որ հենց սկզբից մենք դիտարկում էինք ճառագայթի կարգավորված ափսոսանք, ուր յուրաքանչյուր կետով անցնում է սուսկ մի ճառագայթ:

Այսպիսով, /1.3.11/-ում հավաստի է միայն անհավասարության նշանը. Ֆերմայի սկզբունքն ապացուցված է:

Ապացուցման ընթացքում մենք ոչ մի էական սահմանափակում չդրեցինք միջավայրի Բեկման ցուցիչի վարքի վրա: Ավելին՝ մենք ցույց տվեցինք, որ Լագրանժի ինվարիանտության հայտանիշը, որի վրա հիմնված էր այդ ապացույցը, հավաստի է ոչ միայն այն դեպքերում, երբ միջավայրի Բեկման ցուցիչը կոորդինատներից կախված անընդհատ ֆունկցիա է, այլև երբ այն ունի խզումներ: Իրոք, Ֆերմայի սկզբունքին համապատասխանում են և՛ անըզրոարժեք, և՛ Բեկման ճառագայթների տարածման օրենքները:

#### 1.4. Երկրաչափական օպտիկայի մոտավորության

##### Կիրառելիության պայմանները

Երկրաչափական օպտիկայի մոտավորության կիրառելիության հարցը սերտորեն առնչվում է ալիքի մոնոքրոմատիկության աստիճանի հետ: Հարթ մոնոքրոմատիկ ալիքը, ըստ ձևակերպման, ունի հաստատուն ամպլիտուդ և անվերջ է տարածության ու ժամանակի մեջ: Եթե ալիքի ամպլիտուդը, ժամանակից կախված, փոփոխվում է, այն կարող է լինել մոնոքրոմատիկ միայն այս կամ այն չափով:

Դիտարկենք էլեկտրամագնիսական ալիք, որի ամպլիտուդը ֆունկցիա է և ժամանակից, և կոորդինատից: Եթե գոյություն ունի ինչ-որ միջին համախոլություն, ապա այս ալիքը կարելի է նկարագրել հետևյալ կերպ՝

$$\vec{E}_0(\vec{r}, t) e^{-i\omega t} \quad /1.4.1/$$

/1.4.1/ Բանաձևով նկարագրվող ալիքի  $\vec{E}_0(\vec{r})$  Ֆուրյե պատկերը կլի-

նի



$$\vec{E}_\omega(\vec{r}) = \int_{-\infty}^{+\infty} \vec{E}_0(\vec{r}, t) e^{i(\omega - \omega_0)t} dt \quad /1.4.2/$$

Եթե /1.4.2/ արտահայտության մեջ  $\vec{E}_0(\vec{r}, t)$  -ն հաստատուն է, ապա  $\vec{E}_\omega(\vec{r}) = 0$ : Եթե  $\Delta t \sim \frac{1}{\omega - \omega_0}$  ժամանակահատվածում այն փոփոխվում է դանդաղ,  $\vec{E}_\omega$  -ն զրոյից քիչ տարբերվող մեծություն է: Այսպիսով, եթե  $\Delta t$  ժամանակահատվածում  $\vec{E}_0(\vec{r}, t)$  -ն փոփոխվի զգալիորեն, ապա համարվում են ներքին  $\Delta \omega$  միջակայքում, որի համար դիտվող ինտենսիվություններ ունեն նկատելի արժեքներ, կորոշվի

$$\Delta \omega \Delta t \geq 1 \quad /1.4.3/$$

առնչությունից: Այսպիսով, որքան ավելի փոքր է  $\Delta \omega$  մեծությունը /որքան ավելի մոնոքրոմատիկ է ալիքը/, այնքան ավելի մեծ կլինի  $\Delta t$  -ն, և, հետևաբար, փոքր՝ ամպլիտուդի փոփոխման արագությունը:

Նման առնչություններ կարելի է ստանալ և ալիքային վեկտորի համար: Իրոք՝  $\vec{E}_0(\vec{r}, t) e^{i\vec{k}\vec{r}}$  ալիքի Ֆուրյե-պատկերը հետևյալն է՝

$$\vec{E}_k(\vec{r}) = \int \vec{E}_0(\vec{r}, t) e^{i(\vec{k}_0 - \vec{k})\vec{r}} d\vec{r} \quad /1.4.5/$$

Համաձայն դատողություններով կարելի է գրել.

$$\Delta k_x \Delta x \geq 1, \quad \Delta k_y \Delta y \geq 1, \quad \Delta k_z \Delta z \geq 1 \quad /1.4.6/$$

/1.4.3/ և /1.4.6/ առնչությունները քվանտային մեխանիկայի հիմքում ընկած անորոշությունների առնչություններն են:

Ենթադրենք՝ մտադրվում են սկսվել է ժամանակի  $t = t_0$  պահին և վերջացել  $t = t_0 + \Delta t$  -ին: Վերն ասվածից հետևում է, որ ամպլիտուդի էական փոփոխության ժամանակը /զրոյից մինչև  $\vec{E}_0$  և ապա՝ զրո/  $\Delta t$  է, և հետևաբար նրա մոնոքրոմատիկության աստիճանը  $\Delta \omega = |\omega - \omega_0| = \frac{1}{\Delta t}$  է: Կիրառել  $\Delta \omega \Delta t \geq 1$ :

Երկրորդ՝ /1.4.6/ առնչությունից հետևում է՝

$$\Delta k_x \geq \frac{1}{\Delta x}, \quad \Delta k_y \geq \frac{1}{\Delta y}, \quad \Delta k_z \geq \frac{1}{\Delta z}, \quad /1.4.7/$$

այսինքն՝ դիտարկվում է վերջավոր չափերի մտադրված ֆունկցիան /մտադրված ֆունկցիան խողովակ/, ըստ որում, մտադրվածների տարածման ուղղությունն այդ ֆունկցիան չի կարող լինել ստույգ հաստատուն, ինչպես պահանջում է  $\Delta \omega$ -ն: Օրինակ, եթե մտադրված ուղղված է  $z$  -ով / $\Delta k_x = 0, \Delta z \rightarrow \infty$ /, ապա՝

$$\Delta \theta_x \sim \frac{1}{k \Delta x} \sim \frac{1}{\Delta x}, \quad \Delta \theta_y \sim \frac{1}{k \Delta y} \sim \frac{1}{\Delta y}, \quad /1.4.8/$$

որտեղ  $\Delta \theta_x$ -ը և  $\Delta \theta_y$  -ը մտադրված ուղղությունից շեղումներն են միջին

$z$  ուղղությունից  $x$  և  $y$  հարթությունների մեջ /1.4.7/-ից /1.4.8/-ը ստանալու համար Բաժական է հիշել, որ  $k_x = k \sin \theta \cos \varphi$  և  $k_y = k \sin \theta \sin \varphi$  ու շեղման փոքր անկյունների համար փոխարինել  $\sin \theta \sim \theta$  -ով.  $x$  հարթությունը  $\varphi = 0$  հարթությունն է,  $y$  հարթությունը՝  $\varphi = \frac{\pi}{2}$  -ը/:

Այսպիսով՝ որքան ավելի մեծ լինեն  $\Delta t$ ,  $\Delta x$  և  $\Delta y$  միջակայքերը, այնքան ավելի մեծ կլինի ալիքի մոնոքրոմատիկության աստիճանը, այնքան ավելի ուղղագիծ այն կտարածվի, այսինքն՝ այնքան ավելի հիմնավորված կդառնա  $\Delta \omega$ -ի մոտավորության կիրառումը:

Մասնավորապես՝ /1.4.8/ առնչությունից հետևում է, որ ալիքի տարածման ուղղության շեղման մեծությունը համեմատական է ալիքի  $\lambda$  երկարությանը:  $\lambda = 0$  դեպքը /երբ ցանկացած վերջավոր չափերի մտադրված ֆունկցիան կտարածվեր ստույգ ուղղագիծ մաթեմատիկական /երկրաչափական/ իդեալականացում է, որին համապատասխանում է  $\Delta \omega = 0$  -ն:

/1.4.8/ առնչության ֆիզիկական բովանդակությունը լավ է պարզաբանում հետևյալ փորձով: Դիցուք՝ հարթ, կլանող էկրանի  $\Delta x$ ,  $\Delta y$  Բացվածքին, նրա հարթությունը ուղղահայաց՝  $z$  ուղղությամբ ընկնում է իդեալական, մոնոքրոմատիկ հարթ ալիք: /1.4.8/ առնչություններից հետևում է, որ  $\lambda = 0$  դեպքում էկրանի սավերող կողմում կդիտվեր սկզբնական հարթ ալիքի՝  $\Delta x$ ,  $\Delta y$  լայնական չափերով սահմանափակված համակարգ, իսկ ալիքի ցանկացած վերջավոր երկարության դեպքում այն կտարածվի, ըստ որում՝ տարամիտության աստիճանը կորոշվի /1.4.8/ առնչություններից: Նկարագրված երևույթը անվանվում է ալիքի դիֆրակցիա: Այն մանրամասնորեն կքննարկենք հաջորդ գլխում: /1.4.8/ առնչություններից հետևում է, որ որքան ավելի փոքր լինի ալիքի երկարությունը /որքան ավելի մեծ՝  $\Delta x$ ,  $\Delta y$  չափերը/, այնքան ավելի փոքր կլինեն դիֆրակցիոն էֆեկտները և հիմնավորված՝  $\Delta \omega$ -ի կիրառումը:

Այսպիսով,  $\Delta \omega$ -ի օրենքների սահմանափակությունը պայմանավորված է այն հետևանքներով, որոնք առաջանում են, երբ ալիքի երկարությունը ենթադրվում է անվերջ փոքր: Այս ենթադրությունը, մասնավորապես, բերում է խիստ էական հակասությունների վերը ձևակերպված /տես § 1.2/ երկրաչափաօպտիկական հակացություններում:

Իրոք, համաձայն մտադրված ֆունկցիան խողովակում գործող ինտենսիվությունների օրենքի /տես /1.2.12-ը/, այն կետերում, կամ այն մակերևույթների վրա, որտեղ մտադրված ֆունկցիան խողովակի լայնական կտրվածքը անվերջ նեղանում է /կիզակետեր կամ կաուստիկներ/  $\Delta \omega$ -ի մտադրված ամպլիտուդը ձգտում է անվերջության /տես, օրինակ, /1.2.14/ օրենքը, երբ  $R_1 \rightarrow 0, R_2 \rightarrow 0$ /: Ավելին՝ կարելի է ցույց տալ, որ կաուստիկի մոտով անց-

նելիս  $\infty$  մտազայթի էլքոնալն ունի խզում: Իրական, վերջավոր ալիքի երկարության դեպքում, հասկանալի է, որ մտազայթային խողովակի լայնական կտրվածքը փոքրանալով, կուլեննա միշտ վերջավոր մեծություն կառուստիկի վրա և հետևաբար կդիտվի միայն ամպլիտուդի, երբեմն շատ էական, Բայց միշտ վերջավոր ամ /առում են՝ մտազայթների կիզակետում/:

Այսպիսով,  $\infty$ -ի օրենքներն ու հասկացությունները կորցնում են իրենց ֆիզիկական իմաստը կառուստիկներին անմիջականորեն հարող տիրույթներում /և նրանց վրա/ և իրենց սկզբնական ձևով կիրառելի չեն այնտեղ:

Այնուամենայնիվ,  $\infty$ -ն կարող է արդյունավետ լինել նաև կառուստիկական տիրույթներում: 3-րդ գլխում ցույց կտրվի, թե ինչպես կարելի է ձևափոխել  $\infty$ -ի տեսությունը, որպեսզի այն կարողանա նկարագրել ֆիզիկական երևույթները կառուստիկական տիրույթներում և սրանցից հեռու՝ համապատասխանի  $\infty$  պատկերացումներին /հավասարաչափ  $\infty$ /: Կարծ ալիքների ենթադրությունը  $\infty$ -ի կիրառելիությունն անհրաժեշտ, Բայց ոչ Բավարար պայմանն է: Իրոք, սահմանափակվելով /1.1.2/ և /1.1.9/ վերլուծություններում միայն գրոյական մոտավորության անդամներով, և հետևաբար ենթադրելով, որ  $\kappa \rightarrow \infty$  /  $\lambda \rightarrow 0$ /, մենք միտումնավոր կերպով հաշվի չառանք այն հանգամանքը, որ գործնականում  $\infty$ -ն կիրառվում է, միշտ է, շատ կարճ, սակայն վերջավոր երկարության ալիքների դեպքում և, քանի որ գրոյական մոտավորության /1.1.7/ և /1.1.16/ լուծումները Հելմհոլցի և մաքսվելի հավասարումների ճշգրիտ լուծումները չեն, ապա արդյունքում կարող է ստացվել սխալների կուտակում: Ռեալ ֆիզիկական խնդիրներում այս սխալի գնահատականը պետք է կարողանաք տալ  $\infty$ -ի կիրառելիության Բավարար պայմանները:

Գնահատել նշված սխալի մեծությունն այնքան էլ հեշտ չէ, քանի որ միշտ չէ, որ գոյություն ունի դիտարկվող խնդրի ճշգրիտ լուծումը: Որոշակի գնահատումներ կարելի է անել՝ պահանջելով, որ սպասվելիք սխալը լինի ոչ ավելի մեծ, քան /1.1.2/ և /1.1.9/ վերլուծությունների առաջին՝ արհամարիող, և գրոյական անդամների Բացարձակ արժեքների հարաբերությունը: Նշանակենք այս մեծությունը  $\delta$ -ով և գրենք

$$\delta \leq \left| \frac{A_1}{\kappa A_0} \right|, \quad \delta \leq \left| \frac{\vec{A}_1}{\kappa \vec{A}_0} \right|, \quad \delta \leq \left| \frac{\vec{B}_1}{\kappa \vec{B}_0} \right| \quad /1.4.9/$$

$\infty$ -ի մոտավորության կիրառելիության Բավարար պայմանների որոշման հարցին /1.4.9/ Բանաձևերը տալիս են սուսկ սկզբունքային պատասխան: Այն տրամաբանական է և ունի ֆիզիկական պարզ հիմնավորում: Գործնականում, սակայն, օգտվելը /1.4.9/ պայմաններից դժվար է և կախված է  $A_1$ ,  $\vec{A}_1$ ,  $\vec{B}_1$ , ամպլիտուդների հաշվարկի հետ, որն ինքնին Բարդ մաթեմատիկական խնդիր է:

Հարցի պատասխանը կարելի է փնտրել ու գտնել նաև էվրիստիկական եղանակով՝ մտցնելով տարածության մեջ ալիքի վերջավոր երկարություն ունեցող մտազայթի լուկալիզացման պայմանը:

Դիցուք՝ կետային  $P_1$  աղբյուրը և դիտման  $P_2$  կետը որոշված են համապատասխանորեն  $\vec{z}_1$  և  $\vec{z}_2$  շառավիղ-վեկտորներով:  $P_1$  և  $P_2$  կետերը միացնող օպտիկական մանապարհը /էլքոնալը/ անվանենք այն իրական մտազայթը, որը որոշվում է /1.2.8/ Բանաձևով՝

$$\Psi(P_2) - \Psi(P_1) = \int_{P_1}^{P_2} \sqrt{\varepsilon r} \, d\ell = \Psi_{\text{իրական}}(\vec{z}_1, \vec{z}_2) \quad /1.4.10/$$

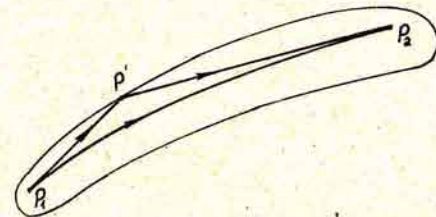
$\Psi$  իրական / $\vec{z}_1, \vec{z}_2$ / մտազայթի մերձակա տիրույթում ընտրենք որևէ  $P'$  կետ, որի շառավիղ-վեկտորն է  $\vec{z}'$  -ը և անենք մտազայթներ  $P_1$  -ից  $P'$  -ը և ապա՝  $P'$  -ից  $P_2$  -ը: Ստացված  $P_1 P' P_2$  Բեկյալն անվանենք վիրտուալ մտազայթ:

Ակնհայտ է, որ օպտիկական մանապարհը այս մտազայթի երկայնքով հավասար է  $\Psi_{\text{վիրտուալ}}(\vec{z}_1, \vec{z}', \vec{z}_2) = \Psi(\vec{z}_1, \vec{z}') + \Psi(\vec{z}', \vec{z}_2)$  -ի:

Իրական մտազայթի մերձակա տիրույթում կառուցենք

$$\vec{F}(\vec{z}') = \left| \Psi_{\text{վիրտուալ}}(\vec{z}_1, \vec{z}', \vec{z}_2) - \Psi_{\text{իրական}}(\vec{z}_1, \vec{z}_2) \right| - \frac{\lambda}{2} = 0 \quad /1.4.11/$$

մակերևույթը, որին պատկանում են Բոլոր  $P'$  կետերը, պայմանով, որ վիրտուալ ու իրական էլքոնալների օպտիկական մանապարհների տարբերությունը միշտ հաստատուն է և հավասար է ալիքի երկարության կեսին /սկ.5/:



Նկ. 5

Այս մակերևույթը, այսպիսով,  $P_1 P_2$  միջակայքում ֆրենելի առաջին գոտիների պարուրիչն է, իսկ նրանով պարփակված ծավալը՝ մտազայթի ֆրենելյան ծավալը: Այսպիսով՝ եթե մտազայթը ոչ թե երկրաչափական, այլ ֆիզիկական հասկացություն է, ապա ֆրենելյան ծավալը տարածության մեջ սրա լուկալիզացման տիրույթն է: Իրոք, առանձնացնելու համար տվյալ մտազայթը անթափանց էկրանի վրա արված Բացվածքի օգնությամբ, պետք է ընտրել այս Բացվածքի չափմերը ավելի մեծ, քան համապատասխան ֆրենելյան ծավալի լայնական հատույթի չափսերն են, այլապես այս մտազայթով պայմանավորված

դաշտը էապես կաղավաղվի:

Եթե /1.4.11/ հավասարման մեջ վերադառնալ և լրական մտազայթների օպտիկական մանապարհների տարբերությունը ոչ թե  $\frac{1}{2}$  է, այլ  $m\frac{1}{2}$  /որտեղ  $m$  -ը ամբողջ թիվ է/, ապա մենք գործ ունենք Բարձր կարգի Ֆրենելյան գոտիների հետ: Բոլոր այն դեպքերում, երբ ֆրենելյան Բարձր կարգի գոտիների ներդրումները ինտերֆերենցիայի հետևանքով փոխադրծաբար մարում են միմյանց /այս Բանը ֆիզիկական ռեալ խնդիրներում համարյա միշտ տեղի ունի/, արդյունաբար դաշտը որոշվում է մտազայթի մերձավորագույն տիրույթով, այլ խոսքով ասած՝ նրա ֆրենելյան ծավալով: Հենց այս հանգամանքն էլ ի նկատի ունենալով՝ Յ.Ա. Կրավցովը և Յ. Ի. Օռլովը ձևակերպեցին ԵՕ-ի մոտավորության կիրառելիության հետևյալ Բավարար պայմանները.

ա/ մտազայթի ֆրենելյան ծավալի լայնական հատույթում ինչպես միջավայրի, այնպես էլ ալիքի պարամետրերը /միջավայրի Բեկման ցուցիչը, ալիքի ամպլիտուդը և փուլի զրադիենտը/ չպետք է էապես փոփոխվեն:

բ/ դեպի նույն կետն ուղղված մտազայթների ֆրենելյան ծավալները չպետք է էականորեն հասնեն միմյանց հետ:

Նշանակենք մտազայթի ամպլիտուդը  $A$  -ով, ֆրենելյան ծավալի լայնական հատույթի շափսը՝  $a_s$  -ով: Առաջին պայմանը պահանջում է հետևյալ անհավասարությունների կատարումը՝

$$a_s \left| \frac{\partial_x A}{A} \right| \ll 1, \quad /1.4.12, \text{ա}/$$

$$a_s \left| \frac{\partial_x (\partial_x \psi)}{\partial_x \psi} \right| \ll 1, \quad /1.4.12, \text{բ}/$$

$$a_s \left| \frac{\partial_x \sqrt{\epsilon \mu}}{\sqrt{\epsilon \mu}} \right| \ll 1, \quad /1.4.12, \text{գ}/$$

որտեղ  $\partial_x = \vec{\partial} - \vec{\partial} (\vec{r} \vec{\partial})$ , այսինքն՝  $\vec{\partial}$  օպերատորի՝ մտազայթային ուղղահայաց մասը:

Երկրորդ պայմանի համար կարելի է գրել հետևյալ անհավասարությունը՝

$$\delta S \ll S, \quad /1.4.13/$$

որտեղ  $S$  -ը մտազայթի ֆրենելյան ծավալի լայնական հատույթի մակերեսն է,  $\delta S$  -ը ֆրենելի առաջին գոտիների ընդհանուր մասը:

/1.4.12/ և /1.4.13/ անհավասարությունները այն Բավարար պայմաններն են, որոնց դեպքում կիրառելի է ԵՕ-ի մոտավորությունը:

Հետաքրքիր է նշել, որ /1.4.12, ա/ անհավասարությունը փաստորեն

համարժեք է

$$a_s \ll R_{1,2} \quad /1.4.14/$$

անհավասարությանը, որտեղ  $R_{1,2}$  -ը ալիքային մակտի կորույթյան զլխավոր շառավիղներն են: Երբ սկզբնական դաշտը տրված է մակերևույթի վրա, ապա սրանից փոքր /ալիքի երկարության կարգի/ հեռավորության վրա, ֆրենելյան ծավալի լայնական շափսը ալիքի երկարության կարգի է, և /1.4.14/-ը կարվի՝

$$\lambda \ll R_1, \quad \lambda \ll R_2 \quad /1.4.14, \text{ա}/$$

տեսքով: /1.4.14, ա/-ն այն անհրաժեշտ պայմանն էր, որի կատարումը ենթադրել էինք, երբ արտածում էինք մտազայթների Բեկման ու անդրադարձման օրենքները: Տվյալ դեպքում անհրաժեշտ ու Բավարար պայմանները համընկան:

Խնդիրներ

1.  $t=0$  պահին ալիքային մակերևույթի հատույթը  $x = a \cos \varphi$  և  $y = b \sin \varphi$  հավասարումներով որոշվող էլիպս է: Դիցուք՝ ալիքը տարածվում է  $v$  արագությամբ: Որոշել ալիքային մակերևույթի հատույթի տեսքը  $t > 0$  պահին: Դիտարկել երկու դեպք. առաջին՝ ալիքը տարածվում է դեպի էլիպսի ներքը, երկրորդ՝ դեպի դուրս: Քննարկել շրջանագծի դեպքը / $a = b = R$ /: Պատ.

$$x = a \cos \varphi \left\{ 1 \mp \frac{\frac{b}{a} v t}{\sqrt{a^2 \sin^2 \varphi + b^2 \cos^2 \varphi}} \right\},$$

$$y = b \sin \varphi \left\{ 1 \mp \frac{v t}{\sqrt{a^2 \sin^2 \varphi + b^2 \cos^2 \varphi}} \right\}$$

Ցույց տալ, որ ալիքի՝ դեպի ներս տարածվելու դեպքում  $t = \frac{b^2}{av}$  պահին առաջանում են շրջման կետեր:

2. Ստանալ  $t = 0$  պահին նախորդ խնդրում դիտարկված ալիքի կաուստիկի հավասարումը: Քննարկել շրջանագծի դեպքը:

Ցուցում. կաուստիկը որոշվում է որպես / $x, y$ / ալիքային մակերևույթի էվոլյուցիա / $X, Y$ /

$$X = x - \frac{y'(1+y'^2)}{y''}, \quad Y = y + \frac{1+y'^2}{y''}$$

Պատ.

$$x = a \cos \varphi, \quad y = b \sin \varphi \quad \text{Բևեռային կոորդինատական համակարգում}$$

$$X = \frac{a^2 - b^2}{a} \cos^3 \varphi, \quad Y = -\frac{a^2 - b^2}{b} \sin^3 \varphi,$$

կամ

$$a^{2/3} X^{2/3} + b^{2/3} Y^{2/3} = (a^2 - b^2)^{2/3}$$

3. Գլանային հայելու վրա, նրա գլխավոր օպտիկական առանցքին զուգահեռ ընկնում է հարթ ալիք: Որոշել անդրադարձած մառազայթների առաջացած կառուստիկի հավասարումը /գլանային աբերացիա/:

Ցուցում. օգտվել նախորդ խնդրի ցուցումից՝ նախապես ստանալով

$x = R_0 \cos \varphi, \quad y = R_0 \sin \varphi$  հավասարումներով որոշվող գլանից անդրադարձած մառազայթների հավասարումը:

Պատ.

$$X = R_0 \cos \varphi \left(1 - \frac{\cos 2\varphi}{2}\right), \quad Y = R_0 \sin^3 \varphi$$

4.  $y^2 = ax$  պարբոլային գլանի վրա՝ նրա գլխավոր օպտիկական առանցքի նկատմամբ  $\alpha$  ուղղությամբ ընկնում է հարթ ալիք: Որոշել անդրադարձած մառազայթների առաջացած կառուստիկի հավասարումը: Քննարկել  $\alpha > 0$ ,  $\alpha = 0$  և  $\alpha < 0$  դեպքերը և ցույց տալ, որ  $\alpha = 0$ -ի դեպքում առաջացած կառուստիկը /կիզակետը/ անկայուն գոյացություն է:

Պատ.

$$X = x \left\{ 1 - \frac{2 \sin(\beta - \alpha)}{\sin 2\beta \cos \beta} \cos(2\beta - \alpha) \right\},$$

$$Y = x \left\{ 2 \operatorname{tg} \beta - \frac{2 \sin(\beta - \alpha)}{\sin 2\beta \cos \beta} \sin(2\beta - \alpha) \right\}, \quad \text{որտեղ } \operatorname{tg} \beta = \frac{1}{2} \sqrt{\frac{a}{x}}$$

Առաջին գլխի գրականությունը

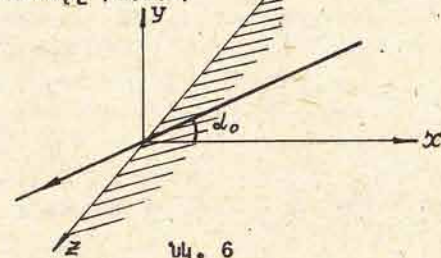
1. С.М.Рытов. ДАН СССР, т.ХУШ, № 4,5, 1938.
2. М.Борн, Э.Вольф. Основы оптики. М., Наука, 1973.
3. Л.Д.Ландау, Е.М.Лифшиц. Теория поля. М., Наука, 1973.
4. В.И.Смирнов. Курс высшей математики. М., ГИТТЛ, т.П (гл.У).

ԵՐԿՐԱԶԱՓԱԿԱՆ ՕՊՏԻԿԱՅԻ ՄՈՏԱՎՈՐՈՒԹՅՈՒՆԸ

ԴԻՖՐԱԿՑԻԱՅԻ ԽՆԴԻՐՆԵՐՈՒՄ

2.1. Հարթ ալիքի դիֆրակցիան կիսահարթության եզրին /Ջոմերֆելդի խնդիրը/ Խնդրի դրվածքը և լուծման սկզբնականը

Դիցուք՝ հարթ էլեկտրամագնիսական ալիքը  $d_0$  ուղղությամբ ընկնում է /նկ.6/ անկերջ Բարակ իդեալական կիսահարթության /  $y=0$ ,  $x > 0$ ,  $z$  / եզրին՝ վերջինիս ուղղահայաց: Դժվար է տեսնել, որ այս դեպքում խնդիրն ընդունում է երկչափ բնույթ: Իրոք, գրենք Մաքսվելի հավասարումները /1.1.8/



Նկ. 6

էլեկտրական ու մագնիսական դաշտերի Բաղադրիչների տեսքով /  $\varepsilon = \mu = 1$  /.

$$\begin{aligned} \frac{\partial E_z}{\partial y} - \frac{\partial E_y}{\partial z} &= ik H_x, & \frac{\partial H_z}{\partial y} - \frac{\partial H_y}{\partial z} &= -ik E_x, \\ \frac{\partial E_x}{\partial z} - \frac{\partial E_z}{\partial x} &= ik H_y, & \frac{\partial H_x}{\partial z} - \frac{\partial H_z}{\partial x} &= -ik E_y, \\ \frac{\partial E_y}{\partial x} - \frac{\partial E_x}{\partial y} &= ik H_z, & \frac{\partial H_y}{\partial x} - \frac{\partial H_x}{\partial y} &= -ik E_z \end{aligned} \quad /2.1.1/$$

Խնդրի դրվածքից հետևում է, որ /2.1.1/ հավասարումների լուծումները  $x$  կոորդինատից կախած չեն, և անսնյալները ըստ այս կոորդինատի, դեռ է հավասարեցնել զրոյի: Աստանք՝

$$\begin{aligned} \frac{\partial E_x}{\partial y} &= ik H_x, & \frac{\partial H_z}{\partial y} &= -ik E_x, \\ \frac{\partial E_z}{\partial x} &= -ik H_y, & \frac{\partial H_x}{\partial x} &= ik E_y, \\ \frac{\partial E_y}{\partial x} - \frac{\partial E_x}{\partial y} &= ik H_z, & \frac{\partial H_y}{\partial x} - \frac{\partial H_x}{\partial y} &= -ik E_z \end{aligned} \quad /2.1.1,ա/$$

Հավասարումների /2.1.1, ա/ համակարգը տարբաժանվում է երկու անկախ համակարգերի՝

$$\frac{\partial E_z}{\partial y} = ik H_x, \quad \frac{\partial E_z}{\partial x} = -ik H_y, \quad \frac{\partial H_y}{\partial x} - \frac{\partial H_x}{\partial y} = -ik E_z, \quad /2.1.2/$$

$$\frac{\partial H_z}{\partial y} = -ik E_x, \quad \frac{\partial H_z}{\partial x} = ik E_y, \quad \frac{\partial E_y}{\partial x} - \frac{\partial E_x}{\partial y} = ik H_z \quad /2.1.3/$$

/2.1.2/ հավասարումներից առաջինն ու երկրորդը տեղադրելով երրորդում՝ կստանանք

$$\frac{\partial^2 E_z}{\partial x^2} + \frac{\partial^2 E_z}{\partial y^2} + k^2 E_z = 0 \quad /2.1.2, ա/$$

հավասարումը: նույն ձևով /2.1.3/-ից ստացվում է

$$\frac{\partial^2 H_z}{\partial x^2} + \frac{\partial^2 H_z}{\partial y^2} + k^2 H_z = 0 \quad /2.1.3, ա/$$

հավասարումը: /2.1.2/ հավասարումներով որոշվող էլեկտրամագնիսական ալիքներն անվանենք էլեկտրական՝  $E$  տիպի ալիքներ, իսկ /2.1.3/-ով որոշվողը՝ մագնիսական  $H$  տիպի: թե  $E$ , թե  $H$  տիպի ալիքների համար կարելի է գրել մեկ ընդհանուր հավասարում՝

$$\frac{\partial^2 V}{\partial x^2} + \frac{\partial^2 V}{\partial y^2} + k^2 V = 0, \quad /2.1.4/$$

որի տարրական լուծումն ունի

$$e^{ik(x \cos \alpha + y \sin \alpha)} \quad /2.1.5/$$

տեսքը: Քեևոային կոորդինատական համակարգում, որտեղ  $x = r \cos \theta$ ,

$y = r \sin \theta$ ,  $0 \leq \theta \leq 2\pi$  : /2.1.5/ արտահայտությունը կընդունի

$$e^{ikr \cos(\theta - \alpha)} \quad /2.1.5, ա/$$

տեսքը:

Խնդրի հետագա լուծումը հարմար է փնտրել կոմպլեքս փոփոխականների տեսության մեթոդներով: Եթե ենթադրենք, որ  $\alpha$  փոփոխականն ընդունում է կոմպլեքս արժեքներ՝  $\alpha \rightarrow \alpha_0 + i\beta$ , ապա /2.1.5/ արտահայտությունը կընդունի

$$e^{ikr \cos(\theta - \alpha_0 - i\beta)} = e^{ikr \cos(\theta - \alpha_0) \cosh \beta - kr \sin(\theta - \alpha_0) \sinh \beta} \quad /2.1.6/$$

տեսքը, որն անհամասեռ հարթ ալիք է, երբ հավասար փուլերի հարթությունը /ալիքային ճակատ/ ուղղահայաց է տարածման ուղղությունը, իսկ հավասար ամպլիտուդների հարթությունը, ի տարբերություն համասեռ հարթ ալիքների, գուլգահեռ է այս ուղղությունը: Անհամասեռ հարթ ալիքը / $\beta \neq 0$ / վերջնական լուծման մեջ որևէ ներդրում չունի, սակայն այս հասկացությունը խիստ օգտակար է էկրանի եզրին մոտիկ տիրույթներում մակածված

հոսանքների վարքը Յզգաորեն նկարագրելու համար:

Ինչպես  $E$ , այնպես էլ  $H$  տիպի ալիքների համար խնդրի լուծումը փնտրվում է որպես  $\alpha$  կոմպլեքս հարթության վրա /2.5.1.5, ա/ տիպի անհամասեռ ալիքների գծային վերադրում /ուլտերպոզիցիա/՝

$$\int P(\cos \alpha) e^{ikr \cos(\theta - \alpha)} d\alpha \quad /2.1.7/$$

և հանգում է  $C$  կոնտուրի հարմար ընտրությամբ և եզրային պայմանների Քավարելուն՝ համապատասխանորեն  $E$  և  $H$  տիպի ալիքների համար: Այն հանգամանքը, որ լուծվում է դիֆրակցիոն խնդիր, այն է՝ զոյուլթյուն ունի կտրուկ ընդհատում խնդրի պարամետրերի միջև  $x = 0$ ,  $y = 0$  գծի վրա, անհրաժեշտաբար հանգեցնում է /2.1.7/ տիպի դաշտերի և սրանց կողմից  $y = 0$ ,  $x > 0$  կիսահարթության վրա մակածված հոսանքների համար երկու տիպի եզրային պայմանների՝ այն է՝ դաշտերի համար եզրային պայմանների Քավարմանը  $x > 0$ ,  $y = 0$  իդեալական հաղորդիչի վրա, և մակածված հոսանքների Քացակայության պայմանը  $x < 0$  տիրույթում: Ըստացվող ինտեգրալ հավասարումները, երբ փնտրվող  $P(\cos \alpha)$  Ֆունկցիան  $X$  պարամետրի փոփոխման երկու տարբեր տիրույթներում / $X < 0$  և  $X > 0$ / Քավարում են երկու տարբեր հավասարումների, կոչվում են կրկնակ ինտեգրալ հավասարումներ:

Կանգ շտնելով այս հավասարումների լուծմանն առնչվող մանրամասների վրա՝ Երենքը խնդրի լուծման վերջնական տեսքը: Այն է՝

$$E_z = \frac{e^{-i\frac{\pi}{4}}}{\sqrt{\pi}} e^{ikr} \{G(u) - G(v)\} \quad /2.1.8/$$

$E$  տիպի ալիքների կամ  $E$  Քեևոացման համար և

$$H_z = \frac{e^{-i\frac{\pi}{4}}}{\sqrt{\pi}} e^{ikr} \{G(u) + G(v)\} \quad /2.1.9/$$

$H$  Քեևոացման համար:

/2.1.8/ և /2.1.9/ արտահայտություններում՝

$$G(x) = e^{-ix^2} F(x), \quad F(x) = \int_x^\infty e^{i\mu^2} d\mu, \quad /2.1.10/$$

$$u = -\sqrt{2kr} \cos \frac{\theta - \alpha_0}{2}, \quad v = -\sqrt{2kr} \cos \frac{\theta + \alpha_0}{2}$$

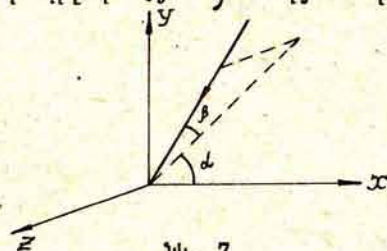
$F(x)$ -ը ֆրենելի Ֆունկցիայի արտահայտության տարածված ձևերից մեկն է:

Դիֆրակցված դաշտի մյուս Քաղաղիչները  $H_x$ -ը,  $H_y$ -ը  $E$  Քեևոացված ալիքների համար և  $E_x$ -ը,  $E_y$ -ը  $H$  Քեևոացված ալիքների համար կստացվեն համապատասխանաբար /2.1.2/ և /2.1.3/ հավասարումներից: Այժմ ընդհանրացնենք ստացվածը եռաչափ դեպքի համար: Դիցուք ընկ-

նող ալիքը բնութագրվում է

$$U = \exp[-ik(x \cos \alpha_0 \cos \beta + y \sin \alpha_0 \cos \beta + z \sin \beta)] \quad /2.1.11/$$

փուլային բազմապատկիչով:  $\alpha_0$  և  $\beta$  անկյունները ցույց են տրված նկ. 7-ի վրա:



նկ. 7

նկատենք, որ /2.1.11/ արտահայտությունը կտացվի երկշափ դեպքից, որը համապատասխանում է  $\beta = 0$ -ին, եթե վերջինում փոխարինենք  $K \rightarrow K \cos \beta$  և բազմապատկենք  $e^{-iKz \sin \beta}$ : հրոք՝

$$\frac{\partial^2 U}{\partial x^2} + \frac{\partial^2 U}{\partial y^2} + \frac{\partial^2 U}{\partial z^2} + K^2 U = 0$$

և

$$\frac{\partial^2 V}{\partial x^2} + \frac{\partial^2 V}{\partial y^2} + K^2 \cos^2 \beta V = 0 \quad /2.1.12/$$

հավասարումները նույնանում են նման ձևափոխություններից հետո: Ավելին, հեշտությամբ կարելի է ցույց տալ, որ երկու էլեկտրամագնիսական ալիքները, որոնք բավարարում են Մաքսվելի հավասարումներին, կլինեն  $E$  Բեռնոցման համար՝

$$\vec{E} = \left( -\frac{i \sin \beta}{K} \frac{\partial U}{\partial x}, -\frac{i \sin \beta}{K} \frac{\partial U}{\partial y}, \cos^2 \beta U \right) \quad /2.1.13/$$

$$\vec{H} = \left( -\frac{i}{K} \frac{\partial U}{\partial y}, \frac{i}{K} \frac{\partial U}{\partial x}, 0 \right)$$

Բեռնոցման համար՝

$$\vec{E} = \left( \frac{i}{K} \frac{\partial U}{\partial y}, -\frac{i}{K} \frac{\partial U}{\partial x}, 0 \right)$$

$$\vec{H} = \left( -\frac{i \sin \beta}{K} \frac{\partial U}{\partial x}, -\frac{i \sin \beta}{K} \frac{\partial U}{\partial y}, \cos^2 \beta U \right) \quad /2.1.14/$$

Երբ  $\beta = 0$ , /2.1.13/ և /2.1.14/ դաշտերը վերածվում են երկշափ խնդրի համար ստացվող արտահայտություններին: Ընդհանրացման նման պարզ եղանակը պայմանավորված է նրանով, որ ցանկացած հարթ էլեկտրամագնիսական դաշտ այլասերված է. այն կարող է որոշվել  $\vec{E}$  և  $\vec{H}$  վեկտորների երկու բաղադրիչներով, երբ երրորդ բաղադրիչը որոշվում է

$\text{div} \vec{E} = 0$  կամ  $\text{div} \vec{H} = 0$  հավասարումներից:

Բանի որ /2.1.12/ հավասարումը  $K \rightarrow K \cos \beta$  փոխարինմամբ բերվում է /2.1.4/-ի տեսքի, ապա դիֆրակցիայի եռաշափ խնդրը, երբ ընկնող ալիքն այլևս ուղղահայաց չէ կիսահարթության եզրին, կլուծվի միանգամայն համաբնորոշում և արդյունքը կհամընկնի /2.1.8/-ին կամ /2.1.9/-ին, եթե վերջիններում ենթադրենք, որ  $K = K \cos \beta$ , իսկ իրենք՝ արտահայտությունները բազմապատկենք  $e^{-iKz \sin \beta}$ -ով: Այսպիսով, հաշվի առնելով /2.1.13/-ը և /2.1.14/-ը  $E$  Բեռնոցման դեպքում ստանում ենք

$$E_z = \frac{e^{-i\frac{Kz}{\cos \beta}}}{\sqrt{\pi}} \cos \beta e^{iK(x \cos \beta - z \sin \beta)} \{G(\rho) - G(\rho)\} \quad /2.1.15/$$

և  $H$  Բեռնոցման դեպքում՝

$$H_z = \frac{e^{-i\frac{Kz}{\cos \beta}}}{\sqrt{\pi}} \cos \beta e^{iK(x \cos \beta - z \sin \beta)} \{G(\rho) + G(\rho)\} \quad /2.1.16/$$

արտահայտությունները,

$$\rho = -\sqrt{2Kz \cos \beta} \cos \frac{\theta - \alpha_0}{2}, \quad \rho = -\sqrt{2Kz \cos \beta} \cos \frac{\theta + \alpha_0}{2} \quad /2.1.17/$$

## 2.2. Չոմերձելի խնդրի լուծման կարծախիբային մոտարկումը

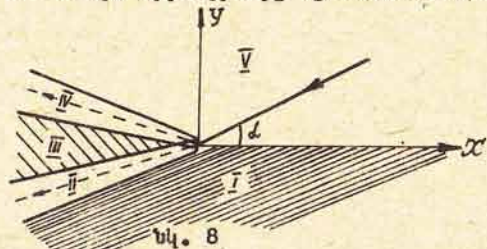
Քննարկենք  $E$  Բեռնոցմանը համապատասխանող /2.1.8/ դաշտի վարքը, երբ  $Kz \gg 1$  /կարծ ալիքների դեպքը/: Երբ  $Kz \gg 1$ , ապա  $u \gg 1$  և  $v \gg 1$  Բացառությամբ  $\theta = \pi - \alpha_0$  և  $\theta = \pi + \alpha_0$  ուղղությունների, որտեղ Ֆրենելի Ֆունկցիաների արգումենտները վերածվում են զրոյի: Արտագրենք /2.1.8/ արտահայտությունը առավել բացահայտ տեսքով՝ օգտվելով /2.1.10/ նշանակումներից: Կստանանք՝

$$E_z = \frac{e^{-i\frac{Kz}{\cos \beta}}}{\sqrt{\pi}} \left\{ e^{-iKz \cos(\theta - \alpha_0)} F[-\sqrt{2Kz} \cos \frac{\theta - \alpha_0}{2}] - e^{-iKz \cos(\theta + \alpha_0)} F[-\sqrt{2Kz} \cos \frac{\theta + \alpha_0}{2}] \right\} \quad /2.2.1/$$

/2.2.1/ տեսքով գրված դաշտերը ներկայացնում են երկու երկրաչափաօպտիկական ալիքներ /հարթ ալիքներ/՝  $e^{-iKz \cos(\theta - \alpha_0)}$  և  $e^{-iKz \cos(\theta + \alpha_0)}$ , որոնցից առաջինն ընկնող, երկրորդը՝ անդրադարձած ալիքներն են, յուրաքանչյուրը՝ բազմապատկված համապատասխան Ֆրենելի Ֆունկցիայով /հասկանալի է, որ  $e^{-i\frac{Kz}{\cos \beta}}$  ընդհանուր գործակիցը ավել դեպքում էական չէ. այն կարելի է, ցանկության դեպքում, մացնել Ֆրենելի Ֆունկցիայի ձևակերպման մեջ/: Արանցից յուրաքանչյուրը բավարարում է Մաքսվելի հավասարումներին և հանդիսանում է մյուսի հայելային անդրադարձումը դիֆ-

րակցիայի հարթության նկատմամբ /ավյալ դեպքում Գիրիլեի խնդրին համապատասխանող սիմետրիայի համար/:

Քանի որ խոսքը ընկնող և անդրադարձան ալիքների մասին էր, ամենաընդհանուր ֆիզիկական պատկերացումներից ելնելով, կարելի է /2.1.8/ կամ /2.2.1/ լուծման տիրույթը պայմանականորեն թափանցել հինգ տարբեր տիրույթների: Նկ. 8-ում այս տիրույթները նշանակված են հոմոնեական թը-



վանշաններով: Դաշտի վարքը Ֆրենսելի ֆունկցիայի արգումենտի մեծ արժեքների համար դիտարկելու նպատակով՝ անհրաժեշտ է առանձնացնել  $\theta = \pi \pm \alpha_0$  ուղղություններին համապատասխանող ուղղիղների շրջակայքը: Որպես այդպիսի շրջակայք՝ հարմար է ընտրել  $u^2=1$  և  $v^2=1$  կորերով սահմանափակված տիրույթը: Բացահայտ անցնով այս հավասարումները կգրվեն

$$Kx \cos(\theta \pm \alpha_0) + Ky = 1 \quad /2.2.2/$$

կամ

$$K(x \cos \alpha_0 \mp y \sin \alpha_0) + K\sqrt{x^2 + y^2} = 1 \quad /2.2.2, a/$$

անցնով: Բերենք այս հավասարումները կանոնական տեսքի՝ կտարելով պըտույթ դեկարտյան կոորդինատային համակարգում  $\mp$  առանցքի շուրջը  $\mp \pm \alpha_0$  անկյուններով՝

$$x = -x' \cos \alpha_0 \mp y' \sin \alpha_0 \quad /2.2.3/$$

$$y = \pm x' \sin \alpha_0 - y' \cos \alpha_0$$

Այսպիսի ձևափոխություններից հետո /2.2.2, a/ հավասարումները կընդգրկեն հետևյալ տեսքի՝

$$y'^2 = \frac{2}{K} \left( x' + \frac{1}{2K} \right) \quad /2.2.4/$$

/2.2.4/ հավասարմամբ որոշվող կորը քառակուսային պարաբոլ է, որի առանցքը համընկնում է համապատասխանաբար ընկնող /անդրադարձան/ ալիքի ուղղությանը, զագաթը գտնվում է կիսափոթության եզրից  $x' = -\frac{1}{2K}$  հեռավորության վրա, իսկ կիզակետը՝ էկրանի եզրին: Այսպիսի պարաբոլ-

ներով սահմանափակված տիրույթները նկ. 8-ում նշված են II և IV թվանշաններով: Երբ  $u^2 = \varepsilon$  և  $\varepsilon \ll 1$ , ապա  $|u| \ll 1$  և դիտման կետը գտնվում է II տիրույթի խորքում: Երբ  $v^2 = \varepsilon$  և  $\varepsilon \ll 1$ ,  $|v| \ll 1$  և դիտարկվում են IV տիրույթի խորքի կետերը, իսկ երբ  $u^2 = \delta$  և  $v^2 = \delta$ ,  $\delta \gg 1$  և դիտարկվում են II և IV տիրույթներից դուրս ընկած կետերը:

Հասկանալի է, որ ընկնող մոտագայթի հասկացությունը հավասար է միայն III և V տիրույթներում, անդրադարձանը՝ միայն I -ում: Ելնելով այսպիսի՝ էպես երկրաչափաօպտիկական պատկերացումներից՝ V տիրույթը անվանվում է լույսի տիրույթ, III -ը՝ լույս-սովերի, I -ը, որտեղ շկան երկրաչափաօպտիկական մոտագայթներ, սովերի տիրույթ: Ելնելով  $Kz \gg 1$  պայմանից՝ յուրաքանչյուր տիրույթի համար կստանանք դաշտի համար մոտարկային արտահայտություններ, որոնք, մասնավորապես, կհիմնավորեն նկարագրված երկրաչափական պատկերը:

Այս նպատակով, նախ և առաջ, որոշենք և U-ի, և V-ի՝ Ֆրենսելի ֆունկցիաների արգումենտների նշանները  $\theta$  անկյան փոփոխման տարբեր տիրույթներում: Հիշենք, որ

$$U = -\sqrt{2Kz} \cos \frac{\theta - \alpha_0}{2}, \quad V = -\sqrt{2Kz'} \cos \frac{\theta + \alpha_0}{2} \quad /2.2.5/$$

Այստեղից հետևում է՝

$$U < 0 \text{ և } V < 0, \text{ երբ } 0 \leq \theta \leq \pi - \alpha_0 \quad /2.2.6, a/$$

$$U < 0 \text{ և } V > 0, \text{ երբ } \pi - \alpha_0 \leq \theta \leq \pi + \alpha_0 \quad /2.2.6, b/$$

$$U > 0 \text{ և } V > 0, \text{ երբ } \pi + \alpha_0 \leq \theta \leq 2\pi \quad /2.2.6, c/$$

Այժմ ստանանք /2.1.8/ արտահայտության մեջ մտնող  $G(u)$  և  $G(v)$  կամ որ նույնն է՝ Ֆրենսելի ֆունկցիաների մոտարկային տեսքը  $Kz \gg 1$  պայմանի դեպքում: Երբ  $G(x)$  ֆունկցիայի  $x$  արգումենտը դրական թիվ է, ապա՝

$$G(x) = e^{-ix^2} \int_x^\infty e^{i\mu^2} d\mu = e^{-ix^2} \int_x^\infty \frac{de^{i\mu^2}}{2i\mu} = \\ = \frac{i}{2x} + \frac{1}{4x^3} + \frac{3}{4} e^{-ix^2} \int_x^\infty \frac{e^{i\mu^2}}{\mu^4} d\mu$$

եթե երկու անգամ կատարենք ինտեգրումը ըստ մասերի: Կերշին ինտեգրալի մոդուլը ավելի փոքր է, քան

$$\frac{1}{4x^3}$$

մեծությունը, հետևաբար, երբ  $x > 0$ , ապա

$$G(x) \approx \frac{i}{2x} + O\left(\frac{1}{x^3}\right) \quad /2.2.7/_{43}$$

Շարունակելով մասերով ինտեգրման այս պրոցեսը՝ հանգում ենք հետևյալ մոտարկային շարքին՝

$$G(x) = \frac{1}{2\sqrt{\pi}} e^{-x^2/2} \sum_n \frac{\Gamma(n+1/2)}{(ix^2)^{n+1/2}}, \quad /2.2.7, \text{ա/}$$

որտեղ  $\Gamma(n+1/2)$ -ը էյլերի զամմա ֆունկցիաներն են կիսամթողջ արգումենտներով:

Երբ  $G(x)$  ֆունկցիայի արգումենտը փոքր է զրոյից  $/x < 0/$ , նման մասերով ինտեգրումը կոտեկա չէ, քանի որ  $\mu = 0$  կետում ինտեգրալը կոտարամիտի: Այս դեպքում կարելի է օգտվել ֆրենսելի ֆունկցիաների հետևյալ հասկանալիքներից՝

$$F(x) + F(-x) = \int_{-\infty}^{\infty} e^{i\mu x} d\mu = \sqrt{\pi i} = \sqrt{\pi} e^{i\pi/4} \quad /2.2.8/$$

Այսպիսով,  $x < 0$  դեպքում  $F(x)$ -ը կարելի է արտահայտել  $F(-x)$ -ով, օգտվելով /2.2.8/ բանաձևից և համաձայն /2.2.7/ և /2.2.7, ա/ բանաձևերի: զրեւ.

$$G(x) = \sqrt{\pi} e^{i\pi/4} e^{-ix^2} + \frac{i}{2x} + O\left(\frac{1}{x^3}\right) \quad /2.2.9/$$

և

$$G(x) = \sqrt{\pi} e^{i\pi/4} e^{-ix^2} + \frac{1}{2\sqrt{\pi}} e^{i\pi/4} \sum_n \frac{\Gamma(n+1/2)}{(ix^2)^{n+1/2}} \quad /2.2.9, \text{ա/}$$

Մենք կատարեցինք  $G(x)$  ֆունկցիայի /2.2.7/ և /2.2.9/ արտահայտությունների  $O\left(\frac{1}{x^3}\right)$  մոտավորությունը ստացված արժեքներով:

Գիտարկենք /2.1.8/ դաշտի վարքը առանձին-առանձին I, III և V տիրույթներում, շքնարկելով առայժմ II և IV տիրույթների հարցը, որտեղ հասկանալի է, /2.2.7/ և /2.2.9/ մոտարկումները իրավաբան չեն:

I տիրույթում, համաձայն /2.2.6, գ/-ի՝  $u > 0$ ,  $v > 0$  և դաշտի մոտարկումն ստանալու համար /2.1.8/ բանաձևի մեջ պետք է տեղադրել՝

$G(u) = \frac{i}{2u}$  և  $G(v) = \frac{i}{2v}$ : Օգտվելով  $u$ -ի և  $v$ -ի համար մեր ունեցած /2.2.5/ արտահայտություններից՝ կստանանք

$$E_{\pm I} = \frac{e^{-i\pi/4}}{\sqrt{\pi}} \frac{e^{i\kappa z}}{2\sqrt{2\kappa z}} \left\{ \frac{i}{\cos \theta + d_0} - \frac{i}{\cos \theta - d_0} \right\} = \sqrt{\frac{2}{\pi}} \frac{\sin \frac{\theta}{2} \sin \frac{\theta}{2}}{\cos \theta + \cos d_0} \frac{e^{i(\kappa z + \pi/4)}}{\sqrt{\kappa z}} \quad /2.2.10/$$

Ըստ վերը մտցված գաղափարացումների՝ /2.2.10/ դաշտը մտքուր դիֆրակցիոն բնույթ ունի /I տիրույթում՝ եթե մոտագայթներ չկան/: Հարմար է այն նշանակել  $E_{\pm}^{(I)}$  ձևով: Երբեմն այն ավանակում է նաև եզրային ալիք, որը գլանային է և առաջված է կարծես թե էկրանի եզրին զուգահեռ զծային ալեբյուրից: նման գաղափարացումը հավասարում է փորձով.

սավերի կողմից էկրանի եզրը ընկալվում է որպես վառ լուսավորված գիծ: /2.2.6, բ/ կամ III տիրույթում  $u < 0$  և  $v > 0$ , հետևաբար  $G(u)$ -ի համար կօգտվենք /2.2.9/, իսկ  $G(v)$ -ի համար՝ /2.2.7/ բանաձևերից՝

$$E_{\pm III} = \frac{e^{-i\pi/4}}{\sqrt{\pi}} e^{i\kappa z} \left\{ \sqrt{\pi} e^{i\pi/4} e^{-i\kappa z} + \frac{i}{2u} - \frac{i}{2v} \right\} = e^{i(\kappa z - u^2)} + E_{\pm}^{\uparrow} = e^{-i\kappa z \cos(\theta - d_0)} + E_{\pm}^{\uparrow} = E_{\pm}^{i\pi/4} + E_{\pm}^{\uparrow} \quad /2.2.11/$$

ի վերջո, /2.2.6, ա/ կամ V տիրույթում  $u < 0$ ,  $v < 0$  և պետք է օգտվել /2.2.9/ բանաձևից՝ ինչպես  $G(u)$ , այնպես էլ  $G(v)$  ֆունկցիաների համար: Արդյունքում ստանում ենք՝

$$E_{\pm V} = \frac{e^{-i\pi/4}}{\sqrt{\pi}} e^{i\kappa z} \left\{ \sqrt{\pi} e^{i\pi/4} e^{-i\kappa z} - \sqrt{\pi} e^{i\pi/4} e^{-i\kappa z} + \frac{i}{2u} - \frac{i}{2v} \right\} = e^{-i\kappa z \cos(\theta - d_0)} - e^{-i\kappa z \cos(\theta + d_0)} + E_{\pm}^{\uparrow} = E_{\pm}^{i\pi/4} - E_{\pm}^{i\pi/4} + E_{\pm}^{\uparrow} \quad /2.2.12/$$

Այսպիսով, ստացված /2.2.10/, /2.2.12/ բանաձևերը թույլ են տալիս ստացված լուծումը ներկայացնել որպես երկրաչափաօպտիկական, կարճ՝ եթե /ընկնող և անդրադարձած/ ու դիֆրակցիոն դաշտերի՝ երկրաչափական օպտիկայի սեսսակյունից միանգամայն բացատրելի կոմբինացիա՝

$$E_{\pm} = E_{\pm}^{i\pi/4} + E_{\pm}^{\uparrow} \quad /2.2.13/$$

որտեղ

$$E_{\pm}^{i\pi/4} = \begin{cases} e^{-i\kappa z \cos(\theta - d_0)} - e^{-i\kappa z \cos(\theta + d_0)} & , \text{երբ } 0 < \theta < \pi - d_0 \\ e^{-i\kappa z \cos(\theta - d_0)} & , \text{երբ } \pi - d_0 < \theta < \pi + d_0 \\ 0 & , \text{երբ } \pi + d_0 < \theta < 2\pi \end{cases}$$

և

$$E_{\pm}^{\uparrow} = \sqrt{\frac{2}{\pi}} \frac{\sin \frac{\theta}{2} \sin \frac{\theta}{2}}{\cos d_0 + \cos \theta} \frac{e^{i(\kappa z + \pi/4)}}{\sqrt{\kappa z}} \quad /2.2.14/ \quad /2.2.15/$$

/2.2.14/ և /2.2.15/ արտահայտությունները  $\kappa z \gg 1$  պայմանի դեպքում գործնականորեն մշտրիտ են ներկայացնում դաշտերը, բացառությամբ  $u^2 = 1$  և  $v^2 = 1$  /II և IV/ պարաբոլներով սահմանափակված/ տիրույթների:

$\theta = \pi \pm d_0$  ուղղություններում դիֆրակցիոն դաշտի /2.2.15/ արտահայտությունը տարամիտում է: Հասկանալի է, որ այս տարամիտումը պայմանավորված է մոտարկային վերլուծությամբ, որը, ինչպես ասվել էր վերը,  $u^2 = 1$  և  $v^2 = 1$  պարաբոլների ներքին տիրույթում մաթեմատիկորեն կո. սկս չէ:



Այնուամենայնիվ փորձենք գնահատել դաշտի արժեքը այդ ուղղություններում: Երբ  $\theta = \pi + d_0$ , ապա  $u = 0$ , իսկ  $v = -\sqrt{2kz} \cos(\frac{\theta}{2} + d_0) = \sqrt{2kz} \sin d_0 > 0$ : Հետևաբար, երբ  $kz \gg 1$

$$G(u) = G(0) = \int_0^{\infty} e^{-u^2} d\mu = \sqrt{\frac{\pi}{2}} e^{-\frac{u^2}{2}}$$

$$G(v) = G(\sqrt{2kz} \sin d_0) = \frac{i}{2\sqrt{2kz} \sin d_0} + O\left(\frac{1}{(kz)^{3/2}}\right) \ll 1$$

Այսպիսով /2.1.8/-ից կստանանք

$$E_z \approx \frac{e^{-ikz}}{2} + O\left(\frac{1}{\sqrt{kz}}\right) \quad /2.2.16/$$

ինչպես ստանում ենք,  $\theta = \pi + d_0$  անկման ուղղությամբ դիֆրակցիոն դաշտի մեծությունը նույն կարգի է, ինչ ընկնողինը՝  $e^{-ikz}$ , իսկ վարքը նման է հարթ ալիքի վարքին:

Անդրադարձած մտազայթի  $\theta = \pi - d_0$  ուղղությամբ  $u = -\sqrt{2kz} \sin d_0 < 0$ ,  $v = 0$  և /2.1.8/ արտահայտությունից /2.2.9/ Բանաձևի օգնությամբ ստանում ենք՝

$$E_z = e^{ikz \cos 2d_0} - \frac{e^{-ikz}}{2} + O\left(\frac{1}{\sqrt{kz}}\right), \quad /2.2.17/$$

որը նույնպես հարթ ալիք է, ըստ մեծության նույն կարգի, ինչ ընկնող դաշտը: Այսպիսով դիֆրակցիոն դաշտը, լինելով գլանային ալիք, որի ամպլիտուդը մարում է հեռավորությունից կախված  $\frac{1}{\sqrt{kz}}$  օրենքով, անկման և անդրադարձման ուղղություններում իրեն պահում է որպես հարթ ալիք, հեռավորությունից չկախված ամպլիտուդով:

H Բեռնացման դեպքում նույնանման դասողություններից և մթնամախկան ձևափոխություններից հետո, դաշտի /2.1.9/ արտահայտությունից ստանում ենք

$$H_z = H_z^{(0)} + H_z^{(\pi)}, \quad /2.2.18/$$

որտեղ՝

$$H_z^{(0)} = \begin{cases} e^{-ikz \cos(\theta - d_0)} + e^{-ikz \cos(\theta + d_0)} & , \text{ երբ } 0 < \theta < \pi - d_0 \\ e^{-ikz \cos(\theta - d_0)} & , \text{ երբ } \pi - d_0 < \theta < \pi + d_0 \\ 0 & , \text{ երբ } \pi + d_0 < \theta < 2\pi \end{cases}$$

և

$$H_z^{(\pi)} = -\sqrt{\frac{2}{\pi}} \frac{\cos \frac{\theta}{2} \cos \frac{\theta}{2}}{\cos d_0 + \cos \theta} \frac{e^{i(kz + \frac{\pi}{4})}}{\sqrt{kz}} \quad /2.2.19/$$

Ուշադրություն դարձնենք, H Բեռնացման դեպքում /2.2.19/ արտահայտության յուրաքանչյուր գումարելին մյուսի հայելային անդրա-

դարձում է դիֆրակցիայի հարթության նկատմամբ, այս անգամ արդեն նեյմանի խնդրին համապատասխանող սիմետրիայի համար:

### 2.3. Ջոմերֆելդի խնդրի լուծումը՝ որպես «կիսաստվերային»

մոտարկում

/2.2.14/, /2.2.15/, /2.2.19/ և /2.2.20/ Բանաձևերն ասում են, որ ընկնող ալիքը տարածվում է /գոյություն ունի/  $\theta$  անկյան փոփոխման  $\pi + d_0 - \theta > 0$  անհավասարությամբ որոշվող տիրույթում, իսկ  $\pi + d_0 - \theta < 0$  անհավասարության դեպքում այն գոյություն չունի: Նույն Բանաձևերից՝ անդրադարձած ալիքի գոյության տիրույթը որոշվում է  $\pi - d_0 - \theta > 0$  անհավասարությունից և, հակառակ դեպքում, երբ  $\pi - d_0 - \theta < 0$ , այն գոյություն չունի: Մտցնենք  $\chi(\varphi)$  խզվող ֆունկցիայի հասկացությունը՝

$$\chi(\varphi) = \begin{cases} 1 & , \text{ երբ } \varphi > 0 \\ 0 & , \text{ երբ } \varphi < 0 \end{cases}$$

/2.3.1/

նշանակենք, այնուհետև  $H_z$ -ը և  $E_z$ -ը մեկ ընդհանուր՝  $U$  տառով / $E_z = U_1$ ,  $H_z = U_2$ / և զրենք դաշտերի համար ստացված /2.2.13/, /2.2.14/, /2.2.15/ և /2.2.18/, /2.2.19/, /2.2.20/ արտահայտությունները հետևյալ տեսքով՝

$$U_{1,2} = e^{-ikz \cos(\theta - d_0)} \chi(\pi + d_0 - \theta) \mp e^{-ikz \cos(\theta + d_0)} \chi(\pi - d_0 - \theta) - \frac{e^{-i\frac{\pi}{4}}}{2\sqrt{2\pi}} \left\{ \frac{1}{\cos \frac{\theta - d_0}{2}} \mp \frac{1}{\cos \frac{\theta + d_0}{2}} \right\} \frac{e^{-ikz}}{\sqrt{kz}} \quad /2.3.2/$$

Այստեղ վերևի նշանը կհամապատասխանի  $E_z$ -ին / $U_1$ -ին/, ներքևինը՝  $H_z$ -ին / $U_2$ -ին/: Դաշտերի մյուս Բաղադրիչները որոշվում են համապատասխանաբար /2.1.2/ և /2.1.3/ Բանաձևերով: Ստացված մոտարկային վերլուծությունները, զրկած /2.2.13-15/, /2.2.18-20/ կամ /2.3.2/ տեսքով, ընդունված է անվանել «անհավասարաչափ մոտարկումներ», այն առումով, որ սրանք, Բավականաչափ ճշգրիտ նկարագրելով  $\theta = \pi \pm d_0$  անկյուններից տարբեր ուղղություններով տարածվող դաշտերը,  $\theta = \pi \pm d_0$  ուղղություններում տարամիտում են: Այս հանգամանքի ֆիզիկական էությունը հետևյալն է. ընկնող / $\theta = \pi + d_0$ / և անդրադարձած / $\theta = \pi - d_0$ / դաշտերը հարթ ալիքներ են, որոնք /սես գլուխ I/ տարածվում են հաստատուն լայնական կտրվածք ունեցող մտազայթային խողովակով /մտազայթների, խտությունը, ըստ լայնական կտրվածքի հաստատուն է/, մինչդեռ նույն ուղղությամբ տարածվող դիֆրակցիոն ա-

լիքն ունի զլանային բնույթ: Գլանային ալիքին ամապատասխանող մտա-  
 գայթաղյին խողովակի լայնական կտրվածքը, համեմատական լինելով ալիքային  
 մակաթի զառուսյան կորուսթյանը՝  $\gamma$ -ին, փոփոխվում է գծային օրենքով:  
 Ունենալով տարածման նույն ուղղությունը՝ առաջնային /ընկնող ու անդ-  
 րադարձած/ և դիֆրակցիոն ալիքների մակառնների կորուսթյունները միանգա-  
 մայն տարբեր են, որի հետևանքով առաջանում է խզում  $\delta 0$  և դիֆրակցիոն  
 ալիքների ամպլիտուդաների միջև: Այս խզումն իրականում վերանում է ամպ-  
 լիտուդի լայնական դիֆուզիայով, որի հավասարիքն է մշտապես լուծումը:  
 Եթե հնարավոր լինի նկարագրել այս դիֆրակցիան որևէ անալիտիկ բանաձևի  
 օգնությամբ, ապա կարելի է ցույց տալ, որ  $\pi \pm \delta_0 = \theta$  ուղղությունը մոտենալիս  
 դիֆրակցիոն ալիքների ամպլիտուդը պարզապես անում է և ի վերջո նկարա-  
 գրվում է /2.2.16/ և /2.2.17/ բանաձևերով: Այսպիսի լուծումը կան-  
 վանվի արդեն ,,հավասարաչափ,, մոտարկում:

Հավասարաչափ մոտարկման մի օրինակ է /2.1.8/ լուծումը: Այս  
 դեպքում այն համընկնում է ստույգ լուծմանը: Իրոք, /2.1.8/ լուծման  
 մեջ /տես նաև 2.2.1-ը/ ֆրենելի ֆունկցիաների արգումենտները, գրված

$$\sqrt{kz + kz \cos(\theta \pm \delta_0)} = \sqrt{k} \cdot \sqrt{z + z \cos(\theta \pm \delta_0)}$$

տեսքով, հանդիսանում են  $\delta 0$  և դիֆրակցիոն ալիքների էյքոնալները՝  
 գրված քառակուսային արմատի տակ և բազմապատկված  $\sqrt{k}$ -ով: Եթե /2.2.1/  
 -ում ընկնող դաշտի էյքոնալը  $\Psi_{r2y} = -z \cos(\theta - \delta_0)$ -ն է, անդրադարձածինը՝  
 $\Psi_{r1y} = -z \cos(\theta + \delta_0)$ -ն, իսկ դիֆրակցված զլանային ալիքները՝  $\Psi_r = z$ -ը,  
 որոնք իրոք բավարարում են էյքոնալի հավասարումներին՝ գրված դեկարտե-  
 յան / $\Psi$  ընկ և  $\Psi$  անդ/ և զլանային / $\Psi_r$ / կոորդինատական համա-  
 կարգերում, ապա /2.3.2/ արտահայտությունը կարելի է գրել հետևյալ  
 տեսքով՝

$$U_{1,2} = e^{-ik\Psi_{r2y}} \chi(\sqrt{\Psi_r - \Psi_{r2y}}) \mp e^{-ik\Psi_{r1y}} \chi(\sqrt{\Psi_r - \Psi_{r1y}}) - \\ - D(\theta, \delta_0) \frac{e^{ik\Psi_r}}{\sqrt{z}} \quad /2.3.3/$$

Այստեղ  $\sqrt{\Psi_r - \Psi_{r2y}}$  -ն դրական է համապատասխան  $\delta 0$  ալիքի /ընկ-  
 նող կամ անդրադարձած/ տարածման տիրույթում, իսկ

$$D(\theta, \delta_0) = -\frac{e^{i\frac{\pi}{4}}}{2\sqrt{2\pi k}} \left\{ \frac{1}{\cos \frac{\theta - \delta_0}{2}} \mp \frac{1}{\cos \frac{\theta + \delta_0}{2}} \right\} \quad /2.3.4/$$

Եթե /2.2.1/ արտահայտության մեջ ֆրենելի ֆունկցիան ձևակեր-  
 պենք  $\frac{1}{\sqrt{\pi}} \int_0^x e^{i\pi t^2} dt$  տեսքով / $\frac{1}{\sqrt{\pi}}$  բազմապատկիչը մացնենք ֆրենելի  
 ֆունկցիայի ձևակերպման մեջ/, ապա Ջոմերֆելդի խնդրի ստույգ /լմո-

տարկված/ լուծումը E բևեռացման համար կընդունի

$$E_z = E_{zr2y} F(\sqrt{k(\Psi_r - \Psi_{r2y})}) - E_{zr1y} F(\sqrt{k(\Psi_r - \Psi_{r1y})}), \quad /2.3.5/$$

իսկ H բևեռացման համար՝

$$H_z = H_{zr2y} F(\sqrt{k(\Psi_r - \Psi_{r2y})}) + H_{zr1y} F(\sqrt{k(\Psi_r - \Psi_{r1y})}), \quad /2.3.6/$$

տեսքը:

/2.3.5/ և /2.3.6/ արտահայտություններում անհրաժեշտ է միայն  
 մշտել ֆրենելի ֆունկցիաների արգումենտների նշանները: Դա անենք՝ օգ-  
 տրվելով /2.3.3/ տեսքով գրված արտահայտությունից: Ի վերջո

$$U_{1,2} = U_{r2y} F(\sqrt{k(\Psi_r - \Psi_{r2y})}) \mp U_{r1y} F(\sqrt{k(\Psi_r - \Psi_{r1y})}) \quad /2.3.7/$$

/2.3.7/ արտահայտության մեջ վերևի նշանը վերցվում է  $\delta 0$  տիրույթի  
 համար, ներքևինը՝ ստվերի:

/2.3.7/ արտահայտությունը նկարագրում է, այսպիսով, ինչպես  $\delta 0$ ,  
 այնպես էլ դիֆրակցիոն դաշտերը՝ որպես արանց կոմբինացիա: Այսպիսի  
 դաշտերը, որոնք պարունակում են ինֆորմացիա՝ ինչպես  $\delta 0$ , այնպես էլ  
 դիֆրակցիոն դաշտերի մասին, անվանվում են ,,կիսաստվերային,, դաշտեր:  
 Մեզ համար առավել էական է հետևյալը. /2.3.5-2.3.7/ լուծումներ-

ը, իրոք, կարելի է համարել մոտարկային այն առումով, որ սրանք ար-  
 տահայտվում են միայն երկրաչափօպտիկական հասկացությունների /էյքո-  
 նալների/ միջոցով, իսկ երկրաչափօպտիկական հասկացությունները, ինչ-  
 պես մենք ցույց ենք տվել, կարծախիբային մոտարկային հասկացույթուն-  
 ներ են: Ջոմերֆելդի ստույգ լուծման արտահայտությունները, պարզապես,  
 երկրաչափօպտիկական էյքոնալների ավելի բարդ կոմբինացիաներ են:

/2.3.5-2.3.7/ արտահայտություններում  $\Psi_r = \Psi_{r2y}$ ,  $\Psi_r = \Psi_{r1y}$  հա-  
 վասարումներով որոշվում են լույս-ստվեր սահմանները ընկնող-դիֆրակ-  
 ցիոն և անդրադարձած-դիֆրակցիոն դաշտերի միջև: Անցումը /2.3.7/-ից  
 /2.3.3/-ին հիմնավորված է, երբ

$$k(\Psi_r - \Psi_{r0}) \gg 1, \quad /2.3.8/$$

այսինքն՝  $z^2 = 1$  և  $z^2 = 1$  պարբերություններից դուրս ընկած տիրույթում: Հա-  
 մեմատելով /2.3.3/ և /2.3.7/ լուծումները՝ կարելի է ցույց տալ, օ-  
 ըրինակ, որ  $k(\Psi_r - \Psi_{r0}) = 10$  պայմանի դեպքում / $\Psi_r - \Psi_{r0} \sim 1.5\lambda$  /  
 սխալանքը կազմում է ընդամենը 5%:

Այժմ քննարկենք Ջոմերֆելդի խնդրի լուծման կարծախիբային մո-  
 տարկումը եռաչափ դեպքի համար՝ օգտվելով /2.1.15/ և /2.1.16/ արտա-

հայտնություններից: Միանգամայն համաձայն դատողություններով այս արտահայտություններից  $kz \gg 1$  պայմանի դեպքում /Բացառած այն տիրույթները, որտեղ  $p^2=0$  և  $q^2=0$ / ստանում ենք հետևյալ կարծախիբային մոտարկումը /2.1.15/ դաշտի համար ստվերում՝

$$E_z = -\frac{e^{i\frac{\pi}{4}}}{2\sqrt{2\pi k z \cos\beta}} \left\{ \frac{1}{\cos\frac{\theta-d_0}{2}} - \frac{1}{\cos\frac{\theta+d_0}{2}} \right\} e^{ik(z\cos\beta - z\sin\beta)} \quad /2.3.9/$$

Այստեղ  $z = \sqrt{x^2+y^2}$  և  $\frac{z}{\sqrt{x^2+y^2}} = -\tan\beta$ , հետևաբար՝

$$z \cos\beta - z \sin\beta = \frac{z}{\cos\beta} \equiv S \quad /2.3.10/$$

Այսպիսով՝

$$E_z = -\frac{e^{i\frac{\pi}{4}}}{2\sqrt{2\pi k z \cos\beta}} \left\{ \frac{1}{\cos\frac{\theta-d_0}{2}} - \frac{1}{\cos\frac{\theta+d_0}{2}} \right\} \frac{e^{iKS}}{\sqrt{S}} \quad /2.3.11/$$

/2.3.11/ արտահայտությունը խիստ նման է երկչափ դեպքի համար ստացված արտահայտություններին: Հիմնական տարբերությունը դիֆրակցիոն դաշտի էյքոնալի արտահայտության մեջ է, որն այս դեպքում որոշվում է /2.3.10/ ձևով:

Կարելի է ցույց տալ, որ Ջոմերֆելդի ստույգ լուծման մեջ  $p$  և  $q$  արգումենտները, իրոք, արտահայտվում են  $\theta_0$  և դիֆրակցիոն դաշտերի էյքոնալների օգնությամբ՝

$$\begin{aligned} \sqrt{2kz \cos\beta} \cos\frac{\theta \pm d_0}{2} &= \sqrt{kz \cos\beta (1 + \cos(\theta \mp d_0))} = \\ &= \sqrt{k(z \cos\beta + z \cos\beta \cos(\theta \mp d_0))} = \sqrt{k\left(\frac{z(1 - \sin^2\beta)}{\cos\beta} + z \cos\beta \cos(\theta \mp d_0)\right)} = \\ &= \sqrt{\frac{kz}{\cos\beta} + kz\left(-\frac{\sin^2\beta}{\cos\beta} + \cos\beta \cos(\theta \mp d_0)\right)} = \sqrt{k\left(\frac{z}{\cos\beta} + z \cos\beta \cos(\theta \mp d_0) + z \sin\beta\right)} = \\ &= \sqrt{k(S - \Psi_{\theta_0})}, \quad \Psi_{\theta_0} = -z \cos\beta \cos(\theta \mp d_0) - z \sin\beta \end{aligned} \quad /2.3.12/$$

Ինչպես տեսնում ենք, եռաչափ դեպքում էլ Ջոմերֆելդի ստույգ լուծումն ունի ,,կիսաստվերային,, բնույթ, այն լիովին արտահայտվում է ընկնող, անդրադարձող և դիֆրակցված ալիքների էյքոնալների միջոցով:

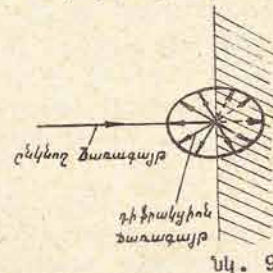
Ջոմերֆելդի խնդրի լուծման այս բնորոշ առանձնահատկությունն է /,,կիսաստվերային,, բնույթը/, որ հիմք է առնում պնդելու. մառառայի հասկացությունը  $\theta_0$ -ի առանձնաշնորհը չէ և այն կարելի է ու պետք է վերագրել նաև դիֆրակցիոն դաշտերին: Ավելին՝ մառառայի հասկացությունն իմաստավորված է ոչ միայն կարծախիբային մոտարկության մեջ,

այլ և ,,կիսաստվերային,, դաշտի համար, որը Ջոմերֆելդի խնդրի դեպքում լիովին համընկնում է դաշտի ստույգ արտահայտություններին:

#### 2.4. Դիֆրակցիոն մառառայի տարածման օրենքները և դիֆրակցիայի երկրաչափաօպտիկական տեսությունը /ԴԵՏ/

Հետևողականորեն, այնպես ինչպես առաջին գլխում, ձևակերպվեցին ընկնող և անդրադարձած  $\theta_0$  մառառայի տարածման օրենքները, մտցվեցին էյքոնալի, մառառայի խողովակի, մառառայի կոնգրուենցիայի, օպտիկական երկարության և այլ հասկացությունները, այնպես էլ անհրաժեշտ է ձևակերպել ԴԵՏ-ում մառառայի տարածման օրենքները:

Մենք հիմնվում ենք Ջոմերֆելդի խնդրի Պլանկի լուծման և սրա կարծախիբային մոտարկման վրա: Երկչափ խնդրի լուծումից, զբաղված /2.3.7/ կամ /2.3.2/ տեսքով, հետևում է, որ դիֆրակցիոն մառառայի էյքոնալը  $\Psi_{\theta} = z - \beta$ : Սրանց ալիքային մակերևույթը մի գլան է, որի առանցքը էկրանի եզրն է, իսկ մառառայներն ուղղահայաց են այս գլանային մակերևույթին: Այլ խոսքով՝ դիֆրակցիոն մառառայները էկրանի ուղղա-գիծ եզրից տարածվում են եզրին ուղղահայաց հարթության մեջ Յոլոր ուղղություններով /նկ.9/, Բացած հովհարի տեսքով:

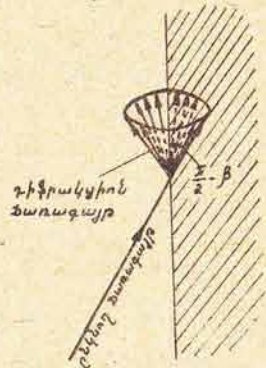


Այս մառառայներն այն կորերն են, որոնք անցնում են էկրանի եզրի անկման կետով և եզրից դուրս վերցված կետերով այնպես, որ նրանց երկարությունը մնում է հաստատուն և ամենակարճն է մնացած Յոլոր հնարավոր կորերի երկարությունից: Յուրաքանչյուր դիֆրակցիոն մառառայի համար եզրի վրա անկման կետում կարելի է կանգնեցնել նորմալ այնպես, որ ընկնող ու դիֆրակցված մառառայները այս նորմալի հետ գտնվեն նույն հարթության մեջ և ընկած լինեն նորմալի տարբեր կողմերում:

Ասվածը Ֆերմայի սկզբունքի ընդհանրացումն է դիֆրակցիոն մառառայի համար: Յուրաքանչյուր, որ եռաչափ խնդրի դեպքում նույնպես գործում է այս սկզբունքը: Ինչպես հետևում է դիֆրակցիոն մառառայի

$S = \frac{z}{\cos \beta} / \beta$  -ն էկրանի եզրի հետ ընկնող ճառագայթի կազմած անկյունն է / էլքոնալի արտահայտությունից, այս դեպքում դիֆրակցված ճառագայթ-

ները կազմում են մի կոնային մակերևույթ, որի զազաթը դիֆրակցիայի կետն է /ընկնող ճառագայթի՝ եզրին անկման կետը/, իսկ կոնի կիսաբացվածքի անկյունը հավասար է  $\pi/2 - \beta$  -ի /նկ. 10/:



նկ. 10

Երբ  $\beta = 0$ , դիֆրակցիայի կոնը կվերածվի նկ. 9-ում պատկերված Բաց հովհարի: Երկու դեպքում էլ, եթե կիսահարթույթունը մտնի լրացանք մինչև լրիվ հարթություն, ապա նկ. 9-ում կամ նկ. 10-ում պատկերված դիֆրակցիոն ճառագայթներից կմնա միայն մեկը՝ համապատասխան անդրադարձած ճառագայթը, քանի որ նորմալի ընտրությունը եզրի Բացակայության դեպքում դառնում է միակը:

Ինչպես տեսնում ենք, այս դեպքում էլ դիֆրակցիոն ճառագայթների ուղղությունը որոշվում է համաձայն Ֆերմայի ընդհանրացված սկզբ-Քունթի. արված երկու կետերով անցնող ճառագայթների օպտիկական երկարությունն էքստրեմալ է եզրի հետ ընդհանուր կետ ունեցող Քոլոր կորերի ընտանիքում:

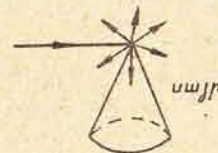
Այսպիսով՝ իմաստ չունի իմաստային տարբերությունն փնտրել ճառագայթ, տարածվող դաշտ կամ ալիք հասկացությունների միջև: Իրավիճակը համանման է քվանտային մեխանիկայում մասնիկի և ալիքի հասկացությունների ընդհանրությանը: Հետագայում՝ ճառագայթ, ալիք կամ տարածվող դաշտ տերմինները մենք կկիրառենք՝ ելնելով այս հասկացության ավյալ հայտանիշը Բնորոշելու հարմարությունից:

Դիֆրակցիայի երկրաչափաօպտիկական տեսությունը /ԴՆՏ-ը/ օգտվում է որակապես նոր՝ դիֆրակցիոն ճառագայթի հասկացությունից և վերաբե-

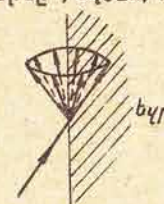
րում է այսպիսի ճառագայթների առաջացմանը, նրանց դասակարգմանը և տարածման օրենքներին: Իրենց կիրառելիության շրջանակներում այս օրենքներն առաջադրվում են և ընդունվում՝ որպես փորձից Բխող մշմարտություններ:

Հիմնական տարբերությունը ԵՕ-ի և ԴՆՏ-ի միջև այն է, որ ընկնող և անդրադարձած ճառագայթներից Բացի պոստուլացվում են ճառագայթների ծագման ուղիղ ուղիներ: Քոլոր այն դեպքերում, երբ որևէ մասնի հետ սկզբնական ալիքի փոխադրումից առաջանում է լույս-ստվերի սահման ԵՕ ալիքների համար, այսինքն՝ երբ ԵՅ լուծումն ունի խզում, պոստուլացվում է դիֆրակցիոն ճառագայթների առաջացում, որով հավասարալիշովում է այս խզումը: Դիֆրակցիոն ճառագայթներն առաջանում են, երբ սկզբնական /ընկնող/ ճառագայթը ընկնում է մարմնի եզրի կամ սայրի վրա և կամ էլ շոշափում է ողորկ մարմինը: Այսպիսի դեպքերում իրավացի են հետևյալ պոստուլատները.

1. Դիֆրակցիոն ճառագայթների կոնզրուենցիաներ առաջանում են ոչ Քոլոր ընկնող ճառագայթները, այլ միայն նրանք, որոնք ա/ընկնում են մարմնի անհամասեռ մասերի վրա /սայր, եզր, կորություն խզում՝ նկ.նկ. 11-ա,բ,գ/, Բ/շոշափում են մարմինը /նկ.12/:



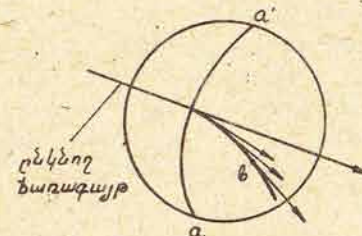
նկ.11-ա



նկ.11-բ



նկ.11-գ



նկ. 12

2. Յուրաքանչյուր ընկնող ճառագայթ, որը Բավարարում է վերոհիշյալ պայմաններին, առաջանում է անվերջ թվով դիֆրակցիոն ճառագայթներ, ընդ որում՝ սայրի դեպքում սրանք տարածվում են Քոլոր ուղղություններ:

րով՝ առաջացնելով գնդային ալիք /նկ.11-ա/: եզրին ընկնող մառազայթը ընդհանուր դեպքում առաջացնում է դիֆրակցիոն մառազայթներով կազմված կոն, որի զագաթը եզրի վրա է /նկ. 11-բ/: Այս կոնի կիսաբացվածքի անկյունը հավասար է ընկնող մառազայթով և եզրին դիֆրակցիայի կետում տարած շոշափողով կազմված անկյանը: Այս պոստուլատը, ինչպես ստել էինք, հետևում է Ֆերմայի ընդհանրացված սկզբունքից և կարող է դիտվել որպես անդրադարձման օրենքի ընդհանրացում:

Յուրահատուկ է ուռուցիկ, ողորկ մարմնի /նկ.12/ սովորում դիֆրակցիոն մառազայթների տարածման օրենքը: Դիֆրակցիոն մառազայթները, պոկվում են,, ողորկ մակերևույթից՝ նրա սովորած կողմից: Սրանք անվանվում են սահբի դիֆրակցիոն մառազայթներ /սահբի ալիքներ/, որոնց առաջացման երևույթը կարելի է Բացատրել հետևյալ ձևով. ողորկ մարմինը շոշափող յուրաքանչյուր մառազայթ նրա մակերևույթի վրա մակածում է ,,մակերևութային,,  $T^6$  մառազայթը /նկ. 12/, որն այս մակերևույթի գեոդեզիական /կարծագույն/ կորն է: Սրա ուղղութունը  $aa'$  հորիզոնի կետում համընկնում է ընկնող մառազայթի ուղղությանը: Սահբի մառազայթների կոնգրուենցիան, պոկվում է,, գեոդեզիական՝ զծից, յուրաքանչյուր կետում՝ վերջինիս շոշափողի ուղղությամբ: Ասվածը նույնպես Ֆերմայի կարծագույն մանապարհի սկզբունքի ընդհանրացումն է այժմ արդեն սահբի դիֆրակցիոն մառազայթների համար:

3. Յուրաքանչյուր դիֆրակցիոն մառազայթ Հելմհոլցի կամ Մաքսվելի հավասարումների լուծման կարծալիքային մոտարկումն է և, հետևաբար, նկարագրվում է ԵՕ-ի օրենքներով:

— յուրաքանչյուր դիֆրակցիոն մառազայթ նկարագրվում է կոորդինատներից կախված դանդաղ փոփոխող ամպլիտուդով և արագ փոփոխող /օսցիլացող/ փուլային ֆունկցիայով՝

$$U = A e^{ik\psi}, \quad \vec{E} = \vec{A} e^{ik\psi}, \quad \vec{H} = \vec{B} e^{ik\psi} \quad /2.4.1/$$

—  $\psi$  ֆունկցիան դիֆրակցիոն մառազայթի էյթոնալն է և Բավարում է էյթոնալի հավասարմանը: ինչպես և ԵՕ մառազայթը, դիֆրակցիոն մառազայթի էյթոնալը նույնպես ունի օպտիկական մանապարհի իմաստ՝

$$\psi(P_1, P_2) = \int_{P_1}^{P_2} \sqrt{\epsilon(\vec{r})} dl \quad /2.4.2/$$

— ինչպես ԵՕ մառազայթը, դիֆրակցիոն մառազայթը համասեռ միջավայրում ուղիղ գիծ է:

— Դիֆրակցիոն մառազայթի համար ալիքային մակերևույթի հասկացությունը ձևակերպվում է նույն ձևով, ինչպես ԵՕ-ում:

— Դիֆրակցիոն մառազայթի ամպլիտուդը, ինչպես ԵՕ մառազայթինը, Բավարում է փոխդրման հավասարմանը, ընդ որում, ինչպես ԵՕ-ում,  $\vec{E}$ ,  $\vec{H}$  և  $\vec{\Psi}$  ուղղութունները փոխուղղահայաց են:

— Անհամասեռ միջավայրում էլ եկտրամագնիսական դիֆրակցիոն մառազայթի Բեռնացման փոփոխությունն ըստ մառազայթի երկարության, նկարագրվում է նույն՝ ԵՕ-ի Բանաձևերով:

— Այն հանգամանքը, որ դիֆրակցիոն մառազայթի ամպլիտուդը որոշվում է փոխդրման հավասարումից, թույլ է տալիս, ինչպես ԵՕ-ում, դիտարկել այս հավասարումը՝ որպես էներգիայի պահպանման օրենք դիֆրակցիոն մառազայթային խողովակում և, ԵՕ-ի նմանությամբ, ընդգծել ԴԵՏ-ում դիֆրակցիայի լուկալ Բնույթը:

4. Դիֆրակցիոն մառազայթի ամպլիտուդը համեմատական է այն ծրնող առաջնային մառազայթի ամպլիտուդին անկման /դիֆրակցիայի/ կետում՝

$$U_r = \frac{e^{ikd}}{\sqrt{J}} D(\theta, \varphi; \alpha, \beta) U_{inc} \quad /2.4.3/$$

/2.4.3/ հավասարման մեջ  $S$  -ը դիֆրակցիոն մառազայթի էյթոնալն է,  $\psi$  -ն՝ մառազայթային կոորդինատներին անցնելու յակոբիանը,  $U_{inc}$ -ը՝ ընկնող դաշտի ամպլիտուդը դիֆրակցիայի կետում. /ողորկ մարմնի դեպքում այն կետում, որտեղից ծայր է առնում ,,մակերևութային,, մառազայթը/:  $D(\theta, \varphi; \alpha, \beta)$  ֆունկցիան անվանվում է դիֆրակցիայի գործակից /անդրադարձման և Բեկման գործակիցների համաբանությամբ/ և նկարագրում է դիֆրակցիոն դաշտի Բաշխվածությունը՝ կախված անկման / $\alpha, \beta$ / և դիֆրակցիայի / $\theta, \varphi$ / անկյուններից: Էլեկտրամագնիսական ալիքների համար  $D$  -ն երկրորդ կարգի մատրից է:

5. Դիֆրակցիայի  $D$  գործակիցը /մատրիցը/ որոշվում է՝ ելնելով մարմնի երկրաչափական առանձնահատկություններից դիֆրակցիայի կետի շրջակայքում /սայրի և եզրի համար/ կամ ողորկ մարմնի երկրաչափական առանձնահատկություններով ,,մակերևույթի մառազայթի,, շրջակայքում:

Այս պոստուլատներից հետևում է, որ տվյալ դիֆրակցիոն մառազայթին համապատասխանող դաշտը առաքվում է մի ,,աղբյուրի,, կողմից՝ տեղադրված այդ մառազայթի ելման կետում: Տարբեր դիֆրակցիոն մառազայթների կհամապատասխանեն տարբեր ամպլիտուդ ունեցող ,,աղբյուրներ,, ըստ որում  $D$  -գործակիցը այն աղ,,աղբյուրի,, ամպլիտուդն է, որն առաքում է դիֆրակցիոն մառազայթ  $\theta, \varphi$  ուղղությամբ, եթե միավոր ամպլիտուդով սկզբնական ալիքը տարածվում էր  $\alpha, \beta$  ուղղությամբ:

Դիֆրակցիայի երկրաչափօպտիկական տեսությունը, հիմնված վերոհիշյալ հինգ պոստուլատների վրա, առաջինը ձևակերպեց Ջ.Բ.Բեկերը

1953 թվականին:

Այսպիսով, ԴԵՏ-ը հիմնավորված է ԵՕ-ի օրենքներով: Մասնավորապես՝ 3-րդ պատուհանը ԵՕ ճառագայթների տարածման և մյուս օրինաչափությունների ընդհանրացումն է դիֆրակցիոն ճառագայթների համար:

ԵՕ-ի և ԴԵՏ-ի միջև էական տարբերությունը առաջինի՝ անդրադարձման ու Բեկման օրենքների և երկրորդի՝ դիֆրակցիայի օրենքի որակական տարբերությունն է: ԴԵՏ-ում դիֆրակցիոն ալիքի փուլը /դիֆրակցիոն ճառագայթի էյքոնալը/ որոշվում է Ֆերմայի ընդհանրացված սկզբունքից, իսկ ամպլիտուդը՝ էվրիստիկական եղանակով, կողմնակի մանապարհով ըստացված դիֆրակցիոն գործակցի /մատրիցի/ օգնությամբ: Նույնքանով, որքանով ԵՕ-ում Ֆրենելի անդրադարձման ու Բեկման գործակիցները որոշվել են անդրադարձած ու Բեկված ճառագայթների ամպլիտուդների համար, նույնքանով էլ դիֆրակցիոն գործակիցը /մատրիցը/ որոշվել է դիֆրակցիոն ճառագայթի ամպլիտուդի համար:

Այսպիսով, դիֆրակցիայի խնդիր լուծել ԴԵՏ-ի մոտավորությամբ՝ կնշանակի կարողանալ ինչ-որ եղանակով գտնել համապատասխան դիֆրակցիոն գործակիցը /մատրիցը/: Օրինակ, կորագիծ եզրերով էկրանի դեպքում ընկնող հարթ ալիքի դիֆրակցիոն գործակիցը որոշվում է այդ կորագիծ եզրի ավյալ կետում նրան շոշափող ուղղագիծ կիսաճարձկանի համար Ջոմեր-Ֆելդի Օշգրիտ լուծման կարծալիքային մոտարկումից: Նման քայլը հիմնավորված է ԴԵՏ-ում դիֆրակցիայի լուկալ Բնույթով, իսկ Ջոմեր-Ֆելդի խընդիրը այն մոդելային խնդիրն է, որը ավյալ դեպքում օգնում է այսպիսի էվրիստիկական եղանակով որոշել դիֆրակցիոն գործակիցը: Ասվածից հետևվում է ԴԵՏ-ի կիրառելիության սահմանափակումներից մեկը. քանի որ դիֆրակցիոն գործակիցները /կամ մատրիցները/ որոշվում են մոդելային խնդիրների հայտնի լուծումներից, ապա ԴԵՏ-ի կիրառելիությունը սահմանափակված է այսպիսի լուծումների եղանակով: Հայտնի են մի քանի մոդելային խնդիրներ՝ վերը քննարկված խնդիրը, խնդիրները սեպի և անվերջ գլանի համար: Որոշ դեպքերում կարելի է օգտվել նաև մոդելային խնդիրների մոտավոր լուծումներից:

Ջոմեր-Ֆելդի երկչափ խնդիր կարծալիքային մոտարկման լուծումներից ստացվող դիֆրակցիոն գործակիցների արտահայտությունները տարամիտում էին լույս-ստվերի սահմանին՝  $\theta = \pi \pm \delta$ , ուղղություններում: Այսպիսով՝ ԴԵՏ-ը իր սկզբնական ձևով կիրառելի չէ լույս-ստվերի սահմանին: Մյուս կողմից՝ 2.3 պարագրաֆում ցույց արվեց, որ դիֆրակցիոն դաշտի համար կարելի է գրել անալիտիկ արտահայտություններ՝ էյքոնալներից կախված Ֆրենելի Ֆունկցիաների կոմբինացիաների տեսքով, որոնք վերջավոր են լույս-ստվերի սահմանին /կիսաստվերային դաշտ/: Ջոմեր-

Ֆելդի ստացած Բանաձևերը, այս առումով, դիտվում են որպես ,,հավասարաչափ,, մոտարկումներ, որոնք ուղղագիծ եզրերով էկրանի մասնավոր դեպքում համընկնում են Օշգրիտ լուծմանը:

Այսպիսով, ԴԵՏ-ը կարելի է կիրառել լույս-ստվերի սահմանին ևս, եթե հարավոր է համապատասխան կիսաստվերային դաշտը ներկայացնել, օրինակ, էյքոնալներից կախված Ֆրենելի Ֆունկցիաների կոմբինացիայի տեսքով:

Ընդհանրացնելով սաժը՝ ձևակերպենք ԴԵՏ-ի մոտավորությամբ խընդիրների լուծման ալգորիթմը:

1. Լուծումը փնտրվում է որպես ճառագայթային դաշտերի՝

$$U = \sum_n A_n e^{ikY_n} = \sum_n U_n \quad /2.4.4/$$

գումար, որոնցից մեկը առաջնային դաշտն է և որոնցից յուրաքանչյուրը գրոյից տարբեր է տարածության մի տիրույթում, որի սահմաններն են, մեկը՝ դիֆրակցող մարմնի մակերևույթը, մյուսը՝ ավյալ գումարելուն համապատասխանող դաշտի լույս-ստվերի սահմանը:

2. Բոլոր գումարելիները /2.4.4-ում/, Բացառությամբ առաջինի, որը համարվում է տրված, որոշվում են առաջնային /ընկնող/ դաշտից կամ ԵՕ-ի, կամ դիֆրակցիոն դաշտերի /ճառագայթների/ առաջացման՝ ԴԵՏ-ի օրենքներով:

/2.4.4/ արտահայտության մեջ համապատասխան անդրադարձած, Բեկված կամ դիֆրակցիոն դաշտերը կարող են ծագել ոչ միայն առաջնայինից, այլև անդրադարձումների, դիֆրակցիաների, Բեկումների Բարդ հաշորդականությունից: Անմիջականորեն առաջնայինից ստացված դաշտերը կոչվում են համապատասխանորեն՝ առաջնային անդրադարձած, առաջնային Բեկված, առաջնային դիֆրակցիոն: Այն ալիքները, որոնք ստացվում են առաջնային անդրադարձած ալիքի անդրադարձումից, կոչվում են կրկնակի անդրադարձած, առաջնային դիֆրակցիոն ալիքի դիֆրակցիայից՝ կրկնակի դիֆրակցված և այլն:

3. Հետագոտվում են այն տարամիտումները, որոնք ստացվում են լույս-ստվերի սահմանին և կառուստիկաների վրա, համապատասխան ,,հավասարաչափ,, /շտարամիտող/ արտահայտություններ ստանալու համար:

Հասկանալի է, որ ալգորիթմի վերջին՝ երրորդ կետը, իրացվում է այն դեպքերում, երբ հետաքրքրություն են ներկայացնում, հատկապես, լույս-ստվերի և կամ կառուստիկական տիրույթները:

2.5. Գիժրակցիոն մառազայթների /ալիքների/ դասակարգումը:

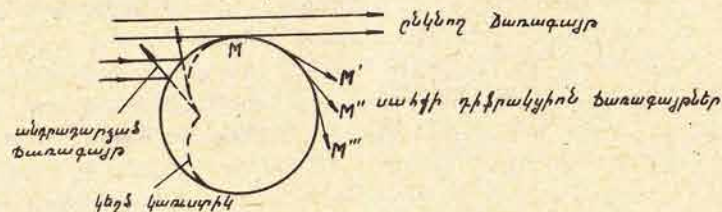
Կիսասովերային դաշտերի կիրառութունը դիժրակցիայի

երկչափ խնդրում

Ընդհանրացնելով վերը քննարկածը և հիմնվելով ԳԵՏ-ի պոստուլատների վրա՝ դասակարգենք դիժրակցիոն ալիքները ըստ նրանց առաջացման եղանակների՝ Բնորոշելով յուրաքանչյուր դասի հիմնական առանձնահատկութունները:

Սահբի ալիքներ:

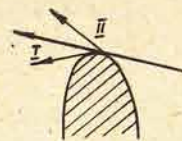
Գիժրակցող մարմնի մակերևույթը ողորկ է: Լույս-սովերի սահմանն առաջացնում են մարմինը շոշափող առաջնային մառազայթները /սկ.13/, որոնց համար, հասկանալի է, անդրադարձածի և առաջնայինի հատկութունները



սկ. 13

վերանում են: Հորիզոնի M կետին մոտենալուն զուգընթաց՝ անդրադարձած մառազայթի կեղծ կառուցիկը ընդհուպ մոտենում է մակերևութին և շոշափում իրական մառազայթը: Համապատասխան մառազայթային խողովակը անվերջ նեղանում է, որը հանգեցնում է ամպլիտուդի տարամիտման լույս-սովերի սահմանի ուղղությամբ: Կարելի է ցույց ծալ, որ այս տիրույթում դաշտը նկարագրվում է էլլիպի Ֆունկցիա պարունակող ինտեգրալ արտահայտութունների միջոցով: Ողորկ մարմնի սովերում առաջանում են սահբի դիժրակցիոն ալիքներ՝ հորիզոնից սկսվող, «մակերևութային», մառազայթից, յուրաքանչյուր կետում նրան տարած շոշափողներից, «պոկվող», սահբի մառազայթների փնջի տեսքով: Հիշյալ «մակերևութային», մառազայթը տրված մակերևույթի գեոդեզիական գիծն է:

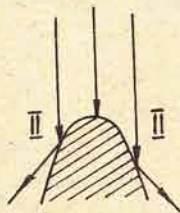
Եզրային ալիքներ: Երբ դիժրակցող մարմնի մակերևույթի կոնտուրի ածանցյալն ունի խզումներ, այդ խզման կետերում առաջանում են լույս-սովերի երկու սահմաններ /սկ. 14/:



սկ. 14

սկ. 14-ում այդ I և II սահմանները համապատասխանում են խզման կետից ելած երկու՝ եՅՕ մառազայթների՝ առաջնային / I / և անդրադարձած / II /:

Այն դեպքում, երբ մարմինը /դիտվում է կորագիծ սեպ/ լրիվ լուսավորվում է առաջնային մառազայթներով /սկ. 15/, առաջնային դաշտը չունի խզումներ, և երկու «լույս-սովեր», սահմանները պայմանավորված են



սկ. 15

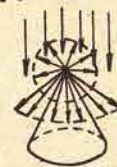
կորագիծ սեպի երկու նիստերից անդրադարձած մառազայթներով:

սկ. սկ. 14-ում և 15-ում պատկերված կորագիծ սեպերի կողքերը կիզակետային գծեր են եզրային ալիքների կոնգրուենցիայի համար: Այս դիժրակցիոն ալիքները հավասարակշռում են եՅՕ դաշտի խզումները, իսկ լույս-սովերի սահմանին լրիվ դաշտն արտահայտվում է Ֆրենելի ինտեգրալների միջոցով:

Վերը քննարկված կիսահարթության դեպքը կարելի է դիտել որպես կորագիծ սեպի խնդրի մասնավոր դեպք:

Գնդային դիժրակցիոն ալիք:

Այսպիսի ալիք դիտվում է, երբ մարմինը, որը «լուսավորված է», առաջնային դաշտով, ունի կոնական զագաթ /սկ. 16/:



սկ. 16

Լույս-սավերի սահմանն ստեղծվում է կոնի զազաթից ու շրջակայքից անդրադարձած մառազայթներով: ԵՕ Լուծման խզումները Լույս-սավերի սահմանին այս դեպքում հավասարակշռվում են գնդային դիֆրակցիոն ալիքով, որը տարածվում է կոնի զազաթից:

Ընդհանրապես դիֆրակցիոն ալիքները կարող են արտահայտվել թվարկված երեք հիմնական դասերի տարբեր կոմբինացիաների ձևով՝ կախված դիֆրակցող մարմնի առանձնահատկություններից և ընկնող մառազայթի ուղղութեան և այդ մարմնի փոխադրած դիրքից:

Ալիքների նշված երկու դասերին հատուկ է Լույս-սավերի սահմանը: Այս սահմանի շրջակայքում ամպլիտուդները ձգտում են անվերջության և, հետևաբար, ինչպես ԵՕ, այնպես էլ դիֆրակցիոն ալիքների հասկացություններն իմաստագրվում են: Սրանք անցումային տիրույթներ են ԵՕ և դիֆրակցիոն դաշտերի միջև և հետևաբար դաշտերն էլ այստեղ յուրահատուկ բնույթ ունեն: Դրանք կիսասավերային դաշտեր են:

**Կիսասավերային ալիքներ:** Ընդհանրապես կիսասավերային դաշտը շեմհույսի կամ Մաքսվելի հավասարումների այնպիսի Լուծումն է, որն անցումային տիրույթից դուրս մեղքվում է ԵՕ և դիֆրակցիոն ալիքների գումարի: Այն որոշելու համար անհրաժեշտ է ունենալ առաջնային ալիքը, այսինքն՝ սրա էյքոնալն ու ամպլիտուդը, Լույս-սավերի սահմանի հավասարումը և դիֆրակցիոն ալիքի էյքոնալը: Տվյալների այս հավաքածուով կարելի է որոշել կիսասավերային ալիքի տեսքը՝ ելնելով համապատասխան մոդելային խնդրի Լուծումից:

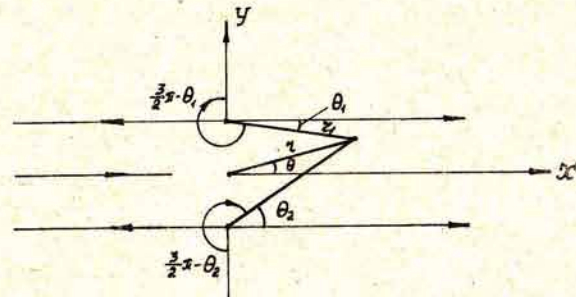
Երկչափ դեպքում կիսասավերային դաշտը նկարագրվում է ֆրենելի ֆունկցիաների օգնությամբ, որոնց արգումենտները առաջնային և դիֆրակցիոն ալիքների էյքոնալներն են: Սահքի դիֆրակցիայի դեպքում սկալյար ալիքների կիսասավերային դաշտերն արտահայտվում են էյքիի ֆունկցիաների միջոցով /այս դեպքում ստացվում է պարզ կաուստիկ, որի շրջակայքում դաշտերը նկարագրվում են էյքիի ֆունկցիայի օգնությամբ/: Հնարավոր է նաև ուրիշ /Բեսսելի ֆունկցիայի, Լեժանդրի Բազմանդամի և այլն՝ կախված խնդրի սիմետրիայից/ հատուկ ֆունկցիաների կիրառությամբ:

Կիսասավերային դաշտերի առաջացումը Բացատրվում է այն հանգամանքով, որ Լույս-սավերի սահմանում խմբվում են մակասների տարբեր կորույթուն ունեցող ալիքներ /օրինակ՝ հարթ ու գլանային, հարթ ու գնդային և այլն/, որոնց տարածման ուղղությունները համընկնում են: Հետևաբար ստեղծվում է իրավիճակ, երբ նույն ուղղությամբ տարածվում են ԵՕ և դիֆրակցված մառազայթներ, իսկ համապատասխան մառազայթային խողովակները փոփոխվում են տարբեր օրենքներով... առաջնում է խզում՝ առաջնային և դիֆրակցիոն ամպլիտուդների միջև: Իրական՝ դիավող ֆիզի-

կական պատկերում այս խզումը հարթեցվում է ամպլիտուդի լայնական, դիֆուզիայի, ձևով: Սրանով է պայմանավորված դիֆրակցիայի երևույթը:

Այսպիսով, կիսասավերային ալիքները միանգամայն ուրույն դեր ունեն դիֆրակցիայի խնդիրներում և պետք է դիտարկվեն որպես ալիքների /մառազայթների/ ինքնուրույն դաս:

Բնարկները կիսասավերային ալիքների կիրառման մեկ պարզ օրինակ: Դիցուք, հարթ էկրանի  $2a$  լայնությամբ ունեցող մեղքին, նրա հարթությանն ուղղահայաց  $x$  առանցքի ուղղությամբ, ընկնում է հարթ ալիք /նկ. 17/:



նկ. 17

Դիտարկենք  $E$  Բևեռացված ալիքը և գրենք սրա  $E_x$  Բաղադրիչի համար ԵՕ արտահայտությունը՝

$$E_{x0} = e^{ikx} [\chi(\theta_1) - \chi(\theta_2)] - e^{-ikx} [\chi(\theta_1 - \pi) - \chi(\theta_2 - \pi)] \quad /2.5.1/$$

2.3-ում առաջարկված ձևով: Կառուցենք արտահայտություն /2.5.1/՝ ԵՕ դաշտին համապատասխանող կիսասավերային դաշտի համար, պարագրաֆ 2.3.-ում ստացված /2.3.7/ կիսասավերային ալիքի արտահայտության նմանությամբ: Որոշենք նախ՝ էյքոնալները: Ընկնող մառազայթի էյքոնալը՝  $\Psi_{0y} = -x$ , ըստ նկ.17-ի՝  $x$  -ն է, անդրադարձածինը՝  $\Psi_{0y} = -x$ : Եզրային մառազայթների էյքոնալները՝ որպես ուղղագիծ եզրից տարածվող գլանային ալիքի էյքոնալներ, կլինեն  $\Psi_{1y} = z_1 - x$  և  $\Psi_{2y} = z_2 - x$ : Եզրային մոտավորությամբ, այսինքն՝ արհամարհենք եզրերի միջև Բազմակի դիֆրակցիաների ներդրումը և գրենք՝

$$E_x = \frac{e^{-i\frac{\pi}{4}}}{\sqrt{\pi}} \left\{ e^{ikx} [F(-\sqrt{k(z_1-x)}) - F(\sqrt{k(z_2-x)})] - e^{-ikx} [F(\sqrt{k(z_1+x)}) - F(\sqrt{k(z_2+x)})] \right\} \quad /2.5.2/$$



2.5.2/ արտահայտության մեջ Ֆրենելի Ֆունկցիաների արգումենտների նշանները համապատասխանում են նկ. 17-ում պատկերված  $P$  կետի դիրքին: Եթե, օրինակ,  $P$  կետը շեղվի վեր, հասելով լույս-ստվերի սահմանը,  $\sqrt{k(z-x)}$ -ը կփոխի իր նշանը և կդառնա դրական /ստվերում/, մյուսները կպահպանեն իրենց նշանները:

2.5.2/ Լուծումը Բավարարում է Հելմհոլցի հավասարմանը, ըստ որում այն գումարելիները, որոնք կախված են  $z_1$ -ից, Բավարարում են Դիրիխլեի եզրային պայմանին էկրանի վերին մասի վրա, իսկ այն գումարելիները, որոնք կախված են  $z_2$ -ից՝ ներքևի մասի: Եթե կիսաստվերային դաշտերը, զրված 2.3.7/ տեսքով, մեկ կիսահարթության դեպքում համընկնում են ստույգ լուծմանը, ապա 2.5.2/ լուծումը դառնում է մոտավոր: Այն չի Բավարարում եզրային պայմանին ամենուր, այլ երկու տարբեր էկրանների համար զրված անկախ լուծումների գծային վերադրում է: Այլ խոսքով՝ 2.5.2/ տեսքով զրված լուծման մեջ հաշվի չի առնված երկու էկրանների փոխազդեցությունը, այն է՝ Բազմակի դիֆրակցիան առաջին և երկրորդ եզրերի միջև: Այս դաշտերի լույս-ստվեր սահմանը ուղղահայաց է ընկնող և անդրադարձած ճառագայթների լույս-ստվեր սահմանին և չի կարող անակնկալների Բերել տարածության մեզ հետաքրքրող տիրույթում  $/x > 0/$ : Մյուս կողմից՝ Բազմակի դիֆրակցված ալիքների ամպլիտուդները ընկնող ալիքի ամպլիտուդի նկատմամբ շատ ավելի փոքր են՝  $(\frac{1}{\sqrt{kz}})^n$  կարգի, որտեղ  $n$ -ը դիֆրակցիայի կարգն է: Սրանով է հիմնավորված Բազմակի դիֆրակցված ալիքների ներդրման արհամարհումը և 2.5.2/ լուծման մոտավորությունը:

$x > 0$  տիրույթում 2.5.2/ արտահայտության երկրորդ գումարելին չունի խզումներ և տարամիտություններ և իմաստ ունի դիտարկելու միայն առաջինը՝

$$\tilde{E}_z = \frac{e^{i(kx - \frac{\omega}{c}t)}}{\sqrt{\pi}} \left\{ F(-\sqrt{k(z-x)}) - F(\sqrt{k(z_2-x)}) \right\} \quad /2.5.3/$$

Պարզ ձևափոխություններից հետո կարելի է գրել՝

$$\tilde{E}_z = \frac{e^{i(kx - \frac{\omega}{c}t)}}{\sqrt{\pi}} \int_{-\sqrt{k(z-x)}}^{\sqrt{k(z_2-x)}} e^{iM^2} dM \quad /2.5.3, a/$$

տեսքով:

2.2 պարագրաֆում արվածի նմանությամբ՝ առանձնացնենք այն տիրույթները, որտեղ կիրառելի չեն  $b0$  և  $\gamma bS$ -ի պատկերացումները /եզրային ալիքները և ճառագայթները/:  $x > 0$  տիրույթում /նկ. 17/, երբ ընկնող

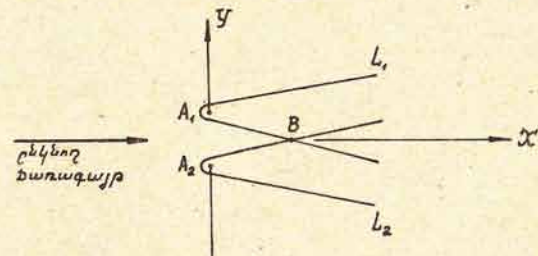
ու անդրադարձած ճառագայթների լույս-ստվեր սահմանները համընկնում են, առաջանում են երկու այդպիսի տիրույթներ, որոնք համապատասխանում են ընկնող ալիքի լույս-ստվերի սահմանների առաջին ու երկրորդ եզրերի համար՝

$$\sqrt{k(z_1-x)} = const \quad /2.5.4/$$

և

$$\sqrt{k(z_2-x)} = const \quad /2.5.5/$$

նկ. 18-ում այս տիրույթները պատկերված են  $L_1$  և  $L_2$  պարաբոլներով՝



նկ. 18

Կիրառական նպատակների համար Բավական է 2.5.4/ ու 2.5.5/ հավասարումների աջ մասում զրված հաստատունը ընտրել հավասար  $\sqrt{\pi}$ -ի, որպեսզի  $L_1$  և  $L_2$  պարաբոլներով պարփակված տիրույթից դուրս հնարավոր լինի սահմանափակվել Ֆրենելի Ֆունկցիաների մոտարկային վերլուծության առաջին անդամով: Օգտվելով § 2.2-ի 2.2.7/ ու 2.2.9/ Բանաձևերից՝ կարող ենք գրել

$$F(-\sqrt{k(z-x)}) = \sqrt{\pi} e^{i\frac{\pi}{4}} - \frac{i e^{i k(z-x)}}{2\sqrt{k(z-x)}} + O\left(\frac{1}{k^{3/2}(z-x)^{3/2}}\right) \quad /2.5.6/$$

$$F(\sqrt{k(z_2-x)}) \approx \frac{i e^{i k(z_2-x)}}{2\sqrt{k(z_2-x)}} + O\left(\frac{1}{k^{3/2}(z_2-x)^{3/2}}\right) \quad /2.5.7/$$

Հաստատունի վերոհիշյալ ընտրության դեպքում՝

$$O\left(\frac{1}{k^{3/2}(z-x)^{3/2}}\right) \leq \frac{1}{\pi^{3/2}} = 0,172$$

այսինքն՝ Ֆրենելի Ֆունկցիաների մոտարկային վերլուծության առաջին անդամով սահմանափակվելու սխալանքը հաստատունի  $\sqrt{\pi}$  արժեքի համար

17 % է, ինչը գործնականորեն ընդունելի է:

Տեղադրելով /2.5.6/ և /2.5.7/ վերլուծությունները /2.5.3/-ում

կստանանք

$$\begin{aligned} \tilde{E}_z &= e^{ikx} - \frac{i}{2} \left( \frac{e^{ik(z-x)}}{\sqrt{k(z-x)}} - \frac{e^{ik(z_2-x)}}{\sqrt{k(z_2-x)}} \right) = \\ &= e^{ikx} + O\left(\frac{1}{\sqrt{k(z-x)}}\right) \end{aligned} \quad /2.5.8/$$

Այստեղ փակագծերում գրված արտահայտությունները համապատասխանում են առաջին ու երկրորդ եզրերից տարածվող զլանային ալիքների, որոնց ամպլիտուդը զգալիորեն ավելի փոքր է ընկնող ալիքի՝  $e^{ikx}$  -ի ամպլիտուդից:

Նախ՝ որոշենք նկ.18-ում պատկերված  $A, BA_2$  տիրույթի հորիզոնական շափսը /հեռավորությունը էկրանից/, որտեղ, ըստ ասվածի, /2.5.8/ արտահայտությունը կնկարագրի դաշտը: Եթե  $\theta$  անկյունը լայնությունը հավասար է  $2a$ -ի, ապա  $z_1 = \sqrt{(a-y)^2 + x^2}$  և  $z_2 = \sqrt{(a+y)^2 + x^2}$ : Համաձայն /2.5.4/ ու /2.5.5/ պայմանների՝ ստանում են երկու հավասարումներ՝

$$k \sqrt{(a-y)^2 + x^2} = \pi + kx \quad /2.5.9/$$

և

$$k \sqrt{(a+y)^2 + x^2} = \pi - kx \quad /2.5.10/$$

/2.5.9/ ու /2.5.10/ պարբերությունների համար  $B$  կետը, խնդրի սիմետրիայից ելնելով,  $y=0$  կետն է:  $X$  - կոորդինատի համապատասխան արժեքը / $A, BA_2$  տիրույթի հորիզոնական շափսը/ որոշվում է /2.5.9/ կամ /2.5.10/ հավասարման  $y=0$  պայմանից և հավասար է՝

$$X = \frac{a^2}{\lambda} - \frac{\lambda}{4} \quad /2.5.10/$$

$L_1$  և  $L_2$  պարբերությունների կիզակետերը գտնվում են համապատասխան էկրանների եզրերին / $O_1$  և  $O_2$  կետերը/, զազաթները՝ սրանցից  $\frac{\lambda}{4}$  հեռավորության վրա:  $A, BA_2$  տիրույթի հորիզոնական շափսը հավասար է, այսպիսով,  $\frac{a^2}{\lambda}$  -ի:

Այս մեծությունն անվանում են Ֆրենելի պարամետր, և կարելի է պնդել, որ հաստատունի կամայական արժեքների դեպքում  $A, BA_2$  տիրույթի հորիզոնական շափսը համեմատական է Ֆրենելի պարամետրին:

Ֆրենելի պարամետրի մեծությունը ցույց է տալիս, թե էկրանից ինչպիսի հեռավորության վրա են սկսում փոխազդել եզրային դիֆրակցիոն մտազայնները և առաջացնել Ֆրենելի ինտերֆերենցիոն պատկերը: Պարամետր-

ների  $L_1$  և  $L_2$  մյուկներով սահմանափակված ընդհանուր տիրույթը անվանվում է Ֆրենելի տիրույթ. այս տիրույթում դաշտը չի կարելի դիտել ոչ որպես հարթ ալիք և ոչ էլ որպես հարթ ու զլանային ալիքների վերադրում, հետևաբար, չի կարելի կիրառել ԵՕ և ԴԵՏ-ը իրենց սկզբնական ձևով:

Հետազոտենք դաշտը մեղքից շատ մեծ հեռավորությունների վրա, երբ իրավասու է  $\frac{X}{a} \ll 1$  անհավասարությունը: Հարմար է  $X$  և  $y$  կոորդինատներից անցնել  $X = z \cos \theta$  և  $y = z \sin \theta$  Բևեռային կոորդինատներին: Այդ դեպքում՝

$$\begin{aligned} \sqrt{k(z-x)} &= \sqrt{k} \sqrt{\sqrt{(a-z \sin \theta)^2 + z^2 \cos^2 \theta} - z \cos \theta} = \\ &= \sqrt{k} \sqrt{\sqrt{a^2 - 2az \sin \theta + z^2} - z \cos \theta} \approx \sqrt{k} \sqrt{z(1 - \cos \theta) - az \sin \theta} \approx \\ &\approx \sqrt{2kz} \sin \frac{\theta}{2} \left( 1 - \frac{a}{2z} \cot \frac{\theta}{2} \right) + O\left(\frac{a^2}{z^2}\right) \end{aligned} \quad /2.5.11/$$

և

$$\sqrt{k(z_2-x)} \approx \sqrt{2kz} \sin \frac{\theta}{2} \left( 1 + \frac{a}{2z} \cot \frac{\theta}{2} \right) + O\left(\frac{a^2}{z^2}\right) \quad /2.5.12/$$

Հաշվի առնենք այն հանգամանքը, որ  $\theta$  անկյան գրոյից տարբեր, նույնիսկ փոքր արժեքների դեպքում էլ էկրանից Բավականաչափ մեծ հեռավորության վրա  $P$  դիտման կետը /նկ. 17/ կտեղափոխվի դեպի վեր՝ հասելով լույս-սալների սահմանը: Ինչպես ասել էինք, այս դեպքում Ֆրենելի առաջին Ֆունկցիայի արգումենտի նշանը դաշտի /2.5.3/ արտահայտության մեջ կփոխվի՝ դառնալով դրական, իսկ /2.5.3,ա/ դաշտը կգրվի՝

$$\tilde{E}_z = \frac{e^{ik(x-\frac{\pi}{4})}}{\sqrt{\pi}} \int_{\sqrt{k(z-x)}}^{\sqrt{k(z_2-x)}} e^{i\mu^2} d\mu \quad /2.5.13/$$

տեսքով:

Կատարենք փոփոխականի փոխարինում /2.5.13/ ինտեգրալում՝

$$\begin{aligned} \mu &= \xi a \sqrt{\frac{k}{2z}} \cos \frac{\theta}{2} + \sqrt{2kz} \sin \frac{\theta}{2} \\ \xi &= \frac{\mu - \sqrt{2kz} \sin \frac{\theta}{2}}{a \sqrt{\frac{k}{2z}} \cos \frac{\theta}{2}} \end{aligned} \quad /2.5.14/$$

որից հետո /2.5.13/ արտահայտությունը կընդունի

$$\tilde{E}_z = \frac{e^{i(kx - 2kz \sin^2 \frac{\theta}{2} - \frac{\pi}{4})}}{\sqrt{2\pi z}} a \sqrt{k \cos \frac{\theta}{2}} \int_{-1}^1 e^{i k \xi a \sin \theta} e^{i \frac{k a^2}{2z} \xi^2 \cos^2 \frac{\theta}{2}} d\xi \quad /2.5.15/$$

տեսքը:

Քանի որ մենք դիտարկում ենք դաշտը էկրանից շատ մեծ հեռավորու-  
թյան վրա, ապա կարող ենք գրել՝

$$\frac{ka^2 \cos^2 \frac{\theta}{2}}{2z} \ll 1 \quad /2.5.16/$$

որտեղից

$$e^{i \frac{ka^2}{2z} \cos^2 \frac{\theta}{2}} \sim 1$$

և

$$\tilde{E}_z = \sqrt{\frac{2}{\pi}} \cos \frac{\theta}{2} \frac{\sin(ka \sin \theta)}{k \sin \theta} \frac{e^{i(kz - t)}}{\sqrt{kz}} \quad /2.5.17/$$

Ստացված արտահայտությունը  $\theta$  -ի ոչ շատ մեծ արժեքների համար /դիֆրակցիայի փոքր անկյուններ/ լիովին համընկնում է երկչափ Օեդջի համար Կիրխոֆի դիֆրակցիոն տեսության մոտավոր ստացված բանաձևին:

/2.5.16/ պայմանը խոսում է այն մասին, որ /2.5.15/ ինտեգրա-  
լում էքսպոնենտի քառակուսային Քաղաղրիչն արհամարհելի փոքր է: Գործ-  
նական խնդիրներում Բավական է սահմանափակվել

$$\frac{ka^2 \cos^2 \frac{\theta}{2}}{2z} \ll \frac{\pi}{4} \quad /2.5.18/$$

պայմանով, որից, մասնավորապես, հետևում է՝

$$z \gg \frac{4a^2}{\lambda} \quad /2.5.19/$$

պայմանը, որը զնախտում է Ֆրաունհոֆերյան տիրույթի ներքևի սահմանը:  
Այսպիսի հեռավորության վրա փուլի որոշման սխալանքը  $\frac{\pi}{4}$  -ի  
կարգի է:

Ամփոփենք: Կիսաստվերային դաշտի հասկացության օգնությամբ հնարա-  
վոր դարձավ նկարագրել երկչափ Օեդջի առաջացրած դիֆրակցիոն դաշտի էվո-  
լուցիան՝ սկսած էկրանի մոտակայքից մինչև հեռավոր տիրույթ. անմիջակա-  
նորեն էկրանի մոտակայքում այն ունենք ՅՕ Բնույթ /2.5.8 Բանաձևը/ աշ-  
նուհետև սկսվում են էական ինտերֆերենցիոն փոխազդեցությունները ՅՕ և  
եզրային ալիքների միջև միջանկյալ՝ Ֆրենելի տիրույթում /սրանք կարող  
են նկարագրվել 2.5.3 տիպի Բանաձևերով, ինչպես նաև 2.5.15 Բանաձևով/  
և, վերջապես, էկրանից շատ մեծ  $z \gg \frac{4a^2}{\lambda}$  / հեռավորությունների վրա՝  
Ֆրաունհոֆերյան տիրույթում, այն դառնում է մաքուր գլանային դիֆրակ-  
ցիոն ալիք՝ երկչափ Օեդջին հատուկ անկյունային Բաշխմանությամբ  
/2.5.17 Բանաձևը/:

Մենք մանրամասնորեն հիմնավորեցինք կիսաստվերային դաշտի հաս-  
կացության կարևորությունը ԴԵՏ-ում: Կիսաստվերային դաշտը ոչ միայն  
հնարավորություն է ընձեռում անհրաժեշտության դեպքում ազատվելու մո-  
տարկային լուծումներում առաջացող տարամիտումներից ու խզումներից,  
այլև Բացահայտելու նրանց ֆիզիկական Բովանդակությունը:

Խնդիրներ

1. /2.1.7/ Բանաձևում  $C$  կոնտուրը կարելի է դեֆորմացնել  $P(\cos \alpha)$   
Ֆունկցիայի անալիտիկության տիրույթում՝ նույնացնելով այն ամենաարագ  
վայրընթացի կորի հետ: Որոշել այս կորի հավասարումը:

Լուծում: /2.1.5, ա/ Բանաձևում նշանակենք  $d = d_1 + i\beta$  և գրենք  
փուլի արտահայտությունը  $f(d, \beta) = U(d, \beta) + iV(d, \beta)$  տեսքով: Ամենաա-  
րագ վայրընթացի ծանապարհը կորոշվի  $ch \beta \cos(\theta - d_1) = const$  հավասարումից:  
Կոշի-Ռիմանի պայմաններից հետևում է, որ  $\vartheta(d, \beta) = const$  կորի վրա  $U(d, \beta)$   
-ի փոփոխման արագությունը հավասար է զրոյի, երբ  $\frac{\partial f}{\partial d} = 0$ : Այս պայ-  
մանից որոշված կետը՝  $\theta = d_1$ , անվանում են ,,թամբային,, կետ: Այսպիսով  
ամենաարագ վայրընթացի կորը կոպլեքս հարթության վրա անցնում է  
 $\theta = d_1$ ,  $\beta = 0$  ,,թամբային,, կետով և հետևաբար ամենաարագ վայրըն-  
թացի կորը որոշվում է

$$ch \beta \cos(\theta - d_1) = 1$$

հավասարմամբ: Այս հավասարումից հետևում է, որ երբ  $\beta \rightarrow \infty$  /1/  
կորը ձգտում է  $d_1 = \theta - \frac{\pi}{2}$  սահմափոսանքին: Գրենք /1/ հավասարումը  
 $F(d(\theta), \beta(\theta))$  ոչ Բացահայտ տեսքով և հաշվենք սրա ածանցյալը:  
Օգտվելով /1/ հավասարումից՝ կստանանք

$$\frac{\partial F}{\partial d} \frac{\partial d}{\partial \theta} + \frac{\partial F}{\partial \beta} \frac{\partial \beta}{\partial \theta} = 0,$$

$$\frac{\partial \beta}{\partial d} = - \frac{\partial F / \partial d}{\partial F / \partial \beta} = - \frac{ch \beta}{sh \beta} tg(\theta - d) = - ch \beta$$

$$\text{երբ } \beta = 0, \quad \frac{\partial \beta}{\partial d} = -1:$$

Այսպիսով՝ /1/ կորը հատում է իրական առանցքը  $-\frac{\pi}{2}$  անկյան  
տակ  $\theta = d_1$  կետում և ձգտում է  $d_1 = \theta - \frac{\pi}{2}$  սահմափոսանքին, երբ  $\beta \rightarrow \infty$ :

2.  $U = e^{ikz}$  հարթ ալիքն ընկնում է անվերջ իդեալական հաղորդիչ  
էկրանին՝ սրա հարթության ուղղահայաց: Ելնելով ԴԵՏ-ի պոստուլատներ-



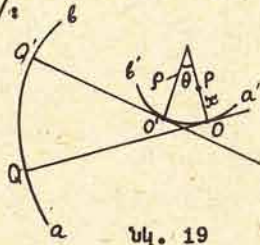
ԱԼԻԲԱՏԻՆ ՊԱՐՃԱԼԻԲԱՏԻՆ ՀԱՎԱՄԱՐԱԶԱԾ ՄՈՏԱՐԿԱՄԱՆ ՄԵԹՈԴՆԵՐԸ

3.1. Դիֆրակցիոն դաշտը միաձյուղ պարզ կաուստիկի շրջակայքում

և նրա կարծալիքային մոտարկային վերլուծությունը

Մեր նպատակն է ընդհանրացնել կիսաստվերային ալիքի հասկացությունը՝ վերանալով դիֆրակցիոն մոտարկայինների առաջացրած կաուստիկի ձևից: Ինչպես լույս-ստվեր սահմանին, այնպես էլ այստեղ, ալիքի կիսաստվերային բնույթը պայմանավորված է նրանով, որ անալիտիկ ու հավասարաչափ /շտարամիտող/ մոտարկային արտահայտություններով նկարագրելով դաշտի վարքը կաուստիկներին անմիջականորեն հարող տիրույթներում և սրանց վրա՝ կաուստիկներից հեռու, ալիքը վերածվում է երկրաչափաօպտիկականի և որոշվում ԾՕ-ի օրենքներով: Այսպիսի կիսաստվերային ալիքները անվանում ենք դաշտերի կիզակետային, կիզագծային կամ կաուստիկական վերլուծություններ: Կաուստիկի ձևից կախված՝ ավյալ կաուստիկական վերլուծությունը կարողանալի որոշակի անալիտիկ ֆունկցիայի միջոցով: Այլ խոսքով՝ կաուստիկական վերլուծությանը մասնակցող ֆունկցիայի տեսքը հիմնականում որոշվում է ինտրի սիմետրիայի հատկություններից:

Քննարկենք պարզ կաուստիկի երկչափ դեպք: Դիցուք՝ զոգավոր  $ab$  ալիքային ծակատին համապատասխանող կաուստիկը /նրա էվոլյուցիոն/ կորն է /նկ. 19/:



Գրենք ալիքին համապատասխանող դաշտի արժեքը  $P$  կետի շրջակայքում՝ Ելնելով Հյուգենս-Կիրիսոֆի ինտեգրալից՝

$$U(P) = \int U e^{iKR} dl \quad /3.1.1/$$

տեսքով, որտեղ ընդհանրապես ֆունկցիան կախված է ալիքային ծակատի

կետերից մինչև  $P$ . կետը եղած  $R$  հեռավորությունից: նկ. 19-ում ինտեգրումը կատարվում է ըստ  $ab$  կորի  $l$  երկարության:

Ինչպես ասել էինք՝  $a'b'$  կաուստիկը  $ab$  կորի էվոլյուցիոն է, և էվոլյուցիոն հատկության համաձայն

$$Q'O' + \nu Q'O = QO \quad /3.1.2/$$

որտեղ  $QO$  -ն և  $Q'O'$ -ը կաուստիկը շոշափող մտազայիններն են՝ ուղղահայաց  $ab$  կորին:  $\rho$  -ն կաուստիկի կորությունն է  $O$  կետում,  $\nu Q'O = \rho\theta$  և  $Q'O' = D - \rho\theta$ : Ալիքային մակերևույթի վրայի  $Q'$  կետից մինչև  $O$  կետը եղած հեռավորությունը /երբ  $\theta$  և  $Q'$  կետերը շատ հեռու չեն միմյանցից:  $\theta \ll 1$  և  $D$ -ն Բավականաչափ մեծ է/ կլինի՝

$$Q'O' \approx Q'O + \rho \sin \theta \approx D - \rho\theta + \rho\theta - \rho \frac{\theta^3}{6} = D - \rho \frac{\theta^3}{6}$$

և հետևաբար՝

$$R = Q'P \approx Q'O - x \sin \theta = D - \rho \frac{\theta^3}{6} - x\theta \quad /3.1.3/$$

որտեղ  $x$  -ը դիտման կետի՝ կաուստիկից ունեցած  $OP$  հեռավորությունն է: Քանի որ  $dl \sim d\theta$  և առանց մեծ սխալ թույլ տալու ինտեգրալի սահմանները շատ կարճ ալիքների համար կարելի է համարել անվերջ մեծ, արհամարհենք արագ փոփոխվող էքսպոնենտի նկատմամբ դանդաղ փոփոխվող արտադրիչի ներդրումը ինտեգրալի արժեքում և գրենք՝

$$U(P) = e^{iKD} \int_{-\infty}^{\infty} e^{-iK(x\theta + \rho \frac{\theta^3}{6})} d\theta \quad /3.1.4/$$

Ստացված ինտեգրալը կոչվում է Էյրիի ինտեգրալ: Այն կարելի է Բեռել կանոնական տեսքի՝ կատարելով փոխարինում

$$\frac{\rho\theta^3}{6} = \frac{\tau^3}{3}, \quad x\theta = \tau\xi, \quad \xi = x \sqrt{\frac{3}{2\rho K^2}}$$

Կասանանք

$$U(P) \approx e^{iKD} \int_{-\infty}^{\infty} e^{-iK(\tau\xi + \frac{\tau^3}{3})} d\tau \quad /3.1.5/$$

կամ

$$U(P) \approx \frac{e^{iKD}}{K^{2/3}} \int_{-\infty}^{\infty} e^{-i(K^{2/3}\xi\tau + \frac{\tau^3}{3})} d\tau = e^{iKD} \omega(-K^{2/3}\xi) \quad /3.1.5,ա/$$

որտեղ՝  $\xi = K^{1/3}\tau$ :

Այսպիսով՝ պարզ, միաձյուղ կաուստիկի շրջակայքում դաշտի օրինաչափությունները նկարագրվում են Էյրիի ֆունկցիայի միջոցով:

$\omega(-K^{2/3}\xi)$  ֆունկցիայի բնույթը օսցիլացող է  $\xi < 0$  տիրույթում, իսկ  $\xi > 0$  տիրույթում այն մոնոտոն է և նվազող:  $\xi < 0$  տիրույթը

/  $x < 0$  նկ. 19-ում / լուսի տիրույթն է՝ ծառայածային տիրույթը, իսկ  $\xi > 0$  տիրույթը /  $x > 0$  նկ. 19-ում / կառուստիկական սավերի տիրույթն է, որտեղ ծառայածայինը չկան և դաշտի արժեքը մոտոտոն կերպով նվազում է կառուստիկից հեռանալիս: Իրոք՝  $\omega(-k^{2/3}\xi)$  Ֆունկցիայի կարծա-  
լիքային մոտարկումը /  $k^{2/3}\xi \gg 1$  /  $\xi$  -ի Բացասական արժեքների համար ունի

$$\omega(-k^{2/3}\xi) \sim \frac{\cos[k(-\xi)^{3/2} - \frac{\pi}{4}]}{k^{1/3}(-\xi)^{1/4}} \quad /3.1.6/$$

տեսքը, իսկ  $\xi > 0$  տիրույթում այն գրվում է

$$\omega(-k^{2/3}\xi) = \frac{i}{k^{1/3}\xi^{1/4}} e^{-\frac{2}{3}k\xi^{3/2}} \quad /3.1.7/$$

ձևով:

$\xi = 0$ -ն այն կառուստիկի հավասարումն է, որտեղ /3.1.6/ և /3.1.7/ մոտարկային արտահայտությունները կորցնում են իրենց իմաստը:

Էյրիի Ֆունկցիան Բավարարում է

$$\omega''(-k^{2/3}\xi) - k^{2/3}\omega(-k^{2/3}\xi) = 0 \quad /3.1.8/$$

հավասարմանը: Դիտարկենք երկրորդ կարգի դիֆերենցիալ հավասարման ավելի ընդհանուր ձևը՝

$$\frac{d^2 f(\xi)}{d\xi^2} + d(\xi) \frac{df(\xi)}{d\xi} + k^2 \beta(\xi) f(\xi) = 0 \quad /3.1.9/$$

Եթե որպես  $f(\xi)$  Ֆունկցիա ընտրենք էյրիի  $\omega(-k^{2/3}\xi)$  Ֆունկցիան, այսինքն՝

$$f(\xi) = \omega(-k^{2/3}\xi), \quad f'(\xi) = -k^{2/3}\omega'(-k^{2/3}\xi), \quad f''(\xi) = k^{4/3}\omega''(-k^{2/3}\xi)$$

ապա /3.1.9/ հավասարումից կստացվի

$$\omega''(-k^{2/3}\xi) - d(\xi)k^{2/3}\omega'(-k^{2/3}\xi) + k^{2/3}\beta(\xi)\omega(-k^{2/3}\xi) = 0 \quad /3.1.9, ա/$$

հավասարումը, որի համադրումից /3.1.8/ հավասարմանը, եզրակացնում ենք՝

$$d(\xi) = 0, \quad \beta(\xi) = -\xi \quad /3.1.10/$$

Այսպիսով, ելնելով /3.1.9/ հավասարումից, կառուստիկի հավասարումը կարելի է գրել

$$\beta(\xi) = 0 \quad /3.1.11/$$

ձևով:

Ընդունելով /3.1.9/ հավասարումը որպես էյրիի Ֆունկցիայի հավասարման ավելի ընդհանուր ձև /երբ  $d(\xi) = 0$  և  $\beta(\xi) = -\xi$  /, գրենք  $f(\xi)$  Ֆունկցիայի կարծալիքային մոտարկումը, օգտվելով /3.1.6/ արտահայտությունից՝

$$f(\xi) = \text{const} \cdot \frac{\cos[k \int_0^\xi \sqrt{\beta(\xi)} d\xi - \frac{\pi}{4}]}{\sqrt{\beta(\xi)}} \quad /3.1.12/$$

Օգտվելով  $f'(\xi) = -k^{2/3}\omega'(-k^{2/3}\xi)$  կապից՝ իսկույն կարող ենք գրել նաև

$$f'(\xi) = -\text{const} \cdot k \sqrt{\beta(\xi)} \sin[k \int_0^\xi \sqrt{\beta(\xi)} d\xi - \frac{\pi}{4}] \quad /3.1.13/$$

Այժմ ցույց տանք, որ /3.1.12/ /3.1.13/ մոտարկումը /3.1.9/ հավասարման լուծման կարծալիքային մոտարկման ընդհանուր տեսքի մասնավոր դեպքն է:

Փնտրենք /3.1.9/ հավասարման լուծումը՝

$$f(\xi) = e^{ikS(\xi)} \quad /3.1.14/$$

տեսքով: Տեղադրելով /3.1.14/-ը /3.1.9/-ում՝ կստանանք

$$\left(\frac{dS}{d\xi}\right)^2 - \beta(\xi) + \frac{1}{ik} \left[ \frac{d^2 S}{d\xi^2} + d(\xi) \frac{dS}{d\xi} \right] = 0 \quad /3.1.15/$$

հավասարումը: Գրենք  $S(\xi)$  Ֆունկցիան Դեբայի վերլուծությունյան ձևով՝  $\frac{1}{ik}$  -ի աստիճանների շարքի միջոցով՝

$$S(\xi) = \sum \frac{S_n(\xi)}{(ik)^n}$$

որից հետո կստանանք

$$\begin{aligned} & \left(\frac{dS_0}{d\xi}\right)^2 - \beta(\xi) + \frac{1}{ik} \left[ \frac{d^2 S_0(\xi)}{d\xi^2} + d(\xi) \frac{dS_0(\xi)}{d\xi} + 2 \frac{dS_0(\xi)}{d\xi} \frac{dS_1(\xi)}{d\xi} \right] + \\ & + \frac{1}{(ik)^2} \left[ \frac{d^2 S_1(\xi)}{d\xi^2} + d(\xi) \frac{dS_1(\xi)}{d\xi} + \frac{dS_2(\xi)}{d\xi} + 2 \frac{dS_0(\xi)}{d\xi} \frac{dS_2(\xi)}{d\xi} \right] + \dots \quad /3.1.16/ \end{aligned}$$

մոտարկային շարքը:

Ջրոյական մոտավորությամբ /ըստ  $\frac{1}{ik}$  -ի աստիճանների/ /3.2.16/-ից ունենք

$$\frac{d^2 S_0(\xi)}{d\xi^2} = \pm \sqrt{\beta(\xi)}, \quad S_0 = \pm \int \sqrt{\beta(\xi)} d\xi \quad /3.1.17/$$

որը միշտ է, եթե տեղի ունի

$$\left(\frac{dS}{d\xi}\right)^2 \gg \frac{1}{ik} \left| \frac{d^2 S(\xi)}{d\xi^2} + d(\xi) \frac{dS(\xi)}{d\xi} \right|$$

անհավասարությունը:

/3.1.16/ մոտարկային վերլուծութիւնից առաջին /ըստ  $\frac{1}{iK}$ -ի աստիճանների/ մոտավորութեամբ ստանում ենք՝

$$\frac{d^2 S_0(\xi)}{d\xi^2} + \alpha(\xi) \frac{dS_0(\xi)}{d\xi} + 2 \frac{dS_0(\xi)}{d\xi} \frac{dS_1(\xi)}{d\xi} = 0 \quad /3.1.18/$$

Այստեղից, հաշվի առնելով /3.1.17/-ը, ստանում ենք՝

$$S_1(\xi) = -\ln \sqrt{\beta(\xi)} - \frac{1}{2} \int \alpha(\xi) d\xi + \text{const} \quad /3.1.19/$$

Մասնափակվելով նույն մոտավորութեամբ  $f(\xi)$  Ֆունկցիայի համար կստանանք հետևյալ մոտարկային արտահայտութիւնները՝

$$f(\xi) = [\sqrt{\beta(\xi)} \delta(\xi)]^{-1/2} \left\{ C_1 \exp\left[iK \int_{\xi}^{\xi} \sqrt{\beta(\xi)} d\xi\right] + C_2 \exp\left[-iK \int_{\xi}^{\xi} \sqrt{\beta(\xi)} d\xi\right] \right\} \quad /3.1.20/$$

երբ  $\beta(\xi) > 0$  և

$$f(\xi) = [\sqrt{|\beta(\xi)|} \delta(\xi)]^{-1/2} C_1' e^{-K \int_{\xi}^{\xi} \sqrt{|\beta(\xi)|} d\xi} \quad /3.1.21/$$

երբ  $\beta(\xi) < 0$ , ըստ որում  $\beta(\xi) = 0$ ,  $\delta(\xi) = e^{\int \alpha(\xi) d\xi}$

/3.1.21/ արտահայտութեան մեջ երկրորդ անդամը միտումնավոր կերպով Քաց է թողնված, քանի որ արագ աճող գումարելու առկայութիւնը չի կարող համատեղվել մոտարկային շարքի վարքի հետ:

$C_1$ ,  $C_2$  և  $C_1'$  հաստատունները կարելի է կապել միմյանց, եթե նկատի ունենանք Օտազայթի/դաշտի/ անընդհատութիւնը՝ կառուստիկական սովորից  $|\beta(\xi)| < 0$  /լույսի  $|\beta(\xi)| > 0$  /տիրույթին անցնելու սահմանին: Գրենք /3.1.21/ արտահայտութիւնը  $\xi = \xi$  արժեքների համար: Եթե Ֆունկցիան դիֆերենցելի է կետի շրջաօջայում, ապա այն կարելի է գրել Թեյլորի շարքի ձևով, սահմանափակվելով առաջին երկու անդամներով

$$\beta(\xi) = \beta(\xi) + \beta'(\xi)(\xi - \xi) = \beta'(\xi)(\xi - \xi)$$

որից հետո /3.1.21/ արտահայտութիւնը կընդունի

$$f(\xi \rightarrow \xi) = [\sqrt{|\beta(\xi)(\xi - \xi)|} \delta(\xi)]^{-1/2} C_1' \exp\left[-K \int_{\xi}^{\xi} \sqrt{|\beta(\xi)(\xi - \xi)|} d\xi\right]$$

տեսքը: Հետևելով  $f(\xi)$  Ֆունկցիան վարքին  $\xi = \xi$  կառուստիկ հասելիս՝ նկատում ենք, որ անցումը կառուստիկական սովորից  $|\xi| < \xi$  /Օտազայթային տիրույթ  $|\xi| > \xi$  /կկատարվի անընդհատորեն, եթե

$$C_1 = \frac{C}{2} e^{-i\frac{\pi}{4}}, \quad C_2 = \frac{C}{2} e^{-i\frac{\pi}{4}}, \quad C_1' = \frac{C}{2}$$

ի վերջո՝  $f(\xi)$  Ֆունկցիայի համար ստանում ենք՝

$$f(\xi) = C \frac{\cos\left[K \int_{\xi}^{\xi} \sqrt{\beta(\xi)} d\xi - \frac{\pi}{4}\right]}{[\sqrt{\beta(\xi)} \delta(\xi)]^{1/2}}, \quad \xi > \xi \quad /3.1.22/$$

և

$$f(\xi) = C [\sqrt{\beta(\xi)} \delta(\xi)]^{-1/2} \exp\left[-K \int_{\xi}^{\xi} \sqrt{|\beta(\xi)|} d\xi\right], \quad \xi < \xi \quad /3.1.23/$$

արտահայտութիւնները:

Վերը դիտարկված դեպքում  $\alpha(\xi) = 0$ ,  $\delta(\xi) = 1$  և  $\xi = 0$ : Այս արժեքների համար /3.1.22/-ը, իրոք, լիովին համընկնում է /3.1.12/-ին: Իսկ /3.1.22/ և /3.1.23/ արտահայտութիւնները /3.1.9/ հավասարմանը Քավարարող Ֆունկցիաների կարծախիբային մոտարկումներն են՝ գրված ընդհանուր տեսքով:

## 3.2. Կառուստիկական վերլուծութիւններ: ԵՕ և կառուստիկական

### վերլուծութիւնների միջև կապը

#### Սկալյար ալիք:

Սկալյար ալիքը ընդհանուր դեպքում Քավարարում է Հելմհոլցի /1.1.1/ հավասարմանը: Ցույց ասնք, որ երկչափ խնդրում պարզ, միամյուղ /առանց հատուկ կետերի/ կառուստիկ շրջաօջայում կարելի է կառուցել այս հավասարման մոտարկային հավասարաչափ /վերջավոր՝ կառուստիկ վրա/ լուծումներ՝ ունենալով  $f_1(\xi_1)$ ,  $f_2(\xi_2)$  Ֆունկցիաների հավաքածուն: Այս Ֆունկցիաների Քավարարում են երկրորդ կարգի սովորական դիֆերենցիալ հավասարումներին՝

$$\frac{d^2 f_e(\xi_e)}{d\xi_e^2} + \alpha_e(\xi_e) \frac{df_e(\xi_e)}{d\xi_e} + K^2 \beta_e(\xi_e) f_e(\xi_e) = 0 \quad /3.2.1/$$

Մենք պնդում ենք, որ  $f_e(\xi_e)$  Ֆունկցիաների օգնութեամբ կառուցված

$$U = \sum_{i_1, i_2=0,1} A^{i_1 i_2} \frac{\delta_{i_1}^{i_1}(\xi_1) \delta_{i_2}^{i_2}(\xi_2)}{(iK)^{i_1+i_2}} \frac{d^{i_1} f_1(\xi_1)}{d\xi_1^{i_1}} \frac{d^{i_2} f_2(\xi_2)}{d\xi_2^{i_2}} \quad /3.2.2/$$

լուծումը, որտեղ

$$i_e = 0,1, \quad \delta_e^{i_e}(\xi_e) = e^{i_e \int \alpha_e(\xi_e) d\xi_e}, \quad A^{i_1 i_2} = \sum_{m=0}^{\infty} \frac{A_m^{i_1 i_2}}{(iK)^m}, \quad /3.2.3/$$

$\frac{1}{ik}$  -ի աստիճանների մոտարկային շարքի գրոյական մոտավորությամբ  $A_0^{i\epsilon_2} - \epsilon$  /1.1.1/ հավասարման կարծախիբային հավասարաչափ մոտարկումն է միաճյուղ պարզ կառուստիկի  $\beta_1(\xi_1) = 0$  շրջակայքում:

Քանի որ նշված կառուստիկի շրջակայքում դաշտի վարքը նկարագրվում էր էյրիի ֆունկցիայի և էքսպոնենտի միջոցով /3.1.5/-ը/, որպես  $f_1(\xi_1)$  և  $f_2(\xi_2)$  ֆունկցիաներ ընտրենք

$$f_1(\xi_1) = \omega(-\kappa^{2/2}\xi_1) \quad /3.2.4/$$

և 
$$f_2(\xi_2) = e^{i\kappa\xi_2} \quad /3.2.5/$$

Ֆունկցիաները: Նախորդ պարագրաֆում ցույց տրվեց, որ  $d_1(\xi_1) = 0$ ,  $\delta_1(\xi_1) = 1$ ,  $\beta_1(\xi_1) = -\xi_1$ ,  $f_2(\xi_2)$  ֆունկցիայի համար գրված /3.2.1/ հավասարումից հետևում է, որ  $d_2(\xi_2) = 0$ ,  $\delta_2(\xi_2) = \beta_2(\xi_2)$ : Հավաստելով սրանք՝ արտագրենք /3.2.2/ լուծումը

$$\begin{aligned} \mathcal{U} &= \sum_{i_1, i_2=0}^{\infty} \frac{A^{i_1 i_2}}{(i\kappa)^{i_1+i_2}} \cdot \frac{d^{i_1} f_1(\xi_1)}{d\xi_1^{i_1}} \cdot \frac{d^{i_2} f_2(\xi_2)}{d\xi_2^{i_2}} = \\ &= \frac{A^{\infty}}{(i\kappa)^0} f_1(\xi_1) f_2(\xi_2) + \frac{A^{01}}{i\kappa} f_1(\xi_1) f_2'(\xi_2) + \\ &+ \frac{A^{10}}{i\kappa} f_1'(\xi_1) f_2(\xi_2) + \frac{A^{11}}{(i\kappa)^2} f_1'(\xi_1) f_2'(\xi_2) \end{aligned} \quad /3.2.2, \text{ա}/$$

տեսքով: Քանի որ  $f_2'(\xi_2) = i\kappa f_2(\xi_2)$ , ապա /3.2.2, ա/ արտահայտությունն ավելի կպարզվի՝ ընդունելով

$$\mathcal{U} = e^{i\kappa\xi_2} \left\{ A f_1(\xi_1) + \frac{B}{i\kappa} f_1'(\xi_1) \right\} \quad /3.2.2, \text{բ}/$$

տեսքը, որտեղ

$$A = A^{\infty} + A^{01}, \quad B = A^{10} + A^{11} \quad /3.2.3/$$

Ցույց տանք, որ /3.2.2/ արտահայտությունը, իրոք, մոտարկային ձևով կբավարարի շեյմհուլցի /1.1.1/ հավասարմանը: Այս նպատակով տեղադրենք /3.2.2, ա/ տեսքով գրված մոտարկային արտահայտությունը շեյմհուլցի հավասարման մեջ և վերլուծենք  $A$  և  $B$  գործակիցները մոտարկային շարքի՝ ըստ  $-\epsilon$  աստիճանների՝

$$A = \sum_{m=0}^{\infty} \frac{A_m}{(i\kappa)^m}, \quad B = \sum_{m=0}^{\infty} \frac{B_m}{(i\kappa)^m} \quad /3.2.6/$$

$$A_m = A_m^{\infty} + A_m^{01}, \quad B_m = A_m^{10} + A_m^{11} \quad /3.2.6, \text{ա}/$$

Հիտրանալով մանրամասների մեջ՝ համառոտ նկարագրենք անհրաժեշտ գործողությունների հետագա ընթացքը: Օգտվենք /3.2.1/ հավասարումից, գրված  $f_1(\xi_1)$  էյրիի և  $f_2(\xi_2) = e^{i\kappa\xi_2}$  ֆունկցիաների համար և բացարձակ ըստացված արտահայտությունն ներում երկրորդ կարգի անանջալները՝

$$\begin{aligned} f_1''(\xi_1) &= -(i\kappa)^2 \xi_1 f_1(\xi_1) \\ f_2''(\xi_2) &= (i\kappa)^2 f_2(\xi_2) \end{aligned} \quad /3.2.7/$$

Այստեղ հաշվի է առնված, որ  $\beta_1(\xi_1) = -\xi_1$  և  $\beta_2(\xi_2) = 1$ : Հեշտ է ցույց տալ նաև, որ

$$\nabla f_1(\xi_1) = \nabla \xi_1 f_1'(\xi_1), \quad \nabla f_1'(\xi_1) = -(i\kappa)^2 \xi_1 \nabla \xi_1 f_1(\xi_1) \quad /3.2.8/$$

Ոչ Բարդ ձևափոխություններից հետո շեյմհուլցի հավասարումը բերվում է

$$\hat{L}_1 f_1(\xi_1) + \hat{L}_2 f_1'(\xi_1) = 0 \quad /3.2.9/$$

տեսքի: Մոտարկային իմաստով՝ /3.2.9/ հավասարումը կարելի է ընդունել որպես զծայնորեն անկախ երկու և հավասարումների զումար, այսինքն՝

$$\hat{L}_1 f_1(\xi_1) = 0, \quad \hat{L}_2 f_1'(\xi_1) = 0 \quad /3.2.10/$$

որտեղ  $\hat{L}_1$  -ը և  $\hat{L}_2$  -ը Բազմանդամներ են  $\frac{1}{i\kappa}$  -ի աստիճանների ձևով: Առանձին-առանձին հավասարեցնելով  $\frac{1}{i\kappa}$  -ի հավասար աստիճաններ ունեցող անդամները գրոյի, գրոյական մոտավորությամբ կստանանք

$$\begin{aligned} [n^2 + \xi_1 (\nabla \xi_1)^2 - (\nabla \xi_2)^2] A_0 - \xi_1 \nabla \xi_1 \nabla \xi_2 B_0 &= 0, \\ -\xi_1 \nabla \xi_1 \nabla \xi_2 A_0 + [n^2 + \xi_1 (\nabla \xi_1)^2 - (\nabla \xi_2)^2] B_0 &= 0. \end{aligned} \quad /3.2.11/$$

Համասեռ հավասարումների սխեմները կունենա ոչ տրիվիալ լուծումներ, եթե

$$\nabla \xi_1 \nabla \xi_2 = 0 \quad /3.2.12/$$

և 
$$-\xi_1 (\nabla \xi_1)^2 + (\nabla \xi_2)^2 = (\nabla \Psi)^2 = n^2 \quad /3.2.13/$$

/3.2.12/ հավասարումից հետևում է, զր  $\xi_1$  և  $\xi_2$  կորդինատական



համակարգն օրթոգոնալ է, իսկ /3.2.13/ հավասարումը ոչ այլ ինչ է, եթե ոչ էյքոնալի հավասարում: Վերջինից հետևում է, որ

$$\Psi_{1,2} = \mp \int \sqrt{-\xi_1} d\xi_1 + \xi_2 = \mp \int \sqrt{\beta(\xi_1)} d\xi_1 + \xi_2 \quad /3.2.14/$$

Այսինքն՝ /2.2.2/ լուծումից Քիում է երկու հնարավոր էյքոնալների գոյությունը՝  $\Psi_1$ -ը և  $\Psi_2$ -ը:

Վերջապես  $A_0$  և  $B_0$  գործակիցները որոշվում են փոխադրման հավասարումներից, որոնք ինչպես և § 1.1-ում, ստացվում են /3.2.10/ սխեմայից  $\frac{1}{ik}$ -ի առաջին մոտավորությամբ:

Այսպիսով, գրոյական մոտավորությամբ /3.2.2/ լուծումը կգրվի

$$U = e^{ik\xi_2} \left\{ A_0 f_1(\xi_1) + \frac{B_0}{ik} f_1'(\xi_1) \right\} \quad /3.2.15/$$

տեսքով:

Եթե /3.2.15/ արտահայտության մեջ  $f_1(\xi_1)$  և  $f_1'(\xi_1)$  ֆունկցիաները փոխարինենք իրենց /3.1.12/ և /3.1.13/ մոտարկումներով, կստանանք  $f_1(\xi_1) = -\xi_1$ ,  $\xi_1 = 0$  /

$$\begin{aligned} U &= C e^{ik\xi_2} \left\{ \frac{A_0}{\sqrt{-\xi_1}} \cos \left[ k \int \sqrt{\beta(\xi_1)} d\xi_1 - \frac{\pi}{4} \right] - B_0 \sqrt{-\xi_1} \sin \left[ k \int \sqrt{\beta(\xi_1)} d\xi_1 - \frac{\pi}{4} \right] \right\} = \\ &= C \left\{ \left( \frac{A_0}{\sqrt{-\xi_1}} + \sqrt{-\xi_1} B_0 \right) \exp \left[ i k \int \sqrt{-\xi_1} d\xi_1 - i \frac{\pi}{4} \right] + \left( \frac{A_0}{\sqrt{-\xi_1}} - \sqrt{-\xi_1} B_0 \right) \exp \left[ -i k \int \sqrt{-\xi_1} d\xi_1 - i \frac{\pi}{4} \right] \right\} = \\ &= M_0 \exp \left[ i(k\Psi_1 - \frac{\pi}{4}) \right] + N_0 \exp \left[ -i(k\Psi_2 - \frac{\pi}{4}) \right] \end{aligned} \quad /3.2.16/$$

արտահայտությունը, որտեղ

$$M_0 = \frac{A_0}{\sqrt{-\xi_1}} + \sqrt{-\xi_1} B_0, \quad N_0 = \frac{A_0}{\sqrt{-\xi_1}} - \sqrt{-\xi_1} B_0 \quad /3.2.17/$$

իսկ  $\Psi_1$ -ը և  $\Psi_2$ -ը /3.2.14/ էյքոնալներն են և Բավարարում են էյքոնալի /3.2.13/ հավասարմանը, ըստ որում  $\Psi_2$ -ը համապատասխանում է դեպի կաուստիկը եկող, իսկ  $\Psi_1$ -ը՝ կաուստիկից հեռացող /, պոկված, / ճառագայթին:

/3.2.16/ լուցումն իրավացի է ամենուրեք ճշգրտության նույն աստիճանով ինչ /3.2.2, ա/ լուծումը /քանի որ վերջինս ստացված էր մեծ արժեքների համար/, Բացառությամբ կաուստիկական տիրույթի /  $\xi_1 = 0$  /, որտեղ այն տարափոխում է: Հետևաբար  $M_0$  և  $N_0$  ամպլիտուդները դեպի կա-

ուստիկը եկող / $N_0$  / և նրանից հեռացող / $M_0$  / ճառագայթների ճօ ամպլիտուդներն են: Սրանք, համաձայն /3.2.17/ առնչությունների, կապված են  $A_0 = A_0^{oo} + A_0^{o'}$ ,  $B_0 = A_0^{to} + A_0^{o''}$  ամպլիտուդների հետ՝

$$A_0 = \frac{1}{2} (M_0 + N_0) \sqrt[4]{-\xi_1} \quad \text{և} \quad B_0 = \frac{1}{2} (M_0 - N_0) \frac{1}{\sqrt[4]{-\xi_1}} \quad /3.2.18/$$

հավասարումներով:

$A_0 = A_0^{oo} + A_0^{o'}$  և  $B_0 = A_0^{to} + A_0^{o''}$  ամպլիտուդները, ի տարբերություն  $M_0$  և  $N_0$  ամպլիտուդների, անվանենք կաուստիկական վերլուծության ամպլիտուդներ: Հեշտ է տեսնել, որ կաուստիկական վերլուծության ամպլիտուդները վերջավոր կլինեն կաուստիկի վրա, եթե պահանջենք, որ

$$M_0 = N_0, \quad \text{երբ} \quad \xi_1 = 0 \quad /3.2.19/$$

/3.2.19/ պայմանը պահանջում է, որ ճառագայթների ճօ ամպլիտուդներն անընդհատ լինեն կաուստիկի շոշափման կետում:

/3.2.16/ արտահայտությունից և /3.2.19/ պայմանից հետևում է, որ ճօ ամպլիտուդները մնում են անընդհատ, մինչդեռ սրանց փուլերն ունեն թռիչք՝ հավասար  $\frac{\pi}{2}$ -ի՝  $\xi_1 = 0$  կետով /կաուստիկով/ անցնելիս:

Այսպիսով, Հելմհոլցի հավասարման լուծումը պարզ միաճյուղ կաուստիկի շրջակայքում՝ /3.2.2/-ը  $\frac{1}{ik}$ -ի աստիճանների գրոյական մոտավորությամբ /3.2.15/ անպիտակորեն և վերջավոր /հավասարաչափ մոտարկում/ ձևով է նկարագրում դաշտի վարքը կաուստիկի վրա, իսկ կաուստիկից հեռու տիրույթում ճեղքվում է ճօ տեսքի՝ դեպի կաուստիկը եկող և նրանից պոկված ճառագայթների: Այլ խոսքով /3.2.2/ տիպի լուծումներն ունեն, կիսաստվերային, Բնույթ, միայն թե այս դեպքում ստացված արտահայտությունը մոտարկային է, ի տարբերություն Ջոմերձելդի խնդրի, երբ կիսաստվերային դաշտը համընկավ ճշգրիտ լուծմանը /տես § 2.2/:

Ակալյար ալիքի քննարկումը վերջացնենք՝ ընդհանրացնելով /3.2.17/ և /3.2.18/ առնչությունները: /3.2.17/ առնչությունը ճօ և կաուստիկական վերլուծության ամպլիտուդների միջև կարելի է գրել՝

$$M_0^{p_1 p_2} = \frac{1}{2} \sum_{\substack{\mu, \nu=0,1 \\ \mu+\nu=1}} (-1)^{\mu+\nu} \frac{A_0^{\mu, \nu}}{(\sqrt{\beta(\xi_1)})^{\frac{\mu+\nu}{2}-4}} \quad /3.2.20/$$

ձևով, որտեղ  $p_1$  և  $p_2$  ցուցիչները ընդունում են 0 և 1 արժեքներ: Սրանից հետևում է, որ

$$M_0^{oo} = \frac{1}{2} \frac{A_0^{oo} + A_0^{o'}}$$

և

$$M_0^{to} = \frac{1}{2} \frac{A_0^{to} + A_0^{o''}}{\sqrt{\beta(\xi_1)}} - \frac{1}{2} (A_0^{to} + A_0^{o''}) \sqrt{\beta(\xi_1)} = N_0 \quad /3.2.20, ա/$$

3.2.20/ առնչություններից ստացվում են նաև  $M_0^{01}$  և  $M_0^{11}$  ամպլիտուդները, եթե 3.2.2/ արտահայտություն մեջ դիտարկվելին նաև  $f_2(\xi_2) = e^{-iK\xi_2}$  տիպի ալիքներ: Գրենք

$$M^{P_2} = \sum_m \frac{M_m^{P_2}}{(iK)^m} \quad /3.2.21/$$

ամպլիտուդները, որտեղ

$$M_m^{P_2} = \frac{1}{2^2} \sum (-1)^{i_1 P_1 + i_2 P_2} \frac{A_m^{i_1 i_2}}{(\sqrt{\beta(\xi_i)})^{\frac{1}{2} - i_i}} \quad /3.2.21, ա/$$

Եթե Բազմապատկենք /2.2.21, ա/ արտահայտությունը  $(-1)^{P_1 i_1 + P_2 i_2}$  -ով / $j_1, j_2 = 0, 1$ / և գումարենք ըստ  $P_1, P_2$  -ի, կստանանք՝

$$\sum_{P_1, P_2=0,1} (-1)^{P_1 i_1 + P_2 i_2} M_m^{P_2} = \sum_{i_1, i_2} \sum_{P_1, P_2} (-1)^{(i_1 + j_1)P_1 + (i_2 + j_2)P_2} \frac{A_m^{i_1 i_2}}{(\sqrt{\beta(\xi_i)})^{\frac{1}{2} - i_i}} = 2^2 \delta_{i_1 j_1} \delta_{i_2 j_2}$$

այսինքն՝

$$A_m^{i_1 i_2} = (\sqrt{\beta(\xi_i)})^{\frac{1}{2} - i_i} \sum_{P_1, P_2} (-1)^{i_1 P_1 + i_2 P_2} M_m^{P_2} \quad /3.2.22/$$

որտեղ  $A_m^{i_1 i_2}$  ամպլիտուդները  $A_m^{i_1 i_2}$  ամպլիտուդների մոտարկային շարքերի գործակիցներն են՝ արտահայտված  $M_m^{P_2}$  ամպլիտուդների մոտարկային շարքի գործակիցների միջոցով:

Առանցքայնորեն սիմետրիկ էլեկտրամագնիսական ալիք:

Դիցուք սըր-ված է  $f_2(\xi_1), f_2(\xi_2), f_3(\xi_3)$  ֆունկցիաների հավաքածուն, որոնք Բավար-րում են

$$\frac{d^2 f_e(\xi_e)}{d\xi_e^2} + d_e(\xi_e) \frac{d f_e(\xi_e)}{d\xi_e} - (iK)^2 \beta_e(\xi_e) f_e(\xi_e) = 0 \quad /3.2.23/$$

երկրորդ կարգի սովորական դիֆերենցիալ հավասարմանը:

Մաքսվելի /1.1.8/ հավասարումների մոտարկային հավասարաչափ լուծումը /ենթադրում ենք, որ /1.1.8/-ում  $\varepsilon = \mu = 1$ / փնտրում ենք

$$\vec{E} = \sum_{\{i_1, i_2, i_3\}=0,1} \vec{A}^{i_1 i_2 i_3} \frac{\delta_{i_1}^{i_1}(\xi_1) \delta_{i_2}^{i_2}(\xi_2) \delta_{i_3}^{i_3}(\xi_3)}{(iK)^{i_1 + i_2 + i_3}} \frac{d^{i_1} f_1(\xi_1)}{d\xi_1^{i_1}} \frac{d^{i_2} f_2(\xi_2)}{d\xi_2^{i_2}} \frac{d^{i_3} f_3(\xi_3)}{d\xi_3^{i_3}} \quad /3.2.24/$$

տեսքով, որտեղ նշանակումները նույնն են, ինչ /3.2.2/-ում, և

$$\vec{A}^{i_1 i_2 i_3} = \sum \frac{\vec{A}_m^{i_1 i_2 i_3}}{(iK)^m}, \quad \vec{D}^{i_1 i_2 i_3} = \sum \frac{\vec{D}_m^{i_1 i_2 i_3}}{(iK)^m} \quad /3.2.24, ա/$$

Ցույց տանք, որ  $\frac{1}{iK}$  -ի աստիճանների մոտարկային շարքի գրոյա-կան մոտավորումը /3.2.24/-ը /1.1.8/ հավասարումների հավասարաչափ կարծալիքային մոտարկային լուծումն է առանցքայնորեն սիմետրիկ կաուստիկի դեպքում:

Առանցքայնորեն սիմետրիկ դաշտը Բնութագրվում է Բեսելի և ցուց-չային ֆունկցիաներով: Ըստ այդմ՝

$$f_1(\xi_1) = e^{iK\xi_1}, \quad f_1'(\xi_1) = iK f_1(\xi_1), \quad f_1''(\xi_1) = (iK)^2 f_1(\xi_1) \quad /3.2.25, ա/$$

$$f_2(\xi_2) = J_m(K\xi_2), \quad f_2'(\xi_2) = K J_m'(K\xi_2), \quad f_2''(\xi_2) = K^2 J_m''(K\xi_2) \quad /3.2.25, բ/$$

$$f_3(\xi_3) = e^{im\psi}, \quad f_3'(\xi_3) = im f_3(\xi_3), \quad f_3''(\xi_3) = (im)^2 f_3(\xi_3) \quad /3.2.25, գ/$$

որտեղ  $\xi_3 = \xi_0 \psi = \frac{m}{K} \psi$ , -ը ամբողջ թիվ է:

Տեղադրելով /3.2.25/ արտահայտությունները համապատասխանորեն /3.2.23/ հավասարումների մեջ՝ կստանանք

$$d_1(\xi_1) = 0, \quad \delta_1(\xi_1) = 1, \quad \beta_1(\xi_1) = 1, \quad /3.2.26, ա/$$

$$d_2(\xi_2) = \frac{1}{\xi_2}, \quad \delta_2(\xi_2) = \xi_2, \quad \beta_2(\xi_2) = 1 - \frac{\xi_0^2}{\xi_2^2}, \quad /3.2.26, բ/$$

$$d_3(\xi_3) = 0, \quad \delta_3(\xi_3) = 1, \quad \beta_3(\xi_3) = 1 \quad /3.2.26, գ/$$

$\vec{E}$  դաշտի համար /3.2.24/ արտահայտությունը կարելի է գրել Բա-ցահայտ տեսքով՝ օգտվելով /3.2.25/ և /3.2.26/ առնչություններից՝

$$\vec{E} = \left\{ \vec{A}^{000} + \vec{A}^{100} + \vec{A}^{001} + \vec{A}^{101} \right\} f_1(\xi_1) f_2(\xi_2) f_3(\xi_3) + \frac{\xi_2}{iK} \left( \vec{A}^{010} + \vec{A}^{110} + \vec{A}^{011} + \vec{A}^{111} \right) f_1(\xi_1) f_2'(\xi_2) f_3(\xi_3) = \left[ \vec{A} J_m(K\xi_2) + \frac{\beta}{iK} \xi_2 J_m'(K\xi_2) \right] e^{iK(\xi_1 + \xi_0 \psi)} \quad /3.2.27/$$

$\vec{H}$  դաշտի համար նույն ձևով կստանանք

$$\vec{H} = \left[ \vec{C} J_m(K\xi_2) + \frac{\vec{D}}{iK} \xi_2 J_m'(K\xi_2) \right] e^{iK(\xi_1 + \xi_0 \psi)} \quad /3.2.28/$$

որտեղ

$$\vec{C} = \vec{D}^{000} + \vec{D}^{100} + \vec{D}^{001} + \vec{D}^{101}$$

$$\vec{D} = \vec{D}^{010} + \vec{D}^{110} + \vec{D}^{011} + \vec{D}^{111} \quad /3.2.28, \text{ա/}$$

Տեղադրենք դաշտերի /3.2.27/ և /3.2.28/ արտահայտությունները /1.1.8/ Մաքսվելի հավասարումներում /երբ  $\epsilon = \mu = 1$  և Քացասենք  $f_2(\xi_2)$  Ֆունկցիայի երկրորդ կարգի անսնցյալները՝ օգտվելով /3.2.23/ հավասարումից: Մտցնելով նշանակումներ՝

$$\Psi = \int \sqrt{1 - \frac{\xi_2^2}{\xi_2^2}} d\xi_2, \quad \vec{\nabla} \Psi = \sqrt{1 - \frac{\xi_2^2}{\xi_2^2}} \vec{\nabla} \xi_2 \quad /3.2.29/$$

կստանանք հավասարումների հետևյալ սխեմները՝  $\vec{A}$ ,  $\vec{B}$ ,  $\vec{C}$  և  $\vec{D}$  վեկտորական ամպլիտուդների նկատմամբ.

$$[(\vec{\nabla} \xi_1 + \xi_0 \vec{\nabla} \Psi) \vec{A}] + \sqrt{\xi_2^2 - \xi_0^2} [\vec{\nabla} \Psi \vec{B}] - \vec{C} = \frac{1}{iK} \text{rot} \vec{A},$$

$$[(\vec{\nabla} \xi_1 + \xi_0 \vec{\nabla} \Psi) \vec{B}] - \frac{1}{\sqrt{\xi_2^2 - \xi_0^2}} [\vec{\nabla} \Psi \vec{A}] - \vec{D} = \frac{1}{iK} \text{rot} \vec{B},$$

$$[(\vec{\nabla} \xi_1 + \xi_0 \vec{\nabla} \Psi) \vec{C}] + \sqrt{\xi_2^2 - \xi_0^2} [\vec{\nabla} \Psi \vec{D}] + \vec{A} = \frac{1}{iK} \text{rot} \vec{C},$$

$$[(\vec{\nabla} \xi_1 + \xi_0 \vec{\nabla} \Psi) \vec{D}] - \frac{1}{\sqrt{\xi_2^2 - \xi_0^2}} [\vec{\nabla} \Psi \vec{C}] + \vec{B} = \frac{1}{iK} \text{rot} \vec{D} \quad /3.2.30/$$

/3.2.30/ սխեմներից հետևում է, որ  $\vec{A}$ ,  $\vec{B}$  և  $\vec{C}$ ,  $\vec{D}$  վեկտորները միմյանց օրթոգոնալ չեն: Դիտարկենք /3.2.30/ սխեմների առաջին զույգը և երկրորդ զույգը առանձին-առանձին: Ցուրբքանչյուր զույգի առաջին հավասարումը Քազմապատկենք  $(\xi_2^2 - \xi_0^2)^{-1/2}$ -ով, երկրորդը  $(\xi_2^2 - \xi_0^2)^{1/2}$ -ով, այնուհետև յուրաքանչյուր զույգի համար կազմենք գումար ու տարբերություն: Արդյունքում կստանանք

$$[\vec{\nabla}^{(1)} \vec{M}] - \vec{P} = \frac{i}{K} \vec{X}, \quad [\vec{\nabla}^{(2)} \vec{N}] - \vec{Q} = \frac{i}{K} \vec{Z},$$

$$[\vec{\nabla}^{(1)} \vec{P}] + \vec{M} = \frac{i}{K} \vec{Y}, \quad [\vec{\nabla}^{(2)} \vec{Q}] + \vec{N} = \frac{i}{K} \vec{U} \quad /3.2.31/$$

հավասարումների սխեմները, որտեղ արված են նշանակումներ՝

$$\vec{\nabla}^{(1,2)} = \pm \vec{\nabla} \Psi + \vec{\nabla} \xi_1 + \xi_0 \vec{\nabla} \Psi \quad /3.2.21, \text{ա/}$$

$$\vec{M} = \frac{\vec{A}}{\sqrt{\xi_2^2 - \xi_0^2}} + \sqrt{\xi_2^2 - \xi_0^2} \vec{B}, \quad \vec{N} = \frac{\vec{A}}{\sqrt{\xi_2^2 - \xi_0^2}} - \sqrt{\xi_2^2 - \xi_0^2} \vec{B},$$

$$\vec{P} = \frac{\vec{C}}{\sqrt{\xi_2^2 - \xi_0^2}} + \sqrt{\xi_2^2 - \xi_0^2} \vec{D}, \quad \vec{Q} = \frac{\vec{C}}{\sqrt{\xi_2^2 - \xi_0^2}} - \sqrt{\xi_2^2 - \xi_0^2} \vec{D},$$

$$\vec{X} = \text{rot} \vec{M} + \frac{1}{2} [\vec{P} \vec{N}], \quad \vec{Z} = \text{rot} \vec{N} + \frac{1}{2} [\vec{P} \vec{M}],$$

$$\vec{Y} = \text{rot} \vec{P} + \frac{1}{2} [\vec{P} \vec{Q}], \quad \vec{U} = \text{rot} \vec{Q} + \frac{1}{2} [\vec{P} \vec{P}], \quad /3.2.32, \text{ա/}$$

$$\vec{\beta} = \vec{\nabla} \xi_2 / \xi_2 \beta_2(\xi_2)$$

Եթե /3.2.31/ հավասարումներում Բոլոր վեկտորական Ֆունկցիաները վերլուծենք մոտարկային շարքի  $\frac{1}{iK}$ -ի աստիճանների տեսքով և հավասարենք նրանք  $\frac{1}{iK}$ -ի հավասար աստիճան ունեցող անդամները գրոյի առանձին-առանձին, ապա, սահմանափակվելով գրոյական ու առաջին մոտավորություններով, կստանաք

$$[\vec{\nabla}^{(1)} \vec{M}_0] - \vec{P}_0 = 0, \quad [\vec{\nabla}^{(2)} \vec{N}_0] - \vec{Q}_0 = 0,$$

$$[\vec{\nabla}^{(1)} \vec{P}_0] + \vec{M}_0 = 0, \quad [\vec{\nabla}^{(2)} \vec{Q}_0] + \vec{N}_0 = 0 \quad /3.2.33, \text{ա/}$$

$$\text{և} \quad [\vec{\nabla}^{(1)} \vec{M}_1] - \vec{P}_1 = -\vec{X}_1, \quad [\vec{\nabla}^{(2)} \vec{N}_1] - \vec{Q}_1 = -\vec{Z}_1,$$

$$[\vec{\nabla}^{(1)} \vec{P}_1] + \vec{M}_1 = -\vec{Y}_1, \quad [\vec{\nabla}^{(2)} \vec{Q}_1] + \vec{N}_1 = -\vec{U}_1 \quad /3.2.33, \text{բ/}$$

ռեկուրենտ հավասարումների սխեմները:

/3.2.33, ա/ հավասարումներից հետևում է, որ

$$\vec{\nabla}^{(1)} \vec{\nabla}^{(1)} = 1 \quad \text{և} \quad \vec{\nabla}^{(2)} \vec{\nabla}^{(2)} = 1 \quad /3.2.34/$$

/3.2.34/ հավասարումները էյքոնալների հավասարումներն են: Արդյունքից հետևում է, որ

$$S^{\nabla} = \mp \int \sqrt{1 - \frac{\xi_2^2}{\xi_2^2}} d\xi_2 + \xi_1 + \xi_0 \Psi, \quad \vec{\nabla}^{(1,2)} = \vec{\nabla} S^{\nabla} \quad /3.2.35/$$

Ֆունկցիաները երկու ծառայությունների էյքոնալներն են և Քավարարում են էյքոնալների հավասարմանը, երբ

$$\vec{\nabla} \Psi \vec{\nabla} \xi_1 = \vec{\nabla} \xi_2 \vec{\nabla} \xi_1 = \vec{\nabla} \xi_2 \vec{\nabla} \xi_2 = 0$$

այսինքն, երբ  $\xi_1$ ,  $\xi_2$  և  $\xi_3 = \xi_0$  կորդինատները կազմում են օրթոգոնալ ցանց:

2.1-ում արվածի նմանությունը  $\vec{M}_0$ ,  $\vec{N}_0$ ,  $\vec{P}_0$  և  $\vec{Q}_0$  ամպլիտուդների համար կարելի է գրել հետևյալ արտահայտությունները.

$$\begin{aligned} \vec{M}_0 &= \vec{n}_1 \phi_1 + \vec{b}_1 \phi_2, & \vec{N}_0 &= \vec{n}_2 F_1 + \vec{b}_2 F_2, \\ \vec{P}_0 &= -\vec{n}_1 \phi_2 + \vec{b}_1 \phi_1, & \vec{Q}_0 &= -\vec{n}_2 F_2 + \vec{b}_2 F_1, \end{aligned} \quad /3.2.35/$$

որտեղ  $\vec{n}_1$ ,  $\vec{b}_1$ ,  $\vec{\delta}^{(1)}$  և  $\vec{n}_2$ ,  $\vec{b}_2$ ,  $\vec{\delta}^{(2)}$  վեկտորները կազմում են օրթոգոնալ եռյակներ

$$\vec{\delta}^{(1)} = [\vec{n}_1, \vec{b}_1], \quad \vec{\delta}^{(2)} = [\vec{n}_2, \vec{b}_2] \quad /3.2.35, \text{ա}/$$

Քանի որ դիտարկվում է վակուում/համասնո միջավայր/, ապա ծառագայթներն ուղիղներ են, և  $\vec{n}_{1,2}$ ,  $\vec{b}_{1,2}$  վեկտորները կորցնում են նորմալի ու Բինորմալի իմաստը: Հարմար է այս վեկտորներն ուղղել ալիքային մակերևույթների զլխա՛որ կորություններին համապատասխան հարթություններին: րի մեջ, այսինքն՝ հավասար սրանց որպես կաուստիկին տարած շոշափող և նորմալ՝ համապատասխան ծառագայթի և կաուստիկի շոշափման կետում:

§ 1.1-ում արվածի նմանությունը /3.2.33,բ/ հավասարումներից ըստացվում են հետևյալ փոխադրման հավասարումները՝

$$\begin{aligned} \operatorname{div}(\phi_1^2 \vec{\delta}^{(1)}) &= 0, & \operatorname{div}(F_1^2 \vec{\delta}^{(2)}) &= 0, \\ \operatorname{div}(\phi_2^2 \vec{\delta}^{(1)}) &= 0, & \operatorname{div}(F_2^2 \vec{\delta}^{(2)}) &= 0 \end{aligned} \quad /3.2.36/$$

$\phi_1$ ,  $\phi_2$ ,  $F_1$  և  $F_2$  Ֆունկցիաների համար: նույն սխեմայից ստացվում է, որ ծառագայթների պտտման շոշափողները  $T_1$  -ը և  $T_2$  -ը, ձգտում են անվերջություն: Այսպիսով, երկու Բեկնոսցումները միմյանցից անկախ են, իսկ Բեկնոսցման հարթությունը չունի պտույտ:

/3.2.34/ և /3.2.36/ հավասարումները թույլ են տալիս որոշելու  $\vec{M}_0$ ,  $\vec{P}_0$ ,  $\vec{\delta}^{(1)}$  և  $\vec{N}_0$ ,  $\vec{Q}_0$ ,  $\vec{\delta}^{(2)}$  վեկտորների օրթոգոնալ եռյակները, որոնք ունեն ե0 իմաստ: Համասնո միջավայրում յուրաքանչյուր եռյակ անկախ է մյուսից:  $\vec{M}_0$ ,  $\vec{P}_0$ ,  $\vec{\delta}^{(1)}$  եռյակին հարմար է վերագրել ծառագայթ, որը, «պոկվել», է կաուստիկից /անդրադարձած ծառագայթ/, իսկ  $\vec{N}_0$ ,  $\vec{Q}_0$ ,  $\vec{\delta}^{(2)}$  եռյակին՝ ընկնող /դեպի կաուստիկը եկող/ ծառագայթ:

Եթե  $\vec{A}$ ,  $\vec{B}$ ,  $\vec{C}$  և  $\vec{D}$  վեկտորները նույնպես ներկայացնենք

$\frac{1}{ik}$  -ի աստիճանների մոտարկային շարքի տեսքով, ապա, համաձայն /3.2.31,ա/ նշանակումների, կստանանք

$$\begin{aligned} \vec{A}_0 &= \vec{A}_0^{000} + \vec{A}_0^{100} + \vec{A}_0^{001} + \vec{A}_0^{101} = \frac{1}{2} \sqrt{\xi_2^2 - \xi_0^2} (\vec{M}_0 + \vec{N}_0), \\ \vec{B}_0 &= \vec{A}_0^{010} + \vec{A}_0^{110} + \vec{A}_0^{011} + \vec{A}_0^{111} = \frac{1}{2} \frac{\vec{M}_0 - \vec{N}_0}{\sqrt{\xi_2^2 - \xi_0^2}}, \\ \vec{C}_0 &= \vec{D}_0^{000} + \vec{D}_0^{100} + \vec{D}_0^{001} + \vec{D}_0^{101} = \frac{1}{2} \sqrt{\xi_2^2 - \xi_0^2} (\vec{P}_0 + \vec{Q}_0) \\ \vec{D}_0 &= \vec{D}_0^{010} + \vec{D}_0^{110} + \vec{D}_0^{011} + \vec{D}_0^{111} = \frac{1}{2} \frac{\vec{P}_0 - \vec{Q}_0}{\sqrt{\xi_2^2 - \xi_0^2}} \end{aligned} \quad /3.2.37/$$

Ջրոյական մոտավորությունը /ըստ  $\frac{1}{ik}$  -ի աստիճանների/ դաշտերի /3.2.27/ և /3.2.28/ արտահայտությունները ե0 ամպլիտուդների միջոցով՝ համաձայն /3.2.37/-ի կարվեն

$$\vec{E} = \frac{1}{2} \left\{ (\vec{M}_0 + \vec{N}_0) \sqrt{\xi_2^2 - \xi_0^2} J_m(k\xi_2) + \frac{\vec{M}_0 - \vec{N}_0}{ik} \frac{\xi_2}{\sqrt{\xi_2^2 - \xi_0^2}} \frac{dJ_m(k\xi_2)}{d\xi_2} \right\} e^{ik(\xi_1 + \xi_0 \eta)} \quad /3.2.38, \text{ա}/$$

$$\vec{H} = \frac{1}{2} \left\{ (\vec{P}_0 + \vec{Q}_0) \sqrt{\xi_2^2 - \xi_0^2} J_m(k\xi_2) + \frac{\vec{P}_0 - \vec{Q}_0}{ik} \frac{\xi_2}{\sqrt{\xi_2^2 - \xi_0^2}} \frac{dJ_m(k\xi_2)}{d\xi_2} \right\} e^{ik(\xi_1 + \xi_0 \eta)} \quad /3.2.38, \text{բ}/$$

Որպեսզի /3.2.38/ արտահայտությունները լինեն վերջավոր, երբ  $\xi_2 = \xi_0$ , անհրաժեշտ են հետևյալ պայմանները՝

$$\vec{M}_0 = \vec{N}_0 \quad \text{և} \quad \vec{P}_0 = \vec{Q}_0 \quad \text{երբ} \quad \xi_2 = \xi_0 \quad /3.2.39/$$

Եթե հաշվի առնենք, որ կաուստիկի վրա  $\nabla \psi_1 = \nabla \psi_2 = 0$ ,  $\vec{\delta}^{(1)} = \vec{\delta}^{(2)}$  և  $\vec{n}_1 = \vec{n}_2$ ,  $\vec{b}_1 = \vec{b}_2$ , ապա  $\xi_2 = \xi_0 = \frac{m}{k}$  հավասարումը կաուստիկի հավասարումն է, իսկ կաուստիկի վրա

$$\phi_1 = F_1 \quad \text{և} \quad \phi_2 = F_2 \quad /3.2.39, \text{ա}/$$

/3.2.39,ա/ հավասարումները ծառագայթի անընդհատության պայմաններն են կաուստիկի մոտով անցնելիս:

$\xi_2 > 0$  տիրույթը լույսի տիրույթն է, որտեղ կան ծառագայթներ,  $\xi_2 < 0$  տիրույթը՝ կաուստիկական սպվերն է:  $\xi_2 = \frac{m}{k}$  հավասարումը  $\tau_k = \frac{m}{k}$  շոշափողով զևանային մակերևույթի հավասարումն է: Երբ  $m = 0$  /  $\xi_2 = 0$  /, այս մակերևույթը վերածվում է գծի: Այս պատճառով էլ, երբեմն, արվածն անվանվում է կիզագծային վերլուծություն:

Եթե /3.2.38/ արտահայտություններում  $f_2(\xi_2) = J_m(\kappa \xi_2)$  և  $f_2'(\xi_2) = \kappa J_m'(\kappa \xi_2)$  ֆունկցիաները փոխարինենք իրենց կարծախիբային մոտարկումներով, համաձայն /3.1.22/ Բանաձևի, կստանանք դաշտերի համար

$$\vec{E} = \vec{M}_0 e^{i(\kappa S - \frac{\pi}{2})} + \vec{N}_0 e^{-i(\kappa S - \frac{\pi}{2})} \quad /3.2.40, ա/$$

$$\vec{H} = \vec{P}_0 e^{i(\kappa S - \frac{\pi}{2})} + \vec{Q}_0 e^{-i(\kappa S - \frac{\pi}{2})} \quad /3.2.40, բ/$$

ԵՕ արտահայտությունները:

Ինչպես սկալյար դեպքում, այնպես էլ /3.2.38/ դաշտերն ունեն կիսաստվերային Բնույթ. հավասարաչափ մոտարկային ձևով նկարագրելով դաշտերը կառուստիկական տիրույթում՝ կառուստիկից հեռու սրանք, ՝, մեղքը-վում, ՝, են ԵՕ Շտազայթների՝ /3.2.40/-ի տեսքով:

Ինչպես սկալյար դեպքում, այնպես էլ այստեղ, ընդհանրացնենք /3.2.37/ և սրանից Բխող՝  $\vec{M}_0$  և  $\vec{N}_0$  ամպլիտուդների համար ստացվող արտահայտությունները: Նկատի առնելով, որ  $\sqrt{\beta_2^2 - \xi_2^2} = \xi_2 \sqrt{1 - \frac{\xi_2^2}{\beta_2^2}} = \delta_2(\xi_2) \sqrt{\beta_2(\xi_2)}$ , գրենք ԵՕ և կառուստիկական վերլուծություն ամպլիտուդների միջև հետևյալ ընդհանուր առնչությունները՝

$$\vec{M}_0^{P_1 P_2 P_3} = \frac{1}{2^3} \sum_{\{i_1, i_2, i_3\}=0,1} (-1)^{i_1+i_2+i_3} \frac{\vec{A}_0^{i_1 i_2 i_3}}{[\sqrt{\beta_2(\xi_2)} \delta_2(\xi_2)]^{\frac{1}{2}-i_2}} \quad /3.2.41/$$

$$\vec{N}_0^{P_1 P_2 P_3} = \frac{1}{2^3} \sum_{\{i_1, i_2, i_3\}=0,1} (-1)^{i_1+i_2+i_3} \frac{\vec{D}_0^{i_1 i_2 i_3}}{[\sqrt{\beta_2(\xi_2)} \delta_2(\xi_2)]^{\frac{1}{2}-i_2}}$$

տեսքով, որտեղ  $P_1, P_2$  և  $P_3$  թվերն ընդունում են 0 և 1 արժեքները: /3.2.41/ հավասարություններից հետևում են

$$\vec{A}_0^{i_1 i_2 i_3} = [\sqrt{\beta_2(\xi_2)} \delta_2(\xi_2)]^{\frac{1}{2}-i_2} \sum_{\{P_1, P_2, P_3\}=0,1} (-1)^{i_1+i_2+i_3} \vec{M}_0^{P_1 P_2 P_3} /3.2.42/$$

$$\vec{D}_0^{i_1 i_2 i_3} = \vec{N}_0^{P_1 P_2 P_3}$$

առնչությունները:

/3.2.41/ և /3.2.42/ առնչություններն իրավացի են  $\vec{M}, \vec{N}, \vec{A}, \vec{B}$  վեկտորների մոտարկային շարքի ցանկացած մոտավորության համար:

Այսպիսով, իրոք /3.2.24/ վերլուծության գրոյական մոտավորությունը Մաքսվելի հավասարումների լուծման հավասարաչափ կարծախիբային մոտարկումն է առանցքայնորեն սիմետրիկ դաշտերի համար և ունի կիսաստվերային ալիքի Բնույթ:

3.3. Սկալյար և էլեկտրամագնիսական դաշտերի հավասարաչափ կարծախիբային մոտարկումը միաչափ, էտալոնային, ֆունկցիաների միջոցով

Վերը քննարկված կառուստիկական վերլուծությունները արդենակում էին հատուկ ֆունկցիաների և սրանց առաջին կարգի ածանցյալների կոմբինացիաները այնպես, որպեսզի կառուստիկից հեռու տիրույթներում դաշտերն ունենան մոտազայթային Բնույթ, այսինքն՝ նկարագրվեն ԵՕ-ի կամ ԴԵՏ-ի օրենքներով և լինեն հավասարաչափ՝ կառուստիկի շրջակայքում: Սա, ինչպես սասցինք, կիսաստվերային դաշտի /ալիքի, Շտազայթի/ հակացուծյան ընդհանրացումն է:

Այս կամ այն հատուկ ֆունկցիայի կիրառությունը տվյալ կիսաստվերային դաշտում պայմանավորված է դիտարկվող խնդրի սիմետրիայով, կառուստիկի տիպով և Շյուդերի փոխադարձ դասավորությամբ: Այսպես, հատուկ կետեր շունեցող կառուստիկի համար, որն ունի միայն մեկ Շյուդեր, կառուստիկական վերլուծությունն իրացվեց Յրիի ֆունկցիայի օգնությամբ, գլանային սիմետրիա ունեցող կառուստիկների համար՝ Բեսելի ֆունկցիայի օգնությամբ: Գնդային սիմետրիայի դեպքում հարկ կլինի օգտվել Լեժանդրի միակցված Բազմանդամներից և Բեսելի գնդային ֆունկցիաներից, երկՇյուդեր կառուստիկի դեպքում՝ Վեբերի /պարաբոլային գլանի/ ֆունկցիաներից, էլիպսային սիմետրիայի դեպքում՝ Մատյեի կամ Լամբի ֆունկցիաներից և այլն:

Բոլոր թվարկված վերլուծություններն ունեն մեկ ընդհանուր Բնուրոշ գիծ. որպես ֆունկցիաների հավաքածու կառուստիկական վերլուծություններում կիրառվում են ֆունկցիաներ /անվանենք սրանք ՝, էտալոնային, /, որոնք Բավարարում են երկրորդ կարգի դիֆերենցիալ հավասարումների: Այս առումով իրավասու են հետևյալ երկու պնդումները:

Պնդում I  
----- Դիցուք տրված է  $f_\ell(\xi_e)$  ( $\ell=1,2,3$ ), էտալոնային, ֆունկցիաների հավաքածու: Այս ֆունկցիաները անընդհատ են, մինչև իրենց երկրորդ կարգի ածանցյալները և բավարարում են երկրորդ կարգի դիֆերենցիալ հավասարմանը՝

$$\frac{d^2 f_\ell(\xi_e)}{d\xi_e^2} + d_\ell(\xi_e) \frac{df_\ell(\xi_e)}{d\xi_e} + \kappa^2 \beta_\ell(\xi_e) f_\ell(\xi_e) = 0 \quad /3.3.1/$$

որտեղ  $d_\ell(\xi_e)$ -ը կամայական ինտեգրելի ֆունկցիաներ են, իսկ  $\beta_\ell(\xi_e)$ -ը՝ անվերջ թվով դիֆերենցելի՝  $\xi_e = \xi_e$  կետի շրջակայքում, իսկ  $\beta_\ell(\xi_e) = 0$ , այսինքն  $\xi_e$  -ը  $\beta_\ell(\xi_e) = 0$  հավասարման արմատն է:

Ապա՝ ժիշտ են վերն ստացված հավասարաչափ մոտարկային վերլուծութունների հետևյալ ընդհանրացումները Հելմհոլցի /1.1.1/ և Մաքսվելի /1.1.8/ հավասարումների համար՝

$$U = \sum_{i_1 \dots i_s} \frac{A^{i_1 \dots i_s}}{(iK)^{i_1 + \dots + i_s}} \prod_{e=1}^s \gamma_e^{i_e}(\xi_e) \frac{d^{i_e}}{d\xi_e^{i_e}} f_e(\xi_e) \quad /3.3.2/$$

$$\frac{\vec{E}}{\vec{H}} = \sum_{i_1 \dots i_s} \frac{\vec{A}^{i_1 \dots i_s}}{\vec{D}^{i_1 \dots i_s}} \prod_{e=1}^s \delta_e^{i_e}(\xi_e) \frac{d^{i_e}}{d\xi_e^{i_e}} f_e(\xi_e) \quad /3.3.3/$$

ըստ որում  $\gamma_e^{i_e}(\xi_e) = e^{ie/d_e(\xi_e)d\xi_e}$ ,  $A^{i_1 \dots i_s} = \sum_{m=0}^{\infty} \frac{A_m^{i_1 \dots i_s}}{(iK)^m}$ ,

$$\vec{A}^{i_1 \dots i_s} = \sum_{m=0}^{\infty} \frac{\vec{A}_m^{i_1 \dots i_s}}{(iK)^m}, \quad \vec{D}^{i_1 \dots i_s} = \sum_{m=0}^{\infty} \frac{\vec{D}_m^{i_1 \dots i_s}}{(iK)^m} \quad /3.3.4/$$

$i_e$  ինդեքսը ընդունում է երկու արժեք՝ 0 և 1,  $S$ -ը որոշվում է Ֆունկցիաների հավաքածուով՝ խնդրի ազատության աստիճանների թվով:

§ 3.2-ում դիտարկված սկալյար խնդրում Հելմհոլցի հավասարման լուծման կարծախիթային մոտարկման համար Ֆունկցիաների հավաքածուն Բադկացած էր երկու Ֆունկցիաներից՝ էյրիի Ֆունկցիայից և էքսպոնենտից, այսինքն՝  $S=2$ , էլեկտրամագնիսական ալիքի համար՝ Բեսելի Ֆունկցիայից և երկու էքսպոնենտից, այսինքն՝  $S=3$ : Եռաչափ տարածության մեջ ականայտ է, որ  $S_{max} = 3$ :

/3.3.2/, /3.3.3/ վերլուծություններից մասնավոր դեպքերում հետևում են /3.2.2/-ը և /3.2.24/-ը, երբ համապատասխանորեն՝  $S=2$ ,  $d_1(\xi_1) = d_2(\xi_2) = 0$ ,  $\delta_1(\xi_1) = \delta_2(\xi_2) = 1$  և  $S=3$ ,  $d_1(\xi_1) = d_3(\xi_3) = 0$ ,  $d_2(\xi_2) = \frac{1}{\xi_2}$ ,  $\delta_1(\xi_1) = \delta_3(\xi_3) = 1$ ,  $\delta_2(\xi_2) = \frac{1}{\xi_2}$ :

Պնդում II

Կիսաստվերային դաշտերի  $A_m^{i_1 \dots i_s}$ ,  $\vec{A}_m^{i_1 \dots i_s}$ ,  $\vec{D}_m^{i_1 \dots i_s}$  ամպլիտուդներն արտահայտվում են եժ վերլուծության  $M_m^{p_1 \dots p_s}$ ,  $\vec{M}_m^{p_1 \dots p_s}$ ,  $\vec{N}_m^{p_1 \dots p_s}$  ամպլիտուդների միջոցով, որպես սրանց գծային կոմբինացիա՝

$$A_m^{i_1 \dots i_s} = \chi^{i_1 \dots i_s} \sum_{\{p_e\}=0,1} (-1)^{i_1 p_1 + \dots + i_s p_s} M_m^{p_1 \dots p_s} \quad /3.3.5/$$

$$\frac{\vec{A}_m^{i_1 \dots i_s}}{\vec{D}_m^{i_1 \dots i_s}} = \frac{\chi^{i_1 \dots i_s}}{2^s} \sum_{\{p_e\}=0,1} (-1)^{i_1 p_1 + \dots + i_s p_s} \frac{\vec{M}_m^{p_1 \dots p_s}}{\vec{N}_m^{p_1 \dots p_s}} \quad /3.3.6/$$

որտեղ

$$\chi^{i_1 \dots i_s} = \prod_{e=1}^s [\sqrt{\beta_e(\xi_e)} \delta_e(\xi_e)]^{\frac{1}{2} - i_e} \quad /3.3.7/$$

$\vec{M}_m^{p_1 \dots p_s}$ ,  $\vec{N}_m^{p_1 \dots p_s}$  ինդեքսներն ընդունում են երկու արժեք՝ 0 և 1, իսկ  $M_m^{p_1 \dots p_s}$ ,  $N_m^{p_1 \dots p_s}$  եժ ամպլիտուդներն են, որոնք Բավարարում են փոխադրման հավասարմանը: Կոորդինատային Ֆունկցիաները Բավարարում են օրթոգոնալության պայմանին

$$\vec{\nabla} \xi_e \vec{\nabla} \xi_{e'} = \delta_{ee'} \quad /3.3.8/$$

և էյթոնալի հավասարմանը:

Երբ  $S=2$ ,  $\beta_1(\xi_1) = -\xi_1$ ,  $\beta_2(\xi_2) = 1$ ,  $\delta_1(\xi_1) = \delta_2(\xi_2) = 1$ , /3.3.5/ արտահայտությունը համընկնում է /3.2.18/-ին և երբ  $S=3$ ,  $\beta_1(\xi_1) = \beta_3(\xi_3) = -\delta_1(\xi_1) = -\delta_3(\xi_3) = 1$  իսկ  $\beta_2(\xi_2) = 1 - \xi_2^2/\xi_2^2$ ,  $\delta_2(\xi_2) = \xi_2$  /3.3.6/-ի մոտավորության արտահայտությունները համընկնում են /3.2.41/, /3.2.42/ արտահայտություններին:

Սահմանափակվենք այս երկու պնդումների ապացուցման եղանակի սուսկ հակիրճ նկարագրությանը:

Առաջին պնդումն ապացուցելու համար անհրաժեշտ է /3.3.2/ և /3.3.3/ վերլուծությունները տեղադրել, համապատասխանորեն, Հելմհոլցի /1.1.1/ և Մաքսվելի /1.1.8/ հավասարումներում և Բացասել ստացված արտահայտություններում  $\frac{d^2 f_e(\xi_e)}{d\xi_e^2}$ -ը /3.3.1/ հավասարման օգնությամբ: Հավասարեցնելով այնուհետև զրոյի  $\frac{1}{iK}$ -ի նույն աստիճաններ պարունակող անդամները, ստանում ենք ռեկուրենտ /անդադարժ/ հավասարումների սխեմ, որտեղից հաջորդաբար կարող են որոշվել ինչպես  $A_m^{i_1 \dots i_s}$ ,  $\vec{A}_m^{i_1 \dots i_s}$ ,  $\vec{D}_m^{i_1 \dots i_s}$  ամպլիտուդները, այնպես էլ  $\xi_e$  կոորդինատային Ֆունկցիաները: Ստացված լուծումներն, այսպիսով, մոտարկային ձևով կԲավարարեն Հելմհոլցի և Մաքսվելի հավասարումներին, ինչը պահանջում էր ապացուցել առաջին պնդումը: Սակայն ամեն անգամ ռեկուրենտ հավասարումների սխեմով լուծելու փոխարեն կարելի է ամպլիտուդային և կոորդինատական Ֆունկցիաների որոշումը հանգեցնել եժ-ի փոխադրման և էյթոնալի հավասարումների լուծման:

Ասվածը անթու համար պետք է Բաժանել ստացվող ռեկուրենտ հավասարումների աջ ու ձախ մասերը /3.3.7/ արտահայտության վրա և Բազմապատկել  $(-1)^{i_1 p_1 + \dots + i_s p_s}$ -ով: Գումարելով ստացված հավասարումները ըստ Բոլոր  $i_1 \dots i_s$ -երի և հաշվի առնելով օրթոգոնալության /3.3.8/ պայմանը՝ Հելմհոլցի հավասարումից կստանանք

$$M_m^{p_1 \dots p_s} \sum_{e=1}^s (\vec{\nabla} \psi_e)^2 = n^2 M_m^{p_1 \dots p_s}, \quad n^2 = \varepsilon(\vec{r}) \mu(\vec{r}) \quad /3.3.9/$$

$$2 \vec{\gamma}^{P_1 \dots P_s} \vec{\nabla} M_m^{P_1 \dots P_s} + M_m^{P_1 \dots P_s} \vec{\nabla} \vec{\gamma}^{P_1 \dots P_s} = Y_{m-1}^{P_1 \dots P_s} \quad /3.3.10/$$

հավասարումները, որտեղ

$$\vec{\nabla} \Psi_e = \sqrt{\beta_e(\xi_e)} \vec{\nabla} \xi_e, \quad /3.3.11/$$

$$\vec{\gamma}^{P_1 \dots P_s} = \sum_{\ell=1}^s (-1)^{P_\ell} \vec{\nabla} \Psi_e, \quad /3.3.12/$$

$$M_m^{P_1 \dots P_s} = \sum_{\{i_\ell=0,1\}} (-1)^{i_{P_1} + \dots + i_{P_s}} \frac{A_m^{i_1 \dots i_s}}{x^{i_1 \dots i_s}} \quad /3.3.13/$$

$$Y_m^{P_1 \dots P_s} = \sum_{\{i_\ell=0,1\}} \frac{\Delta A_m^{i_1 \dots i_s}}{x^{i_1 \dots i_s}} \quad /3.3.14/$$

իսկ Մաքսվելի հավասարումներից կատանանք

$$[\vec{M}_m^{P_1 \dots P_s}, \vec{\gamma}^{P_1 \dots P_s}] + \mu(\vec{z}) \vec{N}_m^{P_1 \dots P_s} = \vec{X}_{m-1}^{P_1 \dots P_s} \quad /3.3.15/$$

$$[\vec{N}_m^{P_1 \dots P_s}, \vec{\gamma}^{P_1 \dots P_s}] - \varepsilon(\vec{z}) \vec{M}_m^{P_1 \dots P_s} = \vec{Y}_{m-1}^{P_1 \dots P_s}$$

հավասարումները, որտեղ

$$\vec{M}_m^{P_1 \dots P_s} = \sum_{\{i_\ell=0,1\}} \frac{(-1)^{i_{P_1} + \dots + i_{P_s}}}{x^{i_1 \dots i_s}} \frac{\vec{A}_m^{i_1 \dots i_s}}{\vec{D}_m^{i_1 \dots i_s}} \quad /3.3.16/$$

$$\vec{X}_m^{P_1 \dots P_s} = \sum_{\{i_\ell=0,1\}} \frac{(-1)^{i_{P_1} + \dots + i_{P_s}}}{x^{i_1 \dots i_s}} \text{rot} \frac{\vec{A}_m^{i_1 \dots i_s}}{\vec{D}_m^{i_1 \dots i_s}} \quad /3.3.16, \text{բ}/$$

$$\vec{M}_{-1}^{P_1 \dots P_s} = \vec{N}_{-1}^{P_1 \dots P_s} = \vec{X}_{-1}^{P_1 \dots P_s} = \vec{Y}_{-1}^{P_1 \dots P_s} = 0$$

/3.3.9/ և /3.3.15/ հավասարումների գրոյական մոտավորություններից ստացվում են

$$(\vec{\gamma}^{P_1 \dots P_s})^2 = \varepsilon(x, y, z) \mu(x, y, z) \quad /3.3.17/$$

էյբոնալի հավասարումները: Այս հավասարումներով փոխկապված են տարածական / x, y, z / կոորդինատները և  $\xi_e$  կոորդինատական ֆունկցիաները:

Ջրոյական մոտավորությամբ  $M_0^{P_1 \dots P_s}$ ,  $\vec{M}_0^{P_1 \dots P_s}$ ,  $\vec{N}_0^{P_1 \dots P_s}$  ամպլիտուդաները բավարարում են եօ-ի փոխադրման հավասարումներին: Սրանք ստացվում են /3.3.9/, /3.3.18/, /3.3.16/ հավասարումներից § 1.1-ում արվածի նմանություններ:

Վերջապես բազմապատկենք /3.3.13/ և /3.3.16, ա/ արտահայտությունները

ները  $(-1)^{P_{j_1} + \dots + P_{j_s}}$  -ով /  $j = 0, 1$  / և զուամարնեք ըստ Բոլոր  $P_e$  -երի: Հաշվի առնելով, որ

$$\sum_{\{P_e\}=0,1} (-1)^{P_1(i_1+j_1) + \dots + P_s(i_s+j_s)} = 2^s \delta_{j_1, i_1} \dots \delta_{j_s, i_s}$$

կհանգենք երկրորդ պնդման /3.3.5/ և /3.3.6/ բանաձևերին:

Մտում է ապացուցել, որ եօ ամպլիտուդաների /3.3.5/ և /3.3.6/ կոմբինացիաներով արտահայտվող կաուստիկական վերլուծության /կիսաստվերային ալիքների/ ամպլիտուդաները մերջավոր են կաուստիկների վրա, այսինքն՝ իրոք /3.3.2/ և /3.3.3/ վերլուծությունները Հելմհոլցի և Մաքսվելի հավասարումների հավասարաչափ մոտարկային լուծումներն են:

Նույնպես շեղանալով մանրամասների մեջ՝ սասնք հետևյալը. ֆունկցիաները  $\xi_e = \tilde{\xi}_e$  կետի շուրջը անվերջ կարգի դիֆերենցելի ֆունկցիաներ են, հետևաբար, դրանք կարելի է վերլուծել Թեյլորի շարքի այս կետի շրջակայքում և ցույց տալ, որ /3.3.2/ և /3.3.3/ վերլուծությունների վերջավոր լինելը կաուստիկի վրա / $\beta_e(\tilde{\xi}_e) = 0$ / հանգեցնում է /3.2.19/, /3.2.39/ տիպի պայմանների կատարման պահանջին  $M_m^{P_1 \dots P_s}$ ,  $\vec{M}_m^{P_1 \dots P_s}$ ,  $\vec{N}_m^{P_1 \dots P_s}$  ամպլիտուդաների համար, այն է՝ եօ ամպլիտուդաների անընդհատություն պայմանին, երբ մտագայթն անցնում է կաուստիկի մոտով՝ շոշափելով սրան:

Ավարտելով այսքանով առաջին ու երկրորդ պնդումների հակիրճ ապացույցը՝ ցույց տանք, որ տարածության այն տիրույթում, որտեղ հավաստի են եօ պատկերացումները, /3.3.2/ և /3.3.3/ արտահայտությունները նկարագրում են եօ մտագայթներ:

Այս նպատակով /3.3.2/ և /3.3.3/ վերլուծություններում էտալոնային ֆունկցիաները և սրանց ածանցյալները փոխարինենք իրենց /3.1.22/ կարծալիքային մոտարկումներով՝ գրված

$$\frac{d^{i_e} f_e(\xi_e)}{d\xi_e^{i_e}} = \frac{(ik)^{i_e}}{2[\beta_e(\xi_e)]^{\frac{1}{2}-i_e}} \sum_{\{P_e\}=0,1} (-1)^{i_e P_e} \exp[i(k \int_{\xi_e} \sqrt{\beta_e(\xi_e)} d\xi_e - \frac{\pi}{4})] \quad /3.3.18/$$

ընդհանուր տեսքով: Ատարները պարզ ձևափոխություններ

$$U = \sum_{\{i_\ell\}=0,1} \frac{A_0^{i_1 \dots i_s}}{(ik)^{i_1 + \dots + i_s}} \prod_{\ell=1}^s \frac{\delta_\ell^{i_\ell}(\xi_e)(ik)^{i_\ell}}{2\delta_\ell^{\frac{1}{2}-i_\ell}[\sqrt{\beta_\ell(\xi_e)}]^{\frac{1}{2}-i_\ell}} \sum_{P_e} (-1)^{i_e P_e} \exp[-i P_e (k \int_{\xi_e} \sqrt{\beta_e(\xi_e)} d\xi_e - \frac{\pi}{4})] =$$

$$= \frac{1}{2^s} \sum_{\{P_e\}=0,1} \sum_{\{i_\ell\}=0,1} (-1)^{i_{P_1} + \dots + i_{P_s}} \frac{A_0^{i_1 \dots i_s}}{x^{i_1 \dots i_s}} \exp[i(k \Psi_{P_1 \dots P_s} - \frac{\pi}{4})]$$

Եթե հիմա օգտվենք /3.3.5/ առնչությունից, ապա /3.3.19/ արտահայտությունը կգրվի

$$U = \sum_{\{p_i\}=0,1} M_0^{p_1 \dots p_s} \exp[i(k \Psi_{p_1 \dots p_s} - \frac{t}{T})] \quad /3.3.20/$$

տեսքով, որտեղ

$$\Psi_{p_1 \dots p_s} = \sum_{l=1}^s (-1)^{p_l} \Psi_l$$

Համաբանորեն /3.3.6/ վերլուծությունները գալիս են

$$\begin{aligned} \vec{E} &= \sum_{\{p_i\}=0,1} \vec{M}_0^{p_1 \dots p_s} \exp[i(k \Psi_{p_1 \dots p_s} - \frac{t}{T})] \\ \vec{H} &= \sum_{\{p_i\}=0,1} \vec{N}_0^{p_1 \dots p_s} \exp[i(k \Psi_{p_1 \dots p_s} - \frac{t}{T})] \end{aligned} \quad /3.3.21/$$

տեսքի:

Այսպիսով, առաջարկված երկու պնդումները հնարավորություն են տալիս ստանալ Հելմհոլցի և Մաքսվելի հավասարումների հավասարաչափ մոտարկային լուծումներ կիսասովորաբար ալիքների տեսքով: Սրանք ԵՕ վերլուծությունների այնպիսի զծային կոմբինացիաներ են, որոնք վերջավոր են կառուցվածքների վրա, իսկ սրանցից հետո տիրույթում համընկնում են ԵՕ մոտագայթային վերլուծություններին:

Խնդիր

Ցույց տալ, որ միաչափ  $\frac{\partial^2 U}{\partial x^2} + \kappa^2 U = 0$  հավասարման մոտարկային լուծումը, որոշված համաձայն /3.3.2/ բանաձևի, համընկնում է հավասարման ստույգ լուծմանը:

Լուծում  
Ստույգ լուծման տեսքը  $U = \alpha \frac{\cos(\kappa x + c)}{\sin(\kappa x + c)}$  -ն է  $\frac{1}{\kappa}$  -ի ցանկացած մոտավորությամբ: Համաձայն / I / պնդումի՝ հավասարման մոտարկային լուծման տեսքն է՝

$$U = A^0 f(\xi) + \frac{A^1}{\kappa} \delta(\xi) f'(\xi), \quad \delta(\xi) = e^{\int a(\xi) d\xi} \quad /1/$$

Տեղադրելով /1/-ը դիտարկվող հավասարման մեջ և վերլուծելով  $A^0$  և  $A^1$  ամպլիտուդաները ըստ  $\frac{1}{\kappa}$  -ի աստիճանների, այնուհետև հավասարեցնելով գրոյի  $\frac{1}{\kappa}$  -ի նույն աստիճան պարունակող անդամները առանձին-առանձին, կստանանք  $\beta(\xi) (\delta(\xi))^2 = 1$  էյքզոնալի հավասարումը և  $\delta(M_0^p \delta) = 0, p=0,1$  տեղափոխման հավասարումը, որտեղից

$$\delta^p = (-1)^p \sqrt{\beta(\xi)} \delta^p, \quad M_0^p = \sum_{i=0,1} \frac{(-1)^{p_i} A_0^i}{[\sqrt{\beta(\xi)} \delta(\xi)]^{\frac{1}{2}-i}}$$

էյքզոնալի հավասարումը կապ է հաստատում  $\xi$  և  $x$  կոորդինատների միջև՝  $\sqrt{\beta(\xi)} \frac{d\xi}{dx} = 1, x = \int \sqrt{\beta(\xi)} d\xi$ , իսկ փոխադրման հավասարումից որոշվում է՝  $M_0^p = C_p$ : Համաձայն /3.3.5/ բանաձևի՝

$$A_0^i = [\sqrt{\beta(\xi)} \delta(\xi)]^{\frac{1}{2}-i} \{C_0 + (-1)^i C_i\}$$

Ընտրելով  $C_0 = C_1$  և  $C_0 = -C_1$  կստանանք

$$U = 2C_0 \sqrt{\beta(\xi)} \sqrt{\delta(\xi)} f(\xi) \quad \text{և} \quad U = 2C_0 \frac{\sqrt{\delta(\xi)}}{\sqrt{\beta(\xi)}} f'(\xi) \quad /2/$$

Եթե /2/-ում  $f(\xi)$  և  $f'(\xi)$  Ֆուրիեի քայքայները փոխարինենք իրենց /3.3.20/ կամ /3.3.22/ մոտարկումներով, փուլային զուամբնու մշտությամբ կստանանք ստույգ լուծման արտահայտությունները:

Երրորդ գլխի գրականությունը

1. Э.Д.Газазян, М.И.Иванян. "Равномерные коротковолновые асимптотические решения уравнений Гельмгольца и Максвелла". Радиотехника и электроника, т.29, №5, 1984.
2. Л.Д.Ландау, Е.М.Лифшиц. Теория поля. Москва, Наука, 1973.



ԱԼԻԲԱՑԻՆ ՊԱՇՏԵՐԸ ԵՎ ԱՍՈՒՄՏԻԿՆԵՐԸ  
 ,,ԱՂԵՏՆԵՐԻ,, ՏԵՍՈՒԹՅԱՆ ՊԱՏԿԵՐԱՑՄԱՄԲ

/ՀԱՎԵԼՎԱԾ/

4.1. Դաշտի լույլ հավասարաչափ մոտարկումը

Երկու ,,էտալոնային,, ինտեգրալներ

Պարզ միաձյուղ կառուստիկ:

Դառնանք 3.1.-ում դիտարկված

սկալյար ալիքի և պարզ միաձյուղ կառուստիկի դեպքին: Եթե /3.1.5/ արտահայտության մեջ մտցնենք նշանակումներ՝  $\xi = \xi_1$  և  $D = -\xi_2$  քաղաջն կստանա

$$I_1 = \mathcal{U}(\xi_1, \xi_2) = \int_{-\infty}^{+\infty} e^{-i\kappa(\frac{\tau^3}{3} + \tau\xi_1 + \xi_2)} d\tau = \int_{-\infty}^{+\infty} e^{i\kappa\psi(\xi_1, \xi_2; \tau)} d\tau \quad /4.1.1/$$

տեսքը: Ստացվածը մեր քննարկելիք ,,էտալոնային,, ինտեգրալներից առաջինն է: Ընդհանրապես արտահայտության փուլային ֆունկցիան՝

$$\psi(\xi_1, \xi_2; \tau) = \frac{\tau^3}{3} + \tau\xi_1 + \xi_2 \quad - \text{ը} \quad /4.1.2/$$

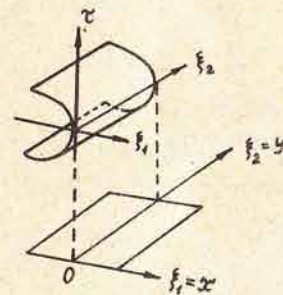
$\psi(\xi_1, \xi_2, \tau) = \text{const}$  հավասարման միջոցով որոշում է որևէ ալիքային մակերևույթ: Համաձայն ստացիոնար փուլի մեթոդի՝ համապատասխան ժողովրդագրության մակերևույթի հավասարումը /էջրոնայինների երկրաչափական տեղը/ որոշվում է որպես ինտեգրալ արտահայտության ստացիոնար փուլի կետերի երկրաչափական տեղ՝

$$\frac{\partial \psi}{\partial \tau} = \frac{\partial}{\partial \tau} (\frac{\tau^3}{3} + \tau\xi_1 + \xi_2) = 0, \quad \tau^2 + \xi_1 = 0, \quad \tau = \sqrt{-\xi_1} \quad /4.1.3/$$

$$\frac{\partial^2 \psi}{\partial \tau^2} = 2\tau = 2\sqrt{-\xi_1} \quad /4.1.4/$$

/4.1.4/ հավասարումից հետևում է, որ  $\xi_1 = 0$  կետում գրո է

դառնում են  $\frac{\partial^2 \psi}{\partial \xi^2}$  -ն, այսինքն՝  $\xi_1 = 0$  կետը հատուկ կետ է և տեղի ունի այլասերում: Պատկերենք /4.1.3/ ժողովրդագրության մակերևույթը  $\tau$ ,  $\xi_1$ ,  $\xi_2$  եռաչափ տարածության մեջ և ստանանք այս մակերևույթի հատուկ կետերի /  $\tau = 0$ ,  $\xi_1 = 0$  / արտապատկերը երկրաչափ՝  $x = \xi_1$ ,  $y = \xi_2$  կոնֆիգուրացիոն հարթության վրա, որտեղ  $\tau = 0$  և տեղի ունի այլասերում /տես նկ.20/:



նկ. 20

նկ. 20-ում  $x$ ,  $y$  հարթության վրա պատկերված ուղիղ որոշված է /4.1.3/ հավասարմամբ ցանկացած  $\xi_2$  -ի /  $D$  -ի/ համար, երբ  $\tau = 0$  : նկ. 20-ից երևում է, որ  $x < 0$  /  $\xi_1 < 0$  / տիրույթը ժողովրդագրության տիրույթն է, մինչդեռ  $x > 0$  /  $\xi_1 > 0$  / տիրույթում ժողովրդագրության չկան:  $\xi_1 = 0$  ուղիղը կառուստիկն է, ժողովրդագրության տիրույթի սահմանը, որի վրա տեղի ունի ժողովրդագրության թվի թռիչքածն փոփոխություն՝ գրոյից մինչև երկու /տես § 3.1.1/:

Քննարկված /4.1.1/ ,,էտալոնային,, ինտեգրալը համապատասխանում է ,,տեղեկանքի,, պարզագույնին, այն է՝ պարզ /տանց հատուկ կետերի/ միաձյուղ կառուստիկին:

Առուցածն-կառուստիկ

Դիտարկենք գլանային հայելուց առաջադրված դաշտը, երբ ընկնող հարթ ալիքի տարածման ուղղությունը գուրգահեռ է հայելու գլխավոր օպտիկական առանցքին: Մեզ հետաքրքրում է այս դիֆրակցիոն դաշտի լույլ մոտարկումը հայելու  $x = F$ ,  $x = 0$  կիզակետի շրջակայքում: Օգտվելով Կիրխհոֆի դիֆրակցիոն ինտեգրալից և շատ կարծ ալիքների համար / $K$  -ն մեծ թիվ է/ տարածելով ինտեգրալի սահմանները մինչև անվերջություն, կարելի է գրել հետևյալ արտահայտությունը դիֆրակցիոն դաշտի համար՝

$$U(x, z) = \int_{-\infty}^{+\infty} U_0(x') e^{ik\sqrt{z^2+(x-x')^2}} dx' \quad /4.1.5/$$

որտեղ

$$U_0(x') = e^{-ik\frac{x'^2}{2F}}$$

Կիզակետի շրջակայքում /  $z \rightarrow F$  և  $x \rightarrow 0$  / ընդհանազրալ արտահայտության փուլային ֆունկցիան կարող ենք գրել հետևյալ մոտավոր տեսքով՝

$$\begin{aligned} -\frac{x'^2}{2F} + \sqrt{z^2+(x-x')^2} &\approx z + \frac{x^2}{2z} - \frac{xx'}{z} + \frac{x'^2}{2z} - \frac{x'^2}{8z^3} - \frac{x^2}{2F} = \\ &\approx z + \frac{x^2}{2F} - \frac{x'^2}{2} \cdot \frac{F-z}{F^2} - \frac{x'^4}{8F^3} - \frac{xx'}{F} \end{aligned}$$

Մտնենք նշանակումներ՝

$$F-z = \xi_2 \left(\frac{F}{2}\right)^{1/2}, \quad x' = (2F^3)^{1/4} \tau, \quad x = -\left(\frac{F}{2}\right)^{1/2} \xi_1,$$

որոնցից հետո /4.1.5/ արտահայտությունը կընդունի հետևյալ տեսքը՝

$$\begin{aligned} U(x \rightarrow 0, z \rightarrow F) &= e^{-ik(F+\frac{z^2}{2F})} \int_{-\infty}^{+\infty} \exp\{-ik[-\frac{\tau^4}{4} + \xi_2 \frac{\tau^2}{2} + \xi_1 \tau]\} d\tau = \\ &= I_2 e^{-ik(F+\frac{z^2}{2F})} \quad /4.1.6/ \end{aligned}$$

Ստացվեց քննարկելիք, , էտալոնային, , երկրորդ ինտեգրալը  $I_2$  -ը, որը հայտնի է Փերսիի ինտեգրալ անվամբ: Սրա փուլային ֆունկցիան

$$\varphi(\xi_1, \xi_2; \tau) = \frac{\tau^4}{4} - \xi_2 \frac{\tau^2}{2} - \xi_1 \tau \quad /4.1.7/$$

Բազմանդամն է:  $K$  թվի մեծ արժեքների համար  $I_2$  ինտեգրալում, նույնպես հիմնական ներդրում ունեն ստացիոնար փուլի կետերը, որոնք կազմում են

$$\frac{\partial \varphi(\xi_1, \xi_2; \tau)}{\partial \tau} = \tau^3 - \xi_2 \tau - \xi_1 = 0 \quad /4.1.8/$$

Ճառագայթային մակերևույթը /էյթոնալների երկրաչափական տեղը/, որի հատուկ կետերը կորոշվեն

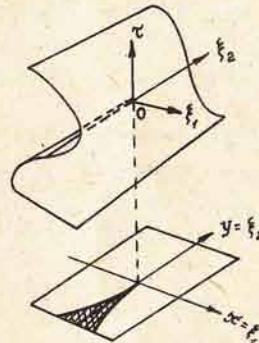
$$\frac{\partial^2 \varphi(\xi_1, \xi_2; \tau)}{\partial \tau^2} = 3\tau^2 - \xi_2 = 0, \quad \tau = \left(\frac{|\xi_2|}{3}\right)^{1/2} \quad /4.1.9/$$

հավասարումից: Տեղադրելով  $\tau = \left(\frac{|\xi_2|}{3}\right)^{1/2}$  արժեքը /4.1.8/ հավասարման մեջ՝ կստանանք

$$\frac{2}{3\sqrt{3}} |\xi_2|^{3/2} = -\xi_1 \quad /4.1.10/$$

հավասարումը: Սա կիսախորանարդային պարաբոլի հավասարում է:

Պատկերենք /4.1.8/ ճառագայթային մակերևույթը եռաչափ  $\tau, \xi_1, \xi_2$  տարածության մեջ և ստանանք այս մակերևույթի հատուկ կետերի արտագտկերը երկչափ  $\xi_1 = x, \xi_2 = y$  կոնֆիգուրացիոն հարթության վրա /Նկ.21/:



Նկ.21

Լույալ մոտարկման դեպքում /4.1.10/ հավասարումը  $x, y$  հարթության վրա ունի կտուցի ձև: Սա երկժյուղ կաուստիկ է: Այս, , կտուցի, , ներսում /Նկ. 21-ում՝ սովորված մասը/, ինչպես երևում է Նկ.21-ում պատկերված ճառագայթային մակերևույթի տեսքից, ճառագայթների թիվը ավելի շատ է և /4.1.10/ հավասարմամբ նկարագրվող կորի վրա տեղի ունի ճառագայթների թվի թռիչքային փոփոխությունը, , աղետը, ,:

4.2. Կաուստիկները՝ որպես դիֆերենցելի արտագտկերումների առանձնահատկություններ: Կաուստիկների մետամորֆոզներն

ու դասակարգումը

Ընդհանրացնելով նախորդ պարագրաֆում քննարկվածը և ալիքների տարածման տեսության այլ հայտնի փաստեր, կտրելի է պնդել, որ այս տեսությունում, որպես կանոն, գործ ունենք արագ օսցիլացող ֆունկցիաների ինտեգրալների հեռ /էյթի, ֆրենել, Փերսի և այլն/: Այս ինտեգրալներն ունեն

$$I(e) = \int_{-\infty}^{+\infty} d\tau a(\tau, e) e^{ik\varphi(\tau, \tau)} \quad /4.2.1/$$

տեսքը, որտեղ  $K$  -ն մեծ թիվ է, իսկ  $a(\tau, \xi)$  -ն դիֆերենցիալ ֆունկցիա է՝ գրոյից էպպես տարբեր  $\tau$  և  $\xi$  փոփոխականների սահմանափակ տիրույթում: Քանի որ որոշակի կաուստիկի կհամապատասխանի իր օսցիլացող ինտեգրալը, ապա կաուստիկների հնարավոր դասակարգումը կհանգեցնի /4.2.1/ տիպի ,,էտալոնային,, ինտեգրալների հավաքածուի, իսկ ,,աղետների,, տեսությունը շրջանակներում, որտեղ կաուստիկները նույնացվում են որոշակի ,,աղետների,, հետ, սրանց դասակարգումը դառնում է հնարավոր:

Քննարկենք /4.2.1/ ինտեգրալը: Մենք գիտենք /տես գլուխ III /, որ էյքոնալի հավասարումը կապ է հաստատում  $x, y, z$  / $\bar{z}$  / և կաուստիկական վերլուծության ճառագայթային՝  $\xi_1, \xi_2, \xi_3$  / $\mathcal{C}$  / կոորդինատների միջև, այսինքն՝ ճառագայթի հավասարումը ընդհանուր ձևով կարելի է գրել

$$\bar{z} = \bar{z}(\mathcal{C}), \quad \mathcal{C} = \mathcal{C}(\xi_1, \xi_2, \xi_3) \quad /4.2.2/$$

Եթե խնդիրը Բնութագրող Բոլոր ֆունկցիաները /ալիքային մակերևույթի հավասարումը, միջավայրի Բնութագրերի փոփոխման օրենքը տարածության մեջ/ անընդհատ են իրենց Բոլոր անհարթությունով մեկտեղ, ապա  $\bar{z} = \bar{z}(\mathcal{C})$  հավասարումներում մենք գործ ունենք անվերջ դիֆերենցիալ ֆունկցիաների հետ, որոնք այս դեպքում նկարագրում են դիֆերենցիալ եռաչափ հիպերմակերևույթ վեցչափանի  $\bar{z}, \mathcal{C}$  տարածության մեջ: Այս հիպերմակերևույթը կանման ենք ճառագայթային մակերևույթ:

Ընդլայնված տարածության օրինակ է  $\bar{z}, \bar{p}$  փուլային տարածությունը, որտեղ  $\bar{p} = \bar{p}(\Psi)$  -ն էյքոնալի զբաղիետան է /որը հանդես է գալիս իմպուլսի դերում/: Այս դեպքում խոսում են լազրանժյան Բազմակերպության մասին:

Ընդհանուր դեպքում՝ ճառագայթային մակերևույթը կարող է տրված լինել  $\mathcal{C}(\tau, \dots, \tau_m), \mathcal{C}(\xi_1, \dots, \xi_n)$  տարածության մեջ, որն ընդլայնված է  $\xi_1, \dots, \xi_n$  պարամետրերի հաշվին: Այս ընդլայնված տարածության չափը  $m+n$  է: /4.2.1/ ինտեգրալը գրված է այս ընդհանուր դեպքի համար: Երբ  $m=1$  և  $n=1$ , այս ինտեգրալին կհամապատասխանի, օրինակ, էյրիի ֆունկցիան / $\S$  4.1՝ պարզ միաձյուղ կաուստիկ/, իսկ երբ  $m=1, n=2$ , օրինակ, Փերսիի ինտեգրալը / $\S$  4.1՝ կտուցածև,, կաուստիկ/: Առաջ անցնելով՝ ասենք, որ ,,աղետների,, տեսության կարևորագույն նըշանակությունը հենց այն է, որ նրա շրջանակներում ապացուցվում է մի պնդում, ըստ որի երկչափ տարածության մեջ ուրիշ ,,էտալոնային,, ինտեգրալներ /ուրիշ ,,աղետներ,, / գոյություն ունենալ չեն կարող:

Ընդհանուր դեպքում կաուստիկը  $m+n$  չափանի ճառագայթային մակերևույթի հատուկ կետերի արտապատկերումն է որևէ՝ ավելի ցածր չափի տարածության վրա: Ֆիզիկայի խնդիրներում այսպիսի կոնֆիգուրացիոն տարածության դեր կարող է խաղալ ֆիզիկական եռաչափ տարածությունը:

ճառագայթային մակերևույթը /4.2.1/ ինտեգրալում ստացվում է որպես ստացիոնար փուլի կետերի երկրաչափական տեղ և որոշվում է

$$\frac{\partial \Psi(\tau, \xi)}{\partial \tau_k} = 0, \quad k=1, 2, \dots, m \quad /4.2.2/$$

հավասարումից, իսկ հատուկ կետերի երկրաչափական տեղը՝

$$\det \left| \frac{\partial^2 \Psi(\tau, \xi)}{\partial \tau_i \partial \tau_k} \right| = 0 \quad /4.2.3/$$

հավասարումից: Արտապատկերումը / $\tau, \dots, \tau_m, \xi_1, \dots, \xi_n$  / տարածությունից / $\xi_1, \dots, \xi_n$  / տարածություն, համաձայն /4.2.2/ և /4.3.3/ Բանձների, նկարագրում է կաուստիկը կոնֆիգուրացիոն  $\xi_1, \dots, \xi_n$  տարածության մեջ:

Ալիքային ճակատի տարածմանը գուզընթաց՝ ալիքային և համապատասխան կաուստիկական մակերևույթները ենթարկվում են մետամորֆոզների /տես առաջին գլխի առաջին գլխի երկրորդ խնդիրները/: Նախնականը ափսոսածև կաուստիկի ծագումն է. կաուստիկը ծագումից անմիջապես հետո ունի ափսեի տեսք /Յ.Բ.Ջեյդոպի/: Ցրող միջավայրում ծագող օպտիկական կաուստիկներն, այսպիսով, կարող են տեսողությամբ ընկալվել որպես ,,թրոչող ափսեներ,, : Այս Բացատրությունը որոշ լույս է սփռում ,,ըմանաչված թռչող օբյեկտների,, /HAO / ֆիզիկական էություն վրա:

Այնուհետև կաուստիկները շարունակում են ենթարկվել նորանոր մետամորֆոզների: Այս մետամորֆոզների դասակարգումը ,,աղետների,, տեսության շրջանակներում, խորհրդային մաթեմատիկոս Վ.Առնոլդի առաջարկով, արվում է Բազմանիստների պտույտների հետ կապված Լիի պարզ խմբերի հիման վրա: Ամերիկյան մաթեմատիկոս Հ.Ուիթնին ձևակերպեց մի թեորեմ՝ ավյալ չափի տարածության մեջ իրացվող կաուստիկների հնարավոր տիպերի վերաբերյալ: Ըստ այս թեորեմի հարթության վրա ցանկացած հարթ ֆունկցիայի արտապատկերումից կարող են առաջանալ սոսկ ,,ծալքի,, / $A_2$ , որին կհամապատասխանի  $I_1$  էտալոնային ինտեգրալը / և ,,դարավածքի,, / $A_3$ , որին կհամապատասխանի Փերսիի  $I_2$  ինտեգրալը / տիպի կաուստիկներ, այսինքն՝ գծեր և ,,կտուցներ,, : Եռաչափ տարածության մեջ, Բացի այս երկուսից, կարող են գոյություն ունենալ ևս հինգ կաուստիկներ՝ ճիճենակի պոչի,, / $A_4$  /, օմբիլիկներ /մագիկներ երկու տիպի՝

$D_4^F$  /, ,,թիթենիկ,, և պարաբոլային օմբիլիկ, երկուսն էլ Լիի  $A_5$  խմբից: Կառուսիկների նշված տիպերը հայտնի են որպես թումի ,,յոթ,, տարրական ,,աղետներ,, Ֆրանսացի մաթեմատիկոս Դ.թումի անվամբ: Սրանք կայուն զոյացութուններ են, այսինքն՝ ալիքային մակտի փոքր երերումները չեն բերում սրանց տիպերի փոփոխության: Ցանկացած ուրիշ կառուսիկական զոյացութուն տրոհվում է՝ փոխակերպելով հիշյալ յոթ տիպերից որևէ մեկին:

Եռաչափ կոնֆիգուրացիոն տարածության մեջ յուրաքանչյուր կայուն կառուսիկի, ըստ ,,աղետների,, տեսության, համապատասխանում է իր՝ /4.2.1/ տիպի օսցիլացող ինտեգրալը: Սրանք միմյանցից տարբերվում են ամպլիտուդային՝  $a(\tau; \epsilon)$  և փուլային  $\varphi(\tau; \epsilon)$  ֆունկցիաներով:

Այսպիսով՝ հավասարաչափ կարծալիքային մոտարկումները /կիսասովեթային դաշտերը/ կարող են իրացվել ինչպես ,,էտալոնային,, ֆունկցիաների /գլուխ III /, այնպես էլ ,,էտալոնային,, ինտեգրալների /գլուխ IV / օգնությամբ: Ըստ որում՝ կառուսիկների դասակարգումը ,,աղետների,, տեսության օգնությամբ հնարավորություն է ընձեռում որոշել նշված ,,էտալոնային,, ֆունկցիաները՝ կախված կառուսիկի տիպից, նրա մյուսների դասավորությունից և այլն: Այսպիսի էվրիստիկական /հանկարծագրուտ/ եղանակը լայն հեռանկարներ է բացում ալիքների տարածման և դիֆրակցիայի ամենաբարդ խնդիրների մոտարկային անալիտիկ լուծումներ ստանալու հարցում:

2որրորդ գլխի գրականությունը

1. Ս.А.Кравцов, Ю.И.Орлов. Геометрическая оптика неоднородных сред.М., Наука, 1980.
2. Ս.А.Кравцов, Ю.И.Орлов. Каустики, катастрофы и волновые поля. УФН, т.141, вып.4, 1983.
3. В.И.Арнольд. Теория катастроф. М., Знание (сер. Математика и кибернетика, №9), 1988.

ներածական ակնարկ . . . . .	3
ԳԼՈՒԽ I. Երկրաչափական կամ մառազայթային օպտիկա /ԵՕ / .	10
1.1. ԵՕ-ն որպես շեղման ցուցիչ կամ մաքսվելի հավասարումների կարծալիքային մոտարկում . . . . .	10
1.2. ԵՕ-ի հիմնական հասկացութունները . . . . .	17
1.3. մառազայթների ընկման և անդրադարձման օրենքները, Ֆերմայի սկզբունքը . . . . .	24
1.4. Երկրաչափական օպտիկայի մոտավորության կիրառելիության պայմանները . . . . .	29
Խնդիրներ . . . . .	35
Առաջին գլխի գրականությունը . . . . .	36
ԳԼՈՒԽ II. Երկրաչափական օպտիկայի մոտավորությունը դիֆրակցիայի տեսությամբ . . . . .	37
2.1. Հարթ ալիքի դիֆրակցիան կիսահարթության եզրին /Ջոմերֆելդի խնդիրը/: Խնդրի դրվածքը և լուծման սկզբունքը . . . . .	37
2.2. Ջոմերֆելդի խնդրի լուծման կարծալիքային մոտարկումը . . . . .	41
2.3. Ջոմերֆելդի խնդրի լուծումը՝ որպես ,,կիսասովեթային,, մոտարկում . . . . .	47
2.4. Դիֆրակցիոն մառազայթների տարածման օրենքները և դիֆրակցիայի երկրաչափօպտիկական տեսությունը /ԴԵՏ/ . . . . .	51
2.5. Դիֆրակցիոն մառազայթների /ալիքների/ դասակարգումը: Կիսասովեթային դաշտերի կիրառությունը դիֆրակցիայի երկչափ խնդրում . . . . .	58
Խնդիրներ . . . . .	67
Երկրորդ գլխի գրականությունը . . . . .	69
ԳԼՈՒԽ III. Ալիքային դաշտերի կարծալիքային հավասարաչափ մոտարկման մեթոդները . . . . .	70
3.1. Դիֆրակցիոն դաշտը միամյուր կառուսիկի շրջակայքում և նրա կարծալիքային մոտարկային վերլուծությունը . . . . .	70
3.2. Կառուսիկական վերլուծություններ: ԵՕ և կառուսիկական վերլուծությունների կապը . . . . .	75
3.3. Սկալյար և էլեկտրամագնիսական դաշտերի հավասար-	

րաչափ կարծալիքային մոտարկումը միաչափ ,,էտա- լոնային,, ֆունկցիաների միջոցով . . . . .	87
Խնդիր . . . . .	92
Երրորդ գլխի գրականությունը . . . . .	93
ԳԼՈՒԽ IV. Ալիբային դաշտերը և կաուստիկները ,,աղետների,, տեսություն պատկերագրումը /հավելված/ . . . . .	94
4.1. Դաշտի լույսի հավասարաչափ մոտարկումը: Երկու ,,էտալոնային,, ինտեգրալներ . . . . .	94
4.2. Կաուստիկները՝ որպես դիֆերենցիալ արտապատկե- րումների առանձնահատկությունները: Կաուստիկնե- րի մետամորֆոզներն ու դասակարգումը, . . . . .	97
Չորրորդ գլխի գրականությունը . . . . .	100

ԳԱԶԱԶՅԱՆ ԷՒՄՈՆՄԻ ԴԱՎԹԻ

ԵՐԿՐԱԶԱՓԱԿԱՆ ՕԳՏԻԿԱՑԻ ԵՎ ԴԻՓՐԱԿՑԻԱՑԻ  
ԵՐԿՐԱԶԱՓԱԿԱՆ ՏԵՍՈՒԹՅԱՆ ՀԻՄՈՒՆՔՆԵՐԸ

Հրատարակչության խմբագիր՝ Լ.Գ.ՄԱՆՈՒԿՅԱՆ  
Տեխնիկական խմբագիր՝ Գ.Վ.ՆԱԼԲԱՆԴՅԱՆ

24

Ատորագրված է տպագրության 26.05.1989 թ.:

Զափար՝ 60.84 1/16: թուղթ 1: Տպագրության եղանակը՝

,,Օֆսեթ,,: Հրատարակչական 5,0 մամուլ: Տպագրական 6,5

մամուլ 6,0 պայմանական մամուլի:

Տպարանակ 300: Գառվեր 195 : Գինը՝ 20 կոպ.:

Երևանի համալսարանի հրատարակչություն, Երևան, Մոսկվյան փ. 1:

Издательство Ереванского университета, Ереван, ул. Мравяна № 1

Երևանի համալսարանի ,,Ռոտապրինտ,, արտադրամաս, Երևան, Մոսկվյան 1:

Цех "Ротапринт" Ереванского университета, Ереван, ул. Мравяна № 1